

11-168

АЗӘРБАЙЧАН ССР ЕЛМЛӘР АКАДЕМИЯСЫ  
АКАДЕМИЯ НАУК АЗЕРБАЙДЖАНСКОЙ ССР

---

# МӘРУЗӘЛӘР ДОКЛАДЫ

ТОМ XXVIII ЧИЛД

5

---

«ЕЛМ» НӘШРИЛДАТЫ  
ИЗДАТЕЛЬСТВО «ЭЛМ»  
БАҚЫ—1972—БАҚУ



И. А. КУСАКИН

ПРИНЦИП МАЖОРАНТ И ОБОБЩЕННЫЙ МЕТОД  
НЬЮТОНА—КАНТОРОВИЧА  
С НЕДИФФЕРЕНЦИРУЕМЫМИ ФУНКЦИОНАЛАМИ

(Представлено академиком АН Азербайджанской ССР А. И. Гусейновым)

В ряде работ [2, 3] рассматривались приближенные методы решения функционального уравнения

$$\Phi(x) = 0, \quad (1)$$

в предположении, что функционал  $\Phi(x)$  дважды дифференцируем по Фреше.

В настоящей работе на основе принципа мажорант исследуются условия сходимости приближенных методов решения функционального уравнения (1) с недифференцируемым функционалом  $\Phi(x)$ , являющихся модификацией методов предложенных М. А. Красносельским для решения операторных уравнений с недифференцируемыми операторами (см. напр. [4, 5]).

Пусть  $\Phi(x)$ ,  $F(x)$  и  $R(x) = \Phi(x) - F(x)$  — нелинейные, непрерывные функционалы, определенные в шаре  $S_0(x_0, r) = \{x : \|x - x_0\| \leq r\}$  банахова пространства  $E$ , причем  $F(x)$  — непрерывно дифференцируем по Фреше в  $S_0$ .

Для решения уравнения (1) применим методы

$$x_{n+1} = x_n - \beta_n \frac{\Phi(x_n)}{F'(x_n)y} y_0 \quad (n = 0, 1, 2, \dots) \quad (2)$$

и

$$x_{n+1} = x_n - \beta_n \frac{\Phi(x_n)}{F'(x_n)y_n} y_n \quad (n = 0, 1, 2, 3, \dots), \quad (3)$$

где  $\beta_n \in (0, 1]$ ,  $\inf \beta_n = \beta > 0$ , а  $y_n (n = 0, 1, 2, \dots)$  — такие элементы из  $E$ , что  $\|y_n\| = 1$ ,  $|F'(x_n)y_n| = \|F'(x_n)\|$ .

Пусть  $\varphi(t)$ ,  $\psi(t)$  и  $f(t) = \varphi(t) - \psi(t)$  — непрерывные на отрезке  $[t_0, t']$  функции, вторая из которых непрерывно дифференцируема и  $\psi'(t_0) \neq 0$ .

Наряду с уравнением (1) рассмотрим вещественное уравнение

$$\varphi(t) = 0, \quad (4)$$

применяя для его решения методы

$$t_{n+1} = t_n - \beta_n \frac{\varphi(t_n)}{\psi'(t_0)} \quad (n = 0, 1, 2, \dots) \quad (5)$$

РЕДАКЦИОННАЯ КОЛЛЕГИЯ: Г. Б. Абдуллаев (главный редактор), Ш. А. Азизбеков, Г. А. Алиев, В. Ю. Ахундов, В. Р. Волобуев, А. И. Гусейнов, М. А. Да-дашзаде (зам. главного редактора), М. А. Кашкай, С. Д. Мехтиев, М. А. Топчиба-шев, Г. Г. Зейналов (ответств. секретарь).

Адрес: г. Баку, Коммунистическая, 10. Редакция „Докладов Академии наук Азербайджанской ССР“.

$$t_{n+1} = t_n - \beta_n \frac{\varphi(t_n)}{\psi'(t_n)} \quad (n=0, 1, 2, \dots). \quad (6)$$

**Теорема 1.** Пусть выполняются условия:

1° существует производная Фреше  $F'(x)$  функционала  $F(x)$  и  $[\|F'(x_0)\|]^{-1} \leq -|\psi'(t_0)|^{-1}$ ;

2°  $|\Phi(x_0)| \leq \psi(t_0)$ ;

3° пусть для всех  $x, y \in S_0(x_0, t' - t_0)$  из неравенства  $\|x - x_0\| \leq t - t_0$ , вытекает неравенство

$$\|F'(x) - F'(x_0)\| \leq \varphi(t) - \varphi(t_0),$$

а из неравенства  $\|x - y\| \leq t - \tau \leq t' - t_0$  вытекает неравенство

$$|R(x) - R(y)| \leq f(t) - f(\tau);$$

4° уравнение (4) имеет в  $[t_0, t']$  корень  $\bar{t}$ .

Тогда уравнение (1) имеет в шаре  $S_0$  решение  $x^*$ , к которому сходится последовательность  $\{x_n\}$ , найденная по формулам (2). Скорость сходимости характеризуется неравенством

$$\|x^* - x_n\| \leq t^* - t_n \quad (n=0, 1, 2, \dots),$$

где  $t^*$ —наименьший на  $[t_0, t']$  корень уравнения (4),  $t_n$ — $n$ -ое приближение по методу (5) к решению  $t^*$  уравнения (4).

**Теорема 2.** Пусть выполняются условия:

1° существует производная Фреше  $F'(x)$  функционала  $F(x)$  и  $[\|F'(x_0)\|]^{-1} \leq -|\psi'(t_0)|^{-1}$ ;

2°  $|\Phi(x_0)| \leq \varphi(t_0)$ ;

3° пусть для всех  $x, y \in S_0(x_0, t' - t_0)$  из неравенства  $\|x - y\| \leq t - \tau \leq t' - t_0$  вытекает

$$\|F'(x) - F'(y)\| \leq \varphi(t) - \varphi(\tau)$$

$$|R(x) - R(y)| \leq f(t) - f(\tau);$$

4° уравнение (4) имеет в  $[t_0, t']$  корень  $\bar{t}$ .

Тогда уравнение (1) имеет в шаре  $S_0$  решение  $x^*$ , к которому сходится последовательность  $\{x_n\}$ , найденная по формулам (3). Скорость сходимости характеризуется неравенством

$$\|x^* - x_n\| \leq t^* - t_n \quad (n=0, 1, 2, \dots),$$

где  $t^*$ —наименьший на  $[t_0, t']$  корень уравнения (4),  $t_n$ — $n$ -ое приближение по методу (6) к решению  $t^*$  уравнения (4).

Следствием теоремы 1 является

**Теорема 3.** Пусть выполняются условия:

1° существует производная Фреше  $(F'(x))$  функционала  $F(x)$  и  $[\|F'(x_0)\|]^{-1} \leq B_0$ ;

2°  $|\Phi(x_0)| \leq \eta_0$ ;

3°  $\|F'(x) - F'(x_0)\| \leq K \|x - x_0\|^\alpha$ ,  $\alpha \in (0, 1]$ ,

$|R(x) - R(y)| \leq K_1 \|x - y\|$ ,  $B_0 K_1 < 1$ ,

для всех  $x, y \in S_0(x_0, r)$ .

Тогда, если

$$h_0 = B_0^{1+\alpha} K \eta_0^\alpha \leq \left( \frac{\alpha}{1+\alpha} \right)^\alpha (1-B_0 K_1)^{1+\alpha}$$

$$r \geq t^*,$$

где  $t^*$ —меньший корень уравнения

$$\varphi(t) = \frac{K t^{1+\alpha}}{1+\alpha} - \left( \frac{1}{B_0} - K_1 \right) t + \eta_0 = 0, \quad (7)$$

то уравнение (1) имеет решение  $x^*$ , к которому сходится процесс (2). Быстрота сходимости характеризуется неравенством  $\|x^* - x_n\| \leq t^* - t_n$ , где  $t_n$ — $n$ -ое приближение по методу (5) к корню  $t^*$  уравнения (7) при  $t_0 = 0$ .

В том случае функция  $\psi(t)$  имеет вид

$$\psi(t) = \frac{1}{1+\alpha} K t^{1+\alpha} - \frac{1}{B_0} t + \eta_0.$$

Следствием теоремы 2 является

**Теорема 4.** Пусть выполняются условия:

1° существует производная Фреше  $F'(x)$  функционала  $F(x)$  и  $[\|F'(x_0)\|]^{-1} \leq B_0$ ;

2°  $|\Phi(x_0)| \leq \eta_0$ ;

3°  $\|F'(y) - F'(y)\| \leq K \|x - y\|$ ,

$|R(x) - R(y)| \leq K_1 \|x - y\|$ ,  $B_0 K_1 < 1$ ,

для всех  $x, y \in S_0(x_0, r)$ .

Тогда, если

$$h_0 = B_0^2 K \eta_0 \leq \frac{(1-B_0 K_1)^2}{2}$$

и

$$r \geq t^* = \frac{1-B_0 K_1 + \sqrt{(1-B_0 K_1)^2 - 2h_0}}{h_0} \cdot B_0 \eta_0,$$

то уравнение (1) имеет решение  $x^*$ , к которому сходится процесс (3). Быстрота сходимости характеризуется неравенством  $\|x^* - x_n\| \leq t^* - t_n$ ,

где  $t_n$ — $n$ -ое приближение к корню  $t^*$  по формуле (6).

**Замечание 1.** Если  $\Phi(x) \equiv F(x)$ , то теоремы 2 и 4 переходят в соответствующие теоремы Д. К. Лика [2], а при  $\Phi(x) \equiv F(x)$  и  $\beta_n \equiv 1$ —в соответствующие теоремы М. Альтман [3].

**Замечание 2.** При доказательстве теорем 1 и 2 используются леммы 3 и 5 из [4].

Докажем еще одну теорему о сходимости метода [3], не вытекающую из теоремы 2.

**Теорема 5.** Пусть выполняются условия:

1° существует производная Фреше  $F'(x)$  функционала  $F(x)$  и для всех  $x \in S_0(x_0, r)$   $\|F'(x)\|^{-1} \leq B$ ;

2°  $|\Phi(x_0)| \leq \eta_0$ ;

3° для всех  $x, y \in S_0(x_0, r)$  выполняются неравенства

$$\|F'(x) - F'(y)\| \leq K \|x - y\|^\alpha, \quad \alpha \in (0, 1],$$

$$|R(x) - R(y)| \leq K_1 \|x - y\|,$$

4°  $h_0 = B^{1+\alpha} K \eta_0^\alpha \leq (1+\alpha) (1-BK_1) BK_1 < 1$ .

Тогда, если

$$r = \sum_{n=0}^{\infty} q_n \cdot B \eta_0,$$

где  $q_n = (1+\alpha)^{-1} h_0 \beta_{n-1}^{1+\alpha} + \beta_{n-1}^{1+\alpha} + [\beta_{n-1} (BK_1 - 1) + 1] \cdot q_{n-1}$  ( $q_0 = 1$ ), то уравнение (1) имеет в шаре  $S_0(x_0, r)$  решение  $x^*$ , к которому сходятся последовательные приближения [3]. Быстрота сходимости оценивается геометрической прогрессией со знаменателем

$$\beta_n (BK_1 - 1) + 1 + \varepsilon.$$

**Доказательство.** Числовая последовательность  $q_n$  строится по методу, описанному в лемме [5] с  $a = (1+\alpha)^{-1} \cdot h_0 \beta_n^{1+\alpha}$ ,  $b = (BK_1 - 1)\beta_n + 1$ . Условия (5) этой леммы вытекают из условия 4 теоремы. В силу леммы ряд  $\sum_{n=0}^{\infty} q_n$  сходится.

Из неравенства  $\|x_1 - x_0\| \leq \beta_0 q_0 B \eta_0$  следует, что  $x_1 \in S_0$ .

Пусть известно, что приближения  $x_1, x_2, \dots, x_n$  лежат в  $S_0$ ,  
 $|\Phi(x_k)| \leq q_k \eta_0$  (8)

и  
 $\|x_{k+1} - x_k\| \leq \beta_k q_k B \eta_0$  ( $k = 0, 1, 2, \dots, n-1$ ) (9)

Тогда из суммы неравенств

$$|\Phi(x_n)| - (1 - \beta_{n-1}) |\Phi(x_{n-1})| \leq \left( \frac{h_0}{1+\alpha} \beta_{n-1}^{1+\alpha} + q_{n-1}^{1+\alpha} + \beta_{n-1} B K_1 q_{n-1} \right) \eta_0,$$

$$(1 - \beta_{n-1}) |\Phi(x_{n-1})| \leq (1 - \beta_{n-1}) q_{n-1} \eta_0$$

получим

$$|\Phi(x_n)| \leq q_n \eta_0 \text{ и } \|x_{n+1} - x_n\| \leq \beta_n q_n B \eta_0,$$

т. е. неравенства (8) и (9) справедливы при всех  $k$ .

Очевидно,  $x_k \in S_0$ . Из (9) следует, что последовательность приближений  $\{x_n\}$  фундаментальна. Пусть  $x^* = \lim_{n \rightarrow \infty} x_n$ . Из неравенства (8) и леммы

из [5] в силу непрерывности функционала  $\Phi(x)$  следует, что  $x^*$  — решение уравнения (1). Оценка быстроты сходимости  $x_n$  к  $x^*$  вытекает из неравенства

$$\|x_n - x^*\| \leq \|x_n - x_{n+1}\| + \|x_{n+1} - x_{n+2}\| + \dots + \|x_{n+p} - x_{n+p+1}\| \leq \sum_{k=n}^{\infty} q_k B \eta_0 \text{ и леммы [5].}$$

Автор выражает глубокую благодарность профессору Я. В. Рутцкому за помощь в написании работы.

#### ЛИТЕРАТУРА

- Канторович Л. В. и Акилов Г. П. Функциональный анализ в нормированных пространствах. Физматгиз, 1959.
- Лика Д. К. Сборник исследов. по алгебре и математическому анализу. Кишинев, 1965, 134—139.
- Altman M. Bull. Acad. Polon. Sci., Ser. math., astr. et phys., 6, 1958, 19—25.
- Кусакин И. А. Труды семинара по функциональному анализу. ВГУ, вып. 10, 1968, Воронеж.
- Кусакин И. А. Доповіді АН УРСР, № 7, 830, 1965.

Воронежский государственный университет

Поступило 8.V 1970

И. А. Кусакин

Диференциалланасы тәләб олунмајан функционаллы тәнникләр үчүн мажорант принсипи вә үмүмиләшмиш Нјутон-Канторович теореми

ХУЛАСӘ

Тәдгигатда

$\Phi(x) = 0$

функционал тәннижин тәгриби һәлли үчүн мажорант принсипи вә үмүмиләшмиш Нјутон-Канторович үсүлү тәртиб едилмишdir.

Әдәбијјат мә'луматындан фәргли оларaq, бурда  $\Phi(x)$  функционаллының диференциалланасы тәләб едилир.

А. д. ИСКЕНДЕРОВ

#### ОБ ОДНОМ КЛАССЕ НЕЛИНЕЙНЫХ НАГРУЖЕННЫХ ИНТЕГРАЛЬНЫХ УРАВНЕНИЙ

(Представлено академиком АН Азербайджанской ССР З. И. Халиловым)

Под нагруженным интегральным уравнением будем понимать интегральное уравнение, свободный член и ядро которого зависят также от значения искомой функции, взятые в фиксированных точках области. В этой статье рассматривается один класс нелинейных нагруженных интегральных уравнений. Доказывается существование решения рассматриваемого уравнения, которое в одном случае единственно и может быть найдено методом последовательных приближений.

Пусть  $\mathcal{D}$  — ограниченная область  $n$ -мерного евклидова пространства с достаточно гладкой границей  $\Gamma$ ,  $\bar{\mathcal{D}} = \mathcal{D} \cup \Gamma$ ,  $x = (x_1, x_2, \dots, x_n)$  — произвольная точка области  $\mathcal{D}$ ,  $\xi_r$  ( $r = 1, 2, \dots, r_0$ ) — фиксированные точки области  $\bar{\mathcal{D}}$ . Пространство непрерывных в области  $\mathcal{D}$  функций обозначим через  $C(\mathcal{D})$ .

Пусть требуется найти  $\{u(x), a_k, k = 1, 2, \dots, k_0\}$  из условий

$$u(x) = \varphi(x, a_k) + \int_{\mathcal{D}} K(x, \eta, u(\eta), a_k) d\eta \quad (1)$$

$$\Phi_m(a_k, u(\xi_r)) = 0, m = 1, 2, \dots, k_0 \quad (2)$$

где  $\varphi(x, a)$ ,  $K(x, \eta, u, a)$ ,  $\Phi_m(a, u)$  — непрерывные функции своих аргументов соответственно в областях  $|x \in \mathcal{D}|$ ,  $|a| < M$ ,  $|x, \eta \in \mathcal{D}|$ ,  $|u|, |a| < M$ ,  $|a|, |u| < M$ ;  $M$  — некоторое положительное число. Задача (1) — (2) встречается в случаях, когда возникает необходимость найти решение интегрального уравнения (1), в свободный член и ядро которого входят неизвестные параметры, также подлежащие определению. Для однозначной разрешимости поставленной задачи к уравнению (1) необходимо присоединить еще дополнительные условия, которые являются лишними в случае, когда параметры  $a_k$  известны.

В этой статье дополнительное условие (2) берется по аналогии с соответствующими задачами для дифференциальных уравнений [5]. В зависимости от исследуемой задачи на функции  $\Phi_m(a, u)$  налагаются различные условия. В практике величины  $a_k$ ,  $k = 1, 2, \dots, k_0$  обычно являются неизвестными физическими характеристиками сред, так как физические характеристики сред, в которых протекают процессы, описываемые интегральными уравнениями, входят в свободный член и ядро интегрального уравнения (см., например, [6]).

Если якобиан системы (2) относительно  $a_k$ ,  $k = 1, 2, \dots, k_0$  отличен

от нуля, то из (2) можно определить

$$a_k = d_k(u(\xi_r)), k=1, 2, \dots, k_0.$$

Подставляя эти выражения для  $a_k, k=1, 2, \dots, k_0$  в уравнение (1), получим

$$u(x) = \bar{\varphi}(x, u(\xi_r)) + \int_{\Delta} K(x, \eta, u(\eta), u(\xi_r)) d\eta \quad (3)$$

Уравнение (3) является нелинейным нагруженным интегральным уравнением. Линейные нагруженные интегральные уравнения исследованы в [1]—[4] и др. Отметим, что нагруженные интегральные уравнения встречаются также в теории нелинейных колебаний с трением [4] и к ним приводят некоторые задачи для дифференциальных уравнений [1].

**Теорема 1.** Пусть функция  $K(x, \eta, u, v)$  по совокупности переменных при  $x, \eta \in D, |u|, |v| \leq R$  непрерывна. Тогда интегральный оператор

$$A u = \int_{\Delta} K(x, \eta, u(\eta), u(\xi_r)) d\eta$$

определен в шаре радиуса  $R$  в пространстве  $C(D)$  и вполне непрерывен.

**Доказательство** проводится, следуя работе [7], где аналогичная теорема доказывается для оператора П. С. Урысона.

Для любого  $\epsilon > 0$  в силу равномерной непрерывности функции  $K(x, \eta, u, v)$  можно указать такое  $\delta > 0$ , что из  $|x_1 - x_2| < \delta$  следует

$$|K(x_1, \eta, u, v) - K(x_2, \eta, u, v)| \leq \epsilon (\text{mes } \Delta)^{-1}$$

при всех  $x_1, x_2 \in D, |u|, |v| \leq R$ . Пусть функция  $u(x)$  принадлежит шару  $T$  радиуса  $R$  пространства  $C(D)$ . Тогда

$$|Au(x_1) - Au(x_2)| \leq \int_{\Delta} |K(x_1, \eta, u(\eta), u(\xi_r)) - K(x_2, \eta, u(\eta), u(\xi_r))| d\eta \leq \epsilon.$$

Следовательно, оператор  $A$  преобразует шар  $T$  в семейство равномерно непрерывных функций.

Пусть функции  $u_n(x) \in T, (n=1, 2, \dots)$  в  $C(D)$  сходятся к некоторой функции  $u_0(x)$ . Из равномерной непрерывности функции  $K(x, \eta, u, v)$  следует, что

$$\lim_{n \rightarrow \infty} \max_{\eta \in D} |K(x, \eta, u_n(\eta), u_n(\xi_r)) - K(x, \eta, u_0(\eta), u_n(\xi_r))| = 0$$

Поэтому

$$\begin{aligned} \lim_{n \rightarrow \infty} \max_{x \in D} |Au_n(x) - Au_0(x)| &= \lim_{n \rightarrow \infty} \max_{x \in D} \left| \int_{\Delta} K(x, \eta, u_n(\eta), u_n(\xi_r)) - K(x, \eta, u_0(\eta), u_n(\xi_r)) d\eta \right| \\ &\leq \text{mes } \Delta \lim_{n \rightarrow \infty} \max_{\eta \in D} |K(x, \eta, u_n(\eta), u_n(\xi_r)) - K(x, \eta, u_0(\eta), u_n(\xi_r))| = 0. \end{aligned}$$

Таким образом, оператор  $A$  непрерывен в любой точке  $u_0(x)$  пространства  $C(D)$ . Теперь докажем компактность оператора  $A$ .

Пусть

$$\max_{x, \eta \in D} |K(x, \eta, u, v)| = M$$

$$|u|, |v| \leq R.$$

Тогда для любой функции

$$u(x) \in T$$

$$\max_{x \in D} |Au(x)| \leq \max_{x \in D} \int_{\Delta} |K(x, \eta, u(\eta), u(\xi_r))| d\eta \leq M \text{mes } \Delta.$$

Выше было доказано, что функции  $Au(x)$  при  $u(x) \in T$  равномерно непрерывны. Таким образом, выполнены условия теоремы

Арцеля и, следовательно, множество функций  $Au(x)$ , где  $u(x) \in T$  компактно в пространстве  $C(D)$ .

Теорема доказана.

**Теорема 2.** Пусть  $\bar{\varphi}(x, v) = \varphi_1(x, v) + \lambda \varphi_2(x, v)$ ,  $\bar{K}(x, \eta, u, v) =$

$= K_1(x, \eta, u, v) + \lambda K_2(x, \eta, u, v)$  и выполнены следующие условия:

1) функция  $\varphi_1(x, v)$  непрерывна по совокупности переменных при  $x \in D, -\infty < v < +\infty$  и ограничена, функция  $\varphi_2(x, v)$  непрерывна по совокупности переменных при  $x \in D, -\infty < v < +\infty$ , но  $v$  имеет непрерывное и ограниченное производное;

2) функция  $K_1(x, \eta, u, v)$  по совокупности переменных при  $x, \eta \in D, -\infty < u, v < +\infty$  непрерывна и ограничена; функция  $K_2(x, \eta, u, v)$  по совокупности переменных при  $x, \eta \in D, -\infty < u, v < +\infty$  непрерывна по  $u$  и  $v$  имеет непрерывные ограниченные производные;

3)  $\varphi_2(x, 0) + \int_b^b K_2(x, \eta, 0, 0) d\eta = 0$ ;

$$4) 1.2 \cdot \left[ \max_{x \in D} \left| \frac{\partial \varphi_2(x, v)}{\partial v} \right| \cdot r_0 + \text{mes } \Delta \left( \max_{x, \eta \in D} \left| \frac{\partial K_2(x, \eta, u, v)}{\partial u} \right| + \right. \right. \\ \left. \left. + r_0 \max_{x, \eta \in D} \left| \frac{\partial K_2(x, \eta, u, v)}{\partial v} \right| \right) \right] < 1.$$

Тогда уравнение (3) имеет хотя бы одно решение и если  $\varphi_1(x, u(\xi_2)) + \int_b^b K_1(x, \eta, u(\eta), u(\xi_2)) d\eta \equiv 0$ , то это решение единственно и может быть найдено методом последовательных приближений.

**Доказательство.** Понятно, что при условиях теоремы уравнения (3) можно записать в виде

$$u = F_1(u) + \lambda F_2(u)$$

$$\text{где } F_1(u) = \varphi_1(x, u(\xi_2)) + \int_b^b K_1(x, \eta, u(\eta), u(\xi_2)) d\eta$$

$$\text{и } F_2(u) = \varphi_2(x, u(\xi_2)) + \int_b^b K_2(x, \eta, u(\eta), u(\xi_2)) d\eta.$$

Пусть

$$\sup_{\substack{x \in D \\ -\infty < v < \infty}} |\varphi_1(x, v)| = M_1, \sup_{\substack{x, \eta \in D \\ -\infty < u, v < \infty}} |K(x, \eta, u, v)| \text{mes } \Delta = M_2.$$

$$M = \max(M_1, M_2).$$

Через  $S(0, 4M)$  обозначим замкнутый шар в пространстве  $C(D)$  радиуса  $4M$  с центром в точке  $u(x) \equiv 0$ .

В теореме 1 была доказана вполне непрерывность оператора  $\int K_1(x, \eta, u(\eta), u(\xi_r)) d\eta$  в пространстве  $C(D)$ .

Для любого  $\epsilon > 0$  в силу равномерной непрерывности функции  $\varphi_1(x, v)$  можно указать такое  $\delta > 0$ , что из  $|x_1 - x_2| < \delta$  следует  $|\varphi_1(x_1, v) - \varphi_1(x_2, v)| < \epsilon$  при всех  $x_1, x_2 \in D$  и  $-\infty < v < \infty$ . Отсюда и из равномерной ограниченной функции  $\varphi_1(x, v)$  следует вполне непрерывность отображения  $\varphi_1(x, v)$ .

Пусть  $u(x) \in C(D)$ , тогда

$$|F(u)| \leq M_1 + M_2 \leq 2M.$$

Таким образом,  $F_1(u)$  является вполне непрерывным оператором, который отображает  $S(0, 4M)$  в  $S(0, 2M) \subset S(0, 4M)$ .

Пусть  $u_1(x), u_2(x)$ —любые функции из  $S(0, 4M)$ , тогда

$$\begin{aligned} |F_2(u_1) - F_2(u_2)| &\leq \lambda \cdot (|\varphi_2(x, u_1(\xi_r)) - \varphi_2(x, u_2(\xi_r))| + \\ &\quad + \int_b^b |K_2(x, \eta, u_1(\eta), u_1(\xi_r)) - K_2(x, \eta, u_2(\eta), u_2(\xi_r))| d\eta) \leq \end{aligned}$$

$$\leq \left\{ \sum_{r=1}^{r_0} \left| \frac{\partial \varphi_2^*}{\partial u(\xi_r)} \right| |u_1(\xi_r) - u_2(\xi_r)| + \int_D \left| \frac{\partial K_2^*}{\partial u} \right| |u_1(\eta) - u_2(\eta)| + \right. \\ \left. + \sum_{r=1}^{r_0} \left| \frac{\partial K_2^*}{\partial u(\xi_r)} \right| |u_1(\xi_r) - u_2(\xi_r)| d\eta \right\}.$$

Поэтому  $\lambda \max |F_2(u_1) - F_2(u_2)| \leq \left[ C_1 \sum_{r=1}^{r_0} \max |u_1(\xi_r) - u_2(\xi_r)| + \right. \\ \left. + C_2 \operatorname{mes} D \max_{x \in D} |u_1(x) - u_2(x)| + C_3 \operatorname{mes} D \sum_{r=1}^{r_0} \max |u_1(\xi_r) - u_2(\xi_r)| \right] \leq \\ \leq \bar{C} \max_{x \in D} |u_1(x) - u_2(x)|.$

По условию теоремы  $\lambda \bar{C} < \frac{1}{2}$ . Таким образом, оператор на  $\lambda F_2(u)$

удовлетворяет условию Липшица с постоянной  $\lambda = \lambda \bar{C} < \frac{1}{2}$ .

Теперь оценим  $F_1(u_1) + \lambda F_2(u_2)$

$$|F_1(u_1) + \lambda F_2(u_2)| \leq |\varphi_1(x, u(\xi_r))| + \int_D |K_1(x, \eta, u(\eta), u(\xi_r))| d\eta + \\ + \lambda |\varphi_2(x, u_2(\xi_r))| + \int_D |K_2(x, \eta, u_2(\eta), u_2(\xi_r))| d\eta \leq 2M + \lambda |\varphi_2(x, u_2(\xi_r))| - \\ = \varphi_2(x, o) + \int_D |K_2(x, \eta, u_2(\eta), u_2(\xi_r)) - K_2(x, \eta, o, o)| d\eta \leq \\ \leq 2M + \lambda \left[ \left| \sum_{r=1}^{r_0} \frac{\partial \varphi_2^*}{\partial u_2(\xi_r)} u_2(\xi_r) \right| + \int_D \left| \frac{\partial K_2^*}{\partial u_2} u_2(\eta) + \sum_{r=1}^{r_0} \frac{\partial K_2^*}{\partial u(\xi_r)} u_2(\xi_r) \right| d\eta \right] \\ \leq 2M + \bar{C} \max_{x \in D} |u| \leq 2M + \frac{4M}{2} = 4M.$$

Следовательно, при любых  $u_1(x), u_2(x) \in S(0,4M)$ ,  $F_1(u_1) + \lambda F_2(u_2) \in S(0,4M)$ . Тогда из комбинированного принципа существования неподвижной точки [8] следует, что уравнение (5) при условиях теоремы имеет хотя бы одно решение, принадлежащее  $S(0,4M)$ . Если  $F_1(u) \equiv 0$ , то решение уравнения (5) единственно и может быть найдено методом последовательных приближений. Ясно, что в данном случае неподвижные точки преобразования  $F_1(u) + \lambda F_2(u)$  являются непрерывными решениями интегрального уравнения (3). Теорема доказана.

Отметим, что изложенным выше способом исследуются также некоторые нагруженные интегро-дифференциальные уравнения. Задачу (1)–(2) можно также трактовать как задачу оптимального управления процессами, описываемыми интегральными уравнениями. При этом неизвестные  $a_k$ ,  $k=1,2,\dots,k_0$  играют роль управляющих параметров, подчиненных дополнительным условиям (2). Принципом Шаудера можно доказать локальную теорему существования при произвольном росте функций  $\bar{\varphi}(x, v)$ ,  $\bar{K}(x, \eta, u, v)$  относительно  $u$ ,  $v$ .

#### ЛИТЕРАТУРА

- Смирнов В. И. Курс высшей математики, т. IV. 1957.
- Назаров Н. Н. Об одном новом классе линейных интегральных уравнений. Тр. Ин-та математики и механики АН Узб. ССР, 4, 1948, 77–106.
- Габиб-заде А. Ш. Исследование одного класса линейных нагруженных интегральных уравнений. Тр. Ин-та

физ. и мат. АН Азерб. ССР, 8, 1959, 177–182.

- Kneller A. Belastete Integralgleichungen Rendiconti del Circolo matem. di Palermo, t. 38, 1914, стр. 169–179 (см. его же: Die Integralgleichungen und Ihre Anwendung In der mathem. Physik 99, стр. 117).
- Искандеров А. Д. О некоторых многомерных обратных краевых задачах. Уч. зап. АГУ, 1968, № 2.
- Петровский И. Г. Лекции по теории интегральных уравнений. 7. Красносельский М. А. Топологические методы в теории нелинейных интегральных уравнений. 1956.
- Красносельский М. А. Два замечания о методе последовательных приближений. УМН, т. 10, вып. 1 (63): 1955, 123–127.

Поступило 30. VI 1970

Институт математики  
и механики

А. Д. Искандеров

Бир синиф јүкләниш гејри-хәтти интеграл тәнликләр һагында  
ХҮЛӘСӘ

Јүкләниш интеграл тәнлик дедикдә, иүвәси вә сәрбәст һәдди һәллии областын фиксә олуныш нөгтәләрдәки гијматидән асылы олан интеграл тәнлик баша дүшүлүр. Тәдгигатда бир синиф јүкләниш гејри-хәтти интеграл тәнлилини һәллини варлығы исбат олунышдур. Мүәյҗән едилмишdir ки, һәлл бир һалда јекрәндир вә ардычыл յажынлашма үсулу илә тапыла биләр.

A. D. Iskenderov

On one class of non-linear loaded integral equations

#### SUMMARY

The existence and uniqueness of the solution of a non-linear loaded integral equation to which one inverse problem leads is proved in the given paper.

Член-корр. К. Т. АХМЕДОВ, С. С. АХИЕВ

НЕОБХОДИМОЕ УСЛОВИЕ ОПТИМАЛЬНОСТИ  
ДЛЯ НЕКОТОРЫХ ЗАДАЧ ТЕОРИИ ОПТИМАЛЬНОГО  
УПРАВЛЕНИЯ

В статье предлагается метод получения необходимых условий оптимальности в задачах теории оптимального управления, который применим как к задачам в системах с сосредоточенными параметрами, так и с распределенными параметрами. Метод построения вспомогательного уравнения, приведенный здесь, в некотором смысле можно рассматривать как общую схему построения соотношения для множителя Лагранжа.

1. Рассмотрим движение  $x(t) = (x_1(t), \dots, x_n(t))$ ,  $t \in I = [t_0, T]$ , заданное уравнением

$$\dot{x}(t) = f(t, x(t), x(t - \tau_1(t)), \dot{x}(t - \tau_2(t)), u(t), u(t - \tau_3(t))) \quad (1)$$

при начальном условии

$$x(t) = x^0(t), t \in I_0^1 = [t_0 - \tau_0^*, t_0]; u(t) = u^0(t), t \in I_0^2 = [t_0 - \tau_3^*, t_0], \quad (2)$$

где  $f(t, x, y, z, u, v)$  — заданная  $n$ -мерная измеримая по  $t$ , непрерывная по  $x, y, z, u, v$  вектор-функция на  $I \times E_{3n} \times U^2$ ;  $x^0(t)$  — заданная абсолютно непрерывная  $n$ -мерная вектор-функция на  $I_0^1$ ;  $u^0(t)$  — заданная измеримая ограниченная  $r$ -мерная вектор-функция на  $I_0^2$ ;  $\tau_i(t)$  ( $i=1, 2, 3$ ) — заданные абсолютно непрерывные на  $I$  функции;  $\tau_1(t) \geq 0$ ,  $\tau_2(t) > 0$ ,  $\tau_3(t) > 0$  и  $\tau_3(t) < 1$ ;  $\tau_0^* = \max(\tau_1^*, \tau_2^*)$ ,  $\tau_1^* = \max \tau_1(t)$ .

За класс допустимых управлений примем множество всех  $r$ -мерных измеримых и почти всюду в  $I$  ограниченных вектор-функциях  $u(t) = (u_1(t), \dots, u_r(t))$  со значениями из ограниченного множества  $U$ ,  $U \subset E_r$ . Множество всех таких  $u(t)$  обозначим через  $U^{(r)}(I)$ .

Пусть при каждом  $u \in U^{(r)}(I)$  задача (1), (2) имеет единственное решение  $x \in C_1^{(n)}(I)$ ;  $C_1^{(n)}(I)$  — пространство всех  $n$ -мерных абсолютно непрерывных в  $I$  вектор-функций.

Требуется минимизировать функционал

$$S^0(u) = \varphi^0 \left[ x(T_1^0), \dots, x(T_{m(0)}^0) \right] \quad (3)$$

среди тех  $u \in U^{(r)}(I)$ , для которых

$$S^1(u) = \varphi^1 \left[ x(T_1^1), \dots, x(T_{m(1)}^1) \right] \leq 0, \quad i=1, \dots, k, \quad (4)$$

где  $\varphi^1$  — заданные дифференцируемые функции, а  $\{T_1^1, \dots, T_{m(1)}^1\}$  — фиксированные наборы из  $I$ .

2. Определим на  $\Omega(I) = L_\infty^{(n)}(I) \times C_1^{(n)}(I) \times U^{(r)}(I)$  функционал  $\Pi(\lambda, x, u) = \int_{t_0}^T \lambda'(t) f(t, x(t), \dot{x}(t), u(t), \dot{u}(t)) dt$ , где  $L_\infty^{(n)}(I)$  — пространство всех ограниченных  $n$ -мерных вектор-функций  $\lambda(t)$ ,  $y(t)$ ,  $z(t)$  и  $v(t)$  — значения вектор-функций  $x(t)$ ,  $\dot{x}(t)$  и  $u(t)$  соответственно в точках  $t - \tau_1(t)$ ,  $t - \tau_2(t)$  и  $t - \tau_3(t)$ , а условия (2) считаются фиксированными.

Определение 1. Пусть  $x, x + \Delta x \in C_1^{(n)}(I)$ . Если существует  $n$ -мерная вектор-функция  $g \in L_\infty^{(n)}(I)$ , удовлетворяющая условию

$$\Pi(\lambda, x + \Delta x, u) - \Pi(\lambda, x, u) = \int_{t_0}^T g'(t) \Delta \dot{x}(t) dt + \int_{t_0}^T o_1(\lambda, x, u; t, \Delta q(t)) dt,$$

причем  $q = (x, y, z)$ ,  $o_1(\lambda, x, u; t, \Delta q) / \| \Delta q \| \rightarrow 0$  при  $\| \Delta q \| \rightarrow 0$ , то будем говорить, что функционал  $\Pi$  имеет вариационную производную  $g(t)$  первого рода по  $\dot{x}(t)$  в точке  $\omega = (\lambda, x, u) \in \Omega(I)$  и будем обозначать ее через  $\Pi_x(\lambda, x, u; t) = g(t)$ :

Определение 2. Пусть  $u \in U^{(r)}(I)$  и  $I' \subset I$  — непустое множество. Возьмем конечный набор  $\{t_1, \dots, t_a\}$  попарно различных точек из  $I'$ , конечный набор неотрицательных чисел  $\{l_1, \dots, l_a\}$  и конечный набор точек  $\{u^1, \dots, u^a\}$  из  $U$ , причем  $1 \leq a < \infty$ . Тогда можно найти число  $\varepsilon_0(I)$ ,  $l = (l_1, \dots, l_a)$  такое, что при  $0 < \varepsilon < \varepsilon_0(I)$  множество  $G_{l\varepsilon} = I \cap [t_1 - \varepsilon l_1/2, t_1 + \varepsilon l_1/2, t_1 + \varepsilon l_1/2]$  не пересекаются. При этом каждое допустимое приращение вида:

$$\Delta u_i(t) = \begin{cases} 0, & t \in I \setminus \bigcup_{i=1}^a G_{l\varepsilon}, \\ u^i - u(t), & t \in G_{l\varepsilon}, \end{cases} \quad i = 1, \dots, a$$

будем называть конечным импульсным возмущением управления  $u(t)$  по  $I'$ .

Определение 3. Если для управления  $u \in U^{(r)}(I)$  существует множество  $I(u) \subset I$  с полной мерой в  $I$ , функция  $g(t, p)$ , суммируема по  $t$  на  $I$  (при всех  $p \in U$ ), непрерывная по  $p$  на  $U$  (почти при всех  $t \in I$ ) и  $\varepsilon_0(I) > 0$  такие, что при любом конечном импульсном возмущении управления  $u(t)$  по  $I(u)$  выполняется

$$\Pi(\lambda, x, u + \Delta u) - \Pi(\lambda, x, u) = \sum_l \varepsilon l_i g(t_i, u^i) + o_2(l, \varepsilon),$$

где  $o_2(l, \varepsilon) / \varepsilon \rightarrow 0$  при  $\varepsilon \rightarrow 0$ , то будем говорить, что функционал  $\Pi$  имеет вариационную производную  $g(t, p)$  второго рода по  $u(t)$  в точке  $\omega \in \Omega(I)$  и будем обозначать ее через  $\Pi_u(\lambda, x, u; t, p) = g(t, p)$ .

3. Пусть существует производная  $\Pi_x(\lambda, x, u; t)$  во всех точках  $\omega \in \Omega(I)$ . Определим линейный оператор  $A(x, u): L_\infty^{(n)}(I) \rightarrow L_\infty^{(n)}(I)$  по формуле

$$[A(x, u)](t) = \Pi_x(\lambda, x, u; t)$$

и  $n$ -мерную вектор-функцию  $\xi^1(x)(t) = (\xi_1^1(x)(t), \dots, \xi_n^1(x)(t))$  равенством

$$\xi^1(x)(t) = \sum_{j=1}^{m(1)} \partial \varphi^1 \left[ x(T_1^1), \dots, x(T_{m(1)}^1) \right] / \partial x(T_j^1), \quad \text{где } \xi_j^1(t) = \text{ха-}$$

рактеристическая функция множества  $[t_0, T_1]$ . Теперь пусть  $x[u] \in C_1^{(n)}(I)$  — решение задачи [1], [2], соответствующее  $u \in U^{(r)}(I)$ .

Каждое из уравнений

$$A(x[u], u)\lambda = \lambda + \xi^1(x[u]), i=0, \dots, k \quad (5)$$

будем называть вспомогательным уравнением. Уравнение [5] будем называть также сопряженным уравнением\*, составленным для функционала  $S^1(u)$  в оптимальной задаче [1]—[4].

4. Пусть  $u, u + \Delta u \in U^{(r)}(I)$ , а  $x[u] \in C_1^{(n)}(I)$ ,  $x[\Delta u] \in L_\infty^{(n)}(I)$  — соответствующие решения задач [1], [2] и [5]. Тогда  $\Delta S^1(u) = -[\Pi(\lambda^1[u], x[u], u + \Delta u) - \Pi(\lambda^1[u], x[u], u)] + \eta^1(u, \Delta u)$ , где

$$\eta^1(u, \Delta u) = - \int_{t_0}^T \left\{ o^1(\lambda^1[u], x[u], u + \Delta u; t, \Delta q(t)) + [\Pi_x(\lambda^1[u], x[u], u + \Delta u; t) - \Pi_x(\lambda^1[u], x[u], u; t)] \Delta x(t) \right\} dt + o^1(\Delta x(T_1), \dots, \Delta x(T_{m(l)})),$$

причем  $o^1(\varepsilon_1^1, \dots, \varepsilon_{m(l)}^1) \times (\|\varepsilon_1^1\| + \dots + \|\varepsilon_{m(l)}^1\|) \rightarrow 0$  при  $\|\varepsilon_1^1\| + \dots + \|\varepsilon_{m(l)}^1\| \rightarrow 0$ .

Определение 4. Если для любого конечного импульсного возмущения управления  $u(t)$  по  $I$  выполняется условие

$$\lim_{\varepsilon \rightarrow 0} [\eta^1(u, \Delta u, \varepsilon)] \times \varepsilon = 0,$$

то управление  $u(t)$  будем называть устойчивым относительно импульсных возмущений по функционалу  $S^1(u)$  или просто устойчивым по  $S^1(u)$ .

5. Необходимое условие оптимальности в задаче [1]—[4] дается следующей теоремой.

Теорема. Пусть функционал  $\Pi$  имеет вариационные производные первого рода по  $x(t)$  и второго рода по  $u(t)$ . Далее, пусть  $u(t)$  — оптимальное, устойчивое для каждого из функционалов  $S^1(u)$ ,  $i=0, \dots, k$  управление. Тогда существуют неотрицательные постоянные  $\beta_0, \dots, \beta_k$ ,  $\Sigma \beta_i \neq 0$  такие, что почти всюду в  $I$  выполняется условие максимума

$$\Pi_u(\sum \beta_i \lambda^i[u], x[u], u; t, p) \leq 0, p \in U.$$

6. Условие устойчивости, налагаемое на рассмотренное управление в приведенной теореме существенно. Действительно, если рассмотрим задачу минимизации функционала  $S(u) = x_2(2)$  при условии  $\dot{x}_1(t) = u(t)$ ,  $\dot{x}_2(t) = 5[x_1(t-1)]^4 - [u(t)]^5$ ,  $t \in [0, 2]$ ,  $x_1(t) = x_2(t) = 0$ ,

$$t \in [-1, 0], |u(t)| \leq 4,$$

для которого  $u(t) : u(t) = 0$  при  $t \in [0, 1]$ ,  $u(t) = 4$  при  $t \in [1, 2]$  является оптимальным неустойчивым по  $S(u)$  управлением, то получаем, что при  $t \in [0, 1]$  принцип максимума не выполняется.

7. В основных случаях оператор  $A(x[u], u)$  является линейным ограниченным оператором, для которого единица не является собс-

\*Уравнение (5) для оптимальной задачи [1]—[4] является сопряженным не в ранее известном смысле [5], а в более общем смысле [6].

твенным числом. Поэтому при всех  $\xi \in L^{(n)}(I)$  уравнение  $A\lambda = \lambda + \xi$  имеет единственное решение  $(A-E)^{-1}\xi$  в  $L_\infty^{(n)}(I)$ ,  $E$  — единичный оператор пространства  $L_\infty^{(n)}(I)$ . Поэтому предложения о существовании решений уравнений (5) выполняются.

8. Одно из преимуществ предложенного метода заключается вне зависимости его от специфических особенностей рассматриваемой задачи. Поэтому данный метод с несущественными изменениями, только в определениях введенных понятий, применим также к другим задачам. Более общие результаты получаются при применении этого метода к задачам в интегро-дифференциальных системах неразрешенных относительно старшей производной [1, 2] и к задачам в системах с распределенными параметрами [3, 4]. Ниже приведем постановку одной из таких задач.

Пусть на  $D = I \times J$ ,  $I = [t_0, T]$ ,  $J = [x_0, \lambda]$  задано уравнение

$$d_{km}z = f(t, x, \dots, d_{ij}z, \dots, u), k+m \geq 1 \quad [6]$$

с обобщенным условием Гурса

$$\begin{aligned} d_{10}z|_{t=0} &= \varphi^1(x), i=0, \dots, k-1 \\ d_{0j}z|_{x=0} &= \psi^j(t) j=0, \dots, m-1. \end{aligned} \quad (7)$$

Здесь:  $z = z(t, x)$  —  $n$ -мерная вектор-функция;  $d_{ij} = \partial^{i+j} / \partial t^i \partial x^j$ ;  $u = u(t, x)$  —  $r$ -мерная управляющая,  $u \in U^{(r)}(D)$ ;  $f$  — заданная,  $n$ -мерные вектор-функции на  $D \times E_{n(km+k+m)} \times U$ ;  $\varphi^i(x)$  и  $\psi^j(t)$  заданные  $n$ -мерные вектор-функции с интегрируемыми на  $J$  и на  $I$  производными  $d_{0m}\varphi^i(x)$  и  $d_{k0}\psi^j(t)$ , причем  $d_{0j}\varphi^i(o) = d_{10}\psi^j(o)$  ( $i=0, \dots, k-1$ ;  $j=0, \dots, m-1$ ).

Требуется минимизировать функционал

$$S^0(u) = \Phi^0[z(T_1^0, X_1^0), \dots, z(T_{p(0)}^0, X_{p(0)}^0)] \quad (8)$$

для тех  $u \in U^{(r)}(D)$ , которые удовлетворяют ограничениям

$$S^1(u) = \varphi^1[z(T_1^1, X_1^1), \dots, z(T_{p(1)}^1, X_{p(1)}^1)] \leq 0, i=1, \dots, q. \quad (9)$$

Для этой задачи вспомогательное уравнение  $A(z[u], u), \lambda = \lambda + \xi^1(z)[u]$  представляет собой в  $L_\infty^{(n)}(D)$  некоторое двумерное линейное интегральное уравнение типа Вольтерра с одномерными слагаемыми. А необходимое условие для задачи [6]—[9] сформулировано аналогично сформулированному для [1]—[4].

## ЛИТЕРАТУРА

- Габасов Р., Кирилова Ф. М. ДАН СССР, 194, № 5, 1970.
- Васильев Ф. П. ДАН СССР, 184, № 6, 1969.
- Егоров А. И. Авт. и тел., 25, № 5, 1964.
- Ахиев С. С. Уч. зап. АГУ, № 3, 1971.
- Беллман Р., Кук К. Дифференциально-разностные уравнения. М., 1967.
- Ахиев С. С., Ахмедов К. Т. Изв. АН Азерб. ССР, № 3, 1972.

АГУ им. Кирова

Поступило 30. III 1970

Г. Т. Эмадов, С. С. Нахиев

Оптимал просеслэр нэзэрийжэснийн бэ'зи мэсэлэлэри үчүн зэруури шарт

## ХУЛАСЭ

Тэдгигатда оптимал просеслэрин зэруури шартин тапмаг үчүн үсүл тэклиф едилмишдир. Көмөкчи тэнлийн бурада кэтирилэн гурул-

ма гајдасына мүәжжәи мә'нада Лагранж вуругларынын гурулмасынын үмуми схеми кими баҳмаг олар.. Бу үсүл вариасија мәсәләләрини даһа үмуми һалда һәлл етмәjә имкан верир.

G. T. Achmedov, S. S. Achiev

### The necessary optimal conditions for some theoretical problem of control

#### SUMMARY

In this paper more general necessary optimal conditions have been found.

АЗӘРБАЙҖАН ССР ЕЛМЛӘР АКАДЕМИЈАСЫНЫН МӘ'РУЗӘЛӘРИ

ДОКЛАДЫ АКАДЕМИИ НАУК АЗЕРБАЙДЖАНСКОЙ ССР

ТОМ XXVIII

№ 5

1972

#### ТЕОРИЯ ПРИБЛИЖЕНИЯ

Г. А. ГУСЕЙНОВ

### О ПОРЯДКЕ АППРОКСИМАЦИИ ОБОБЩЕННЫМИ ОПЕРАТОРАМИ ГЕЛЬФОНДА

(Представлено академиком АН Азербайджанской ССР И. И. Ибрагимовым)

В этой заметке устанавливается порядок аппроксимации непрерывной функции, а также функции, имеющей непрерывную или с разрывами первого рода производную с обобщенными операторами Гельфонда в действительной области. Далее, при помощи выше доказанного, изучается сходимость и порядок сходимости интерполяционными операторами типа Лагранжа для функции непрерывной, имеющей непрерывную производную.

Рассмотрим оператор вида

$$\Gamma_t(f, x) = \frac{1}{\varphi(tx)} \int_0^t f\left[\frac{\psi(y)}{t}\right] (tx)^y d\sigma(y) \quad 0 \leq x < \infty,$$

где  $\psi(y)$  непрерывна на бесконечном интервале  $[0, \infty)$ .

В случае

$$\sigma(y) = \sum_{k=1}^{|y|} a_k, \quad a_k > 0 \quad \text{и} \quad \lim_{k \rightarrow \infty} \sqrt[k]{a_k} = 0,$$

где  $a_k$  — коэффициенты Тейлора функции  $\varphi(tx)$ , будем иметь

$$\Gamma_t(f, x) = \frac{1}{\varphi(tx)} \sum_{n=1}^{\infty} f\left[\frac{\psi(n)}{t}\right] a_n (tx)^n.$$

Если  $\psi(n) = \frac{a_{n-1}}{a_n}$ , то мы получим обобщенный оператор Гельфонда (1)

$$T_t(f, x) = \frac{1}{\varphi(tx)} \sum_{n=1}^{\infty} f\left(\frac{a_{n-1}}{ta_n}\right) a_n (tx)^n.$$

Обозначив через

$$S_t(x) = \frac{1}{\varphi(tx)} \sum_{n=1}^{\infty} \left| x - \frac{a_{n-1}}{ta_n} \right| a_n (tx)^n,$$

как в работе [3] при выполнении условий  $a_{n+1} \leq a_n$  и

$$\lim_{n \rightarrow \infty} F(n) = \lim_{n \rightarrow \infty} \left( \frac{a_n}{a_{n+1}} - 1 \right) = 0,$$

будем иметь

$$S_t(x) = o(t^{-\frac{1}{2}}).$$

При произвольном действительном  $b > 0$  нами установлено следующее:

**Теорема 1.** Если функция  $f(x)$  определена и непрерывна на отрезке  $[0, b]$ , то имеет место

$$|T_t(f, x) - f(x)| < A \omega(t^{-\frac{1}{2}}),$$

где  $A > 0$  не зависит от  $t$ ,  $\omega$  — модуль непрерывности функции  $f(x)$ :

$$\omega(\delta) = \max |f(x) - f(y)| \text{ при } |x - y| \leq \delta, x, y \in [0, b].$$

**Теорема 2.** Если  $f(x)$  определена на отрезке  $[0, b]$  и имеет непрерывную производную, что имеет место равенство

$$|T_t(f, x) - f(x)| = o(t^{-\frac{1}{2}}).$$

В частности, при  $a_n = \frac{1}{(n!)^{\alpha}}$ , где  $\alpha \geq \frac{1}{2}$ , получается усиление соответствующего результата Д. О. Гельфонда [1].

**Теорема 3.** Если производная  $f'(x)$  непрерывна на отрезке  $[0, b]$ , кроме точки  $x=c$ , и в этой точке имеется разрыв первого рода со скачком  $\sigma = f'(c+0) - f'(c-0)$ , то имеет место

$$T_t(f; c) = f(c) + \frac{1}{2} \sigma S_t(c) + o(t^{-\frac{1}{2}}). \quad [2]$$

**Замечание.** Если в теореме 3 производная  $f'(x)$  непрерывна в точке  $x=c$ , то из равенства (2) получим (1), что следует из теоремы 2.

Построим интерполяционный оператор Лагранжа

$$P_t(x) = T_t(x) \sum_{k=1}^{[t]} \frac{f(x_k)}{T_t(x_k)} l_k(x), \quad (3)$$

где  $[t]$  есть целая часть  $t \geq 1$  и  $T_t(x) = T_t(f, x)$ . Полином  $l_k(x)$ , который называется фундаментальным полиномом, имеет свойства:

$$l_k(x_l) = \begin{cases} 0, & \text{при } t \neq k, \\ 1, & \text{при } t = k, \end{cases}$$

$$\sum_{k=1}^{[t]} l_k(x) = 1.$$

Легко увидеть, что

$$(1) \quad P_t(x_l) = f(x_l), \quad l = 1, 2, \dots, [t]$$

**Теорема 4.** Если непрерывная функция  $f(x)$  имеет модуль непрерывности  $\omega(t^{-\frac{1}{2}})$ , удовлетворяющий условию

$$\lim_{t \rightarrow \infty} \omega(t^{-\frac{1}{2}}) \sum_{k=1}^{[t]} |l_k(x)| = 0,$$

то интерполяционный оператор  $P_t(x)$  сходится к  $f(x)$  равномерно внутри отрезка  $[0, b]$ .

**Теорема 5.** Если непрерывная функция  $f(x)$  имеет непрерывности  $\omega(t^{-\frac{1}{2}})$ , удовлетворяющий условию Диши—Липшица

$$\lim_{t \rightarrow \infty} \omega(t^{-\frac{1}{2}}) \ln |t| = 0,$$

то интерполяционный оператор  $P_t(x)$ , совпадающий с  $f(x)$  в тех узлах Чебышева

$$x_k = x_k^{(0)} = \cos \frac{2k-1}{2|t|} \pi,$$

которые принадлежат отрезку  $[0, 1]$ , сходится к  $f(x)$  равномерно, внутри отрезка.

**Теорема 6.** Если на отрезке  $[0, 1]$  функция  $f(x)$  имеет непрерывную производную, то интерполяционный оператор  $P_t(x)$ , совпадающий с  $f(x)$  в тех узлах Чебышева

$x_k = x_k^{(0)} = \cos \frac{2k-1}{2|t|} \pi$ , которые принадлежат отрезку  $[0, 1]$ , удовлетворяет соотношению

$$|P_t(x) - f(x)| = o\left(\frac{\ln |t|}{t^{[t]}}\right),$$

равномерно внутри отрезка  $[0, 1]$ .

#### ЛИТЕРАТУРА

1. Gelfond A. O. Über einige Prozesse Approximation von Funktionen. Sonderdruck aus dem Sammelband zu Ehren des 250. Geburtstages Leonhard Eulers erschienen im Akademie—Verlag, Berlin, 1959.
2. Натансон И. П. Конструктивная теория функций. 1949.
3. Гусейнов Г. А. Об аппроксимации обобщенными операторами А. О. Гельфonda в комплексной области. Уч. зап. АГУ\*, серия физмат, № 1, 1971.

Алгосуниверситет им. Кирова

Поступило 25. XI 1970

Н. А. Гусевнов.

On the approximation order by the generalised operators of Gelfond

#### SUMMARY

In is constructed the new operator by which a continuous function approximation order is stated and also the functions which have a continuous derivative or a derivative with the first order breaks in a real region.

Член-корр. АН СССР Г. Б. АБДУЛЛАЕВ, Л. М. ИМАНОВ,  
М. А. РАСУЛОВА

## К ИССЛЕДОВАНИЮ ДИЭЛЕКТРИЧЕСКОЙ РЕЛАКСАЦИИ В СЕЛЕНЕ

Исследование диэлектрических свойств полупроводников в широких пределах изменения частоты и температуры может дать полезные сведения о природе слабосвязанных носителей заряда. Особенно ценным представляется изучение диэлектрической релаксации в таком широко применяемом в современной технике материале, как селен, электрические свойства которого во многих отношениях полностью еще не выяснены. Кроме этого, селен является обычным неорганическим полимером, имеющим простейшую структуру, состоящую из атомов одного типа. Поэтому можно предполагать, что исследование диэлектрической релаксации в селене приведет к более глубокому пониманию релаксационных явлений и в других полумерах. Самостоятельный интерес представляет также накопление надежных данных о численных значениях диэлектрических коэффициентов селена, необходимых для проведения многих теоретических расчетов.

Ко времени выполнения настоящей работы было известно всего лишь несколько работ о радиочастотных спектрах диэлектрических коэффициентов частично кристаллизованного селена [1–3]. Что касается изучения примесей на процесс диэлектрической релаксации в селене, то можно указать работы [4–5], в которых исследовались образцы, содержащие примеси брома и йода.

В настоящем сообщении приводятся некоторые результаты исследования диэлектрической релаксации для частично кристаллизованного селена и для селеновых образцов с примесью таллия. Выбор таллия в качестве примеси связан с его широким применением в промышленности селеновых приборов. Кроме того, значительное уменьшение электропроводности кристаллизованного селена с примесью таллия позволило провести на имеющейся аппаратуре измерения диэлектрических коэффициентов образцов с более высокой степенью кристаллизации.

Диэлектрическая проницаемость и показатель поглощения чистого образца селена измерены на пяти частотах диапазона 0,06–5,3 мгц в интервале температур от 20 до –100°C. В тех же температурных пределах были измерены диэлектрические коэффициенты селена с примесью 0,01 вес. % таллия на восьми частотах диапазона 0,06–16 мгц. Измерения проводились по резонансному методу. Погрешность значений  $\epsilon'$  не превышает 1% и  $\epsilon''$  5%. Все измерения про-

водились при непрерывном охлаждении со скоростью 0,3 град/мин. Исследуемые образцы отжигались при температурах 100°C (чистый селен) и 210°C (с примесью таллия) с выдержкой при каждой температуре в течение одного часа.

При изготовлении образцов чистого селена исходным материалом служил селен марки В<sub>1</sub> в виде порошка, образцы же селена с примесью таллия были изготовлены из предварительно гранулированного селена той же марки. Следует отметить, что в отличие от авторов работ [6,7] нам удалось установить режим, при котором в процессе охлаждения расплавленного селена с примесью таллия кристаллизация не происходит. Аморфность образцов проверялась рентгенографическими измерениями. Плотность аморфного селена с примесью таллия, как и для чистого аморфного селена, равна 4,28.

Сведения о методике измерения, изготовления образцов и других деталях эксперимента содержатся в работе [8].

Наличие дисперсии и поглощения хорошо видно на дуговых диаграммах (рис. 1), построенных на плоскости ( $\epsilon'$ ,  $\epsilon''$ ) для селенового образца, отожженного при температуре 100°C в течение часа. Смещение точек на диаграммах влево от центра с понижением температуры свидетельствует о релаксационном характере дисперсии. Хотя перекрытая часть спектра недостаточно широка, ее высокочастотный край довольно точно аппроксимируется круговой диаграммой с центром ниже оси абсцисс. Следозательно, дисперсия в образце характеризуется симметричным распределением времен релаксации около наиболее вероятного значения  $\tau$  согласно уравнению:

$$\epsilon'(\omega) - i\epsilon''(\omega) = \epsilon_\infty + \frac{\epsilon_0 - \epsilon_\infty}{1 + (\omega\tau)^{1-\alpha}}, \quad (1)$$

где  $\alpha$  характеризует ширину распределения.

Параметры уравнения (1), определенные из дуговой диаграммы,

Таблица 1

t°C	$\epsilon_0$	$\epsilon_\infty$	$\alpha$	$\tau \cdot 10^3$ сек (по дуговой диаграмме)					$\tau_{ep} \cdot 10^3$ сек
				0,03 мгц	0,196 мгц	0,6 мгц	1,7 мгц	5,3 мгц	
20	10,3	7,1	0,29	2,74	2,5	2,42	2,52	2,47	2,55
-30	9,6	7,0	0,39	4,22	4,3	3,90	4,04	4,00	4,07
-60	9,4	7,0	0,50	6,10	6,2	5,90	6,24	6,00	6,19
-90	9,0	7,0	0,50	9,00	9,0	9,00	9,15	9,05	9,05

приведены в табл. 1. Там же представлены значения времени релаксации  $\tau$ , определенные по точкам на дуговых диаграммах по выражению:

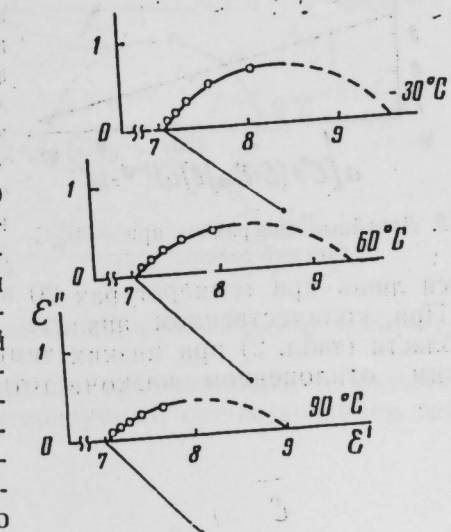


Рис. 1. Дуговые диаграммы для чистого селена при разных температурах

Таблица 2

t°C	II обл.		I обл.		$\tau_{cp} \cdot 10^3$ сек		II	I
	$\epsilon_0$	$\epsilon_\infty$	$\epsilon_0$	$\epsilon_\infty$	II	I		
20	20,2	18,5	18,5	16,0	68	1,60	0,11	0,085
10	20,1	18,4	18,4	16,0	75	1,66	0,12	0,105
0			18,1	15,9		1,70	0,121	0,121
-30			16,0	14,5		1,88	0,164	0,164
-60			14,5	13,5		2,12	0,209	0,209
-90			13,9	13,0		2,65	0,244	0,244

Указанные в последней графе табл. 1 значения для  $\tau_{cp}$  получены усреднением  $\tau$  по всем частотам. Правильность найденных по экстраполяции из дуговых диаграмм значений  $\epsilon_0$  и  $\epsilon_\infty$  контролировалась с помощью метода линейных диаграмм, подробно описанного в работе [9].

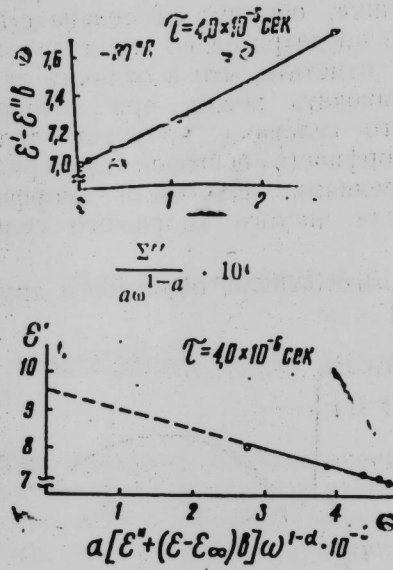


Рис. 2. Линейные диаграммы при  $-30^\circ\text{C}$  (чистый селен).

дается лишь при температурах  $20$  и  $10^\circ\text{C}$ .

При количественном анализе спектра определение параметров II области (табл. 2) при низких температурах затрудняется систематическим отклонением низкочастотного края II области дисперсии.

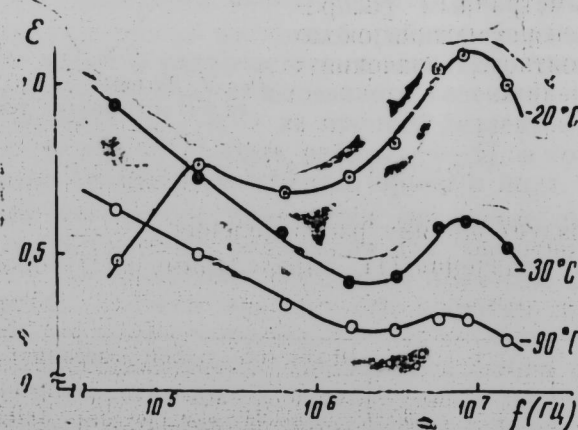


Рис. 3. Частотные зависимости показателя поглощения  $\epsilon''$  селена с примесью 0,01 % Te.

Это отклонение более отчетливо наблюдается на круговой диаграмме (рис. 4) и наводит на мысль о наличии дополнительной третьей области поглощения.

Ввиду недостаточности приведенных данных мы воздерживаемся от обсуждения природы наблюденных областей дисперсии. Отметим

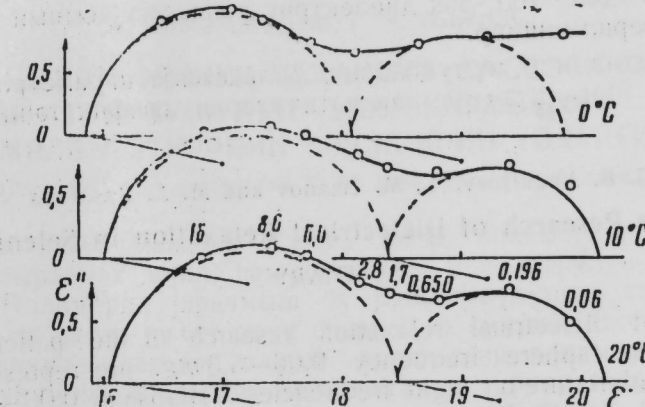


Рис. 4. Дуговые диаграммы селена с примесью 0,01 % Ti при разных температурах.

ком слабосвязанных носителей зарядов при тепловом движении через потенциальный барьер, характеризуемый существованием набора минимумов различной глубины.

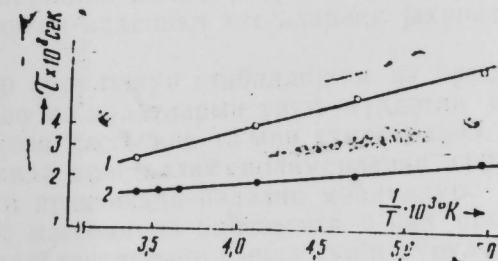


Рис. 5. Зависимость времени релаксации от обратной абсолютной температуры:  
1—чистый селен; 2—Se+0,01 % Ti

Энергия активации, найденная из наклона прямых (рис. 5) для селена 0,055 эв, а для образца с примесью таллия—0,018 эв.

#### ЛИТЕРАТУРА

1. Freymann M. R., Balcon M. Y., Blanchard M. L., Corneteau M. H. et Rohmer M. R. J. Phys. Radium, 17, 806—812, 1956. 2. Meissel U., Meissel J. and Balcon J. Phys. Radium, 17, 78, 1956. 3. Taubmann J. und Neckenburger E. Z. Physik, 151, 72, 1958. 4. Ludwig W. und Eckart F. Z. für Physik, 1961, Bd. 162, N. 1—2. 5. Toshio Nishi and Vasaku Wada, Journal of Polymer Science, Part A-1, Vol. 6, 1597—1604, 1968. 6. Кребс Г. Сб. «Полупроводниковые материалы», ИЛ, 1954. 7. Алиев М. И., Ахундова С. А. „Изв. АН Азерб. ССР“

серия физ.-техн. и мат. наук, 1960, № 3. 8. Иманов Л. М., Расурова М. А. Изв. АН Азерб. ССР\*, серия физ.-техн. и мат. наук, 1969. № 6. 9. Зульфугар-заде К. Э., Гаджиев Г. А., Иманов Л. М. Изв. АН Азерб. ССР\*, серия физ.-техн. и мат. наук, 1969. № 1.

Институт физики

Поступило 9. II 1972

Б. Б. Абдуллаев, Л. М. Иманов, М. А. Расурова

Селендэ диселектрик релаксасијасынын тәдгигинэ даир

ХУЛАСЭ

Мәгаләдә тәмиз селенин  $0,6 \div 5,3$  мгс тезлик интервалында, еләчә дә таллиум ашгарлы селен нүмүнәсинин  $0,06 \div 16$  мгс тезлик диапазонунда  $20^\circ$ -дән— $100^\circ$ -дәк диселектрик релаксасијасынын тәдгигиниң иетичәләри верилмишdir.

Тәдгиг едилмиш нүмүнәләриңиң релаксасија параметрләри тә'жии олунмушdur. Мәгаләдә алышан иетичәләриңи график тәһлили верилмишdir.

G. B. Abdullaev, L. M. Imanov and M. A. Rasulova

To the Research of Dielectrical Relaxation in Selenium  
SUMMARY

Resulta of dielectrical relaxation research of the pattern of pure selenium in the sphere frequency  $0,06 \div 5,3$  mgs are represented and with thallium admixture on eight frequencies of diapason  $0,03 \div 16$  mgs at temperature  $20 \div 100^\circ\text{C}$  also.

Relaxational parameters of researched patterns are determined on the base of the primary experimental facts.

Got results are represented graphically.

АЗӘРБАЙЧАН ССР ЕЛМЛӘР АКАДЕМИЈАСЫНЫН МӘРҮЗӘЛӘРИ

ДОКЛАДЫ АКАДЕМИИ НАУК АЗЕРБАЙДЖАНСКОЙ ССР

ТОМ XXVIII

№ 5

1972

УДК 546.64+678.01

ПОЛИМЕРЛӘР КИМЛӘСИ

Р. И. МӘММӘДОВ, Г. Ч. ӘЛИЈЕВ

ПОЛИПРОПИЛЕНИН ФИЗИКИ-МЕХАНИКИ ХАССӘСИНӘ ВӘ ПЕРМОЛЕКУЛЈАР ГУРУЛУШУНУН ДӘЈИШИЛМӘСИНӘ ГУРУЛУШ ЭМӘЛӘ КӘТИРӘНИН ТӘ'СИРИНИН ТӘДГИГИ

(Азәрбајчан ССР ЕА академики С. Ч. Мәһдијев тәғдим етмишdir)

Полимер материалларының е'малы тәкчә полимерләрдән мүәյҗән мә'мулат назырламаг дејил, һәм дә онлара йени гурулуш вермәкдән ибарәтdir. Полимердә јарашын бу йени гурулушун харәтери вә морфологијасы әксәр һалда онун физики вә кимјәви хассәсини мүәյҗән еди. Буныла әлагәдар олараг, кристаллик полимерләриңи е'малында ән мүһум мәсәләләрдән бири оптималь гурулуш јаратмадан вә ону тәнзимләмәкдән ибарәтdir. Полимер материалларының гурулушуну тәнзимләмәк үчүн бир нечә үсуллар тәклиф олунмушdur. Бу, һәр шејдән әввәл, е'малын технологи режиминиң дәјишилмәсендән, кичик молекуллу пластификаторуң вә сүн'и гурулуш эмәлә кәтиրәниң кристаллик полимерләре дахил едилмәсендән, һәмчинин чалаг биркәполимерләриңи алышасындан ибарәтdir [1]. Бу үсуллардан истифадә едәрәк кристаллик полимерләриңи пермолекулјар гурулушуну дәјишилмәклә физики-механики хассәләриңи јаҳышлашдыраг мүмкүндүр.

Пермолекулјар гурулушун стабиллижини вә кристаллашма процессини тәнзимләмәдән мә'мулатларын узун мүддәтли истисмар заманы сабит физики-кимјәви хассәсини тә'мин етмәк олмаз.

Е'мал процессindә кристаллик полимерләриңи гурулушуну оптималь тәнзимләмәси практикада һәләлик мәһдудлудur.

Мәгаләдә әсас мәгсадимиз билавасында е'мал процессindә, пермолекулјар гурулушун тәнзимләмәсендә сүн'и гурулуш эмәлә кәтирәниң ролуну көстәрмәк вә онун полипропиленин физики-механики хассәсине тә'сирини изаһ етмәkdir.

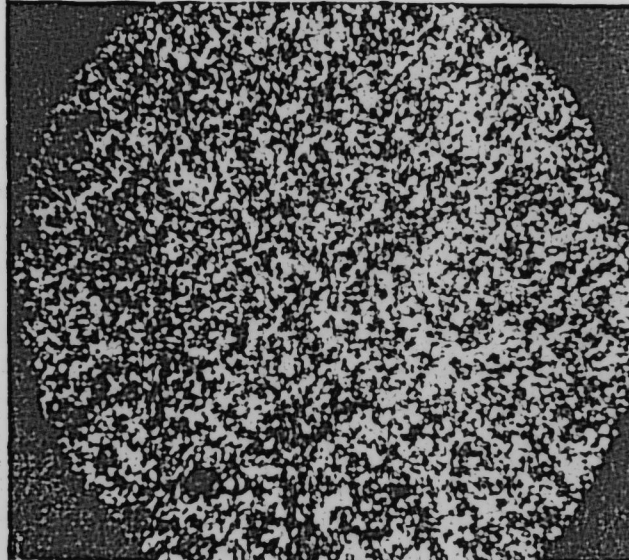
Тәчрүби үиссә

Тәдгигетмә саһәси олараг Москва нефт е'малы заводунун истеңсал етдижи стабилләшдирилмәшиң тоз шәкилли полипропилендән истифадә едилмишdir.

Гурулуш эмәләкәтиричи кими өлчүсү 8-10 микрон олан тозшәкилли метал оксидләриндән вә үзви бирләшмәләрдән истифадә едилмишdir. Гурулуш эмәләкәтирии полипропилене иисбәтән јүксәк эримә температурна малик олмалы вә һәм дә онда һәлл олмамалыдыр. Ейничиисли гарышыг алмаг үчүн гурулуш эмәләкәтирии полимера 20 saat мүддәтиндә күрәчикли лабораторија дәјирманинда аз мигдар-

да (1%-э гәдәр) полимер тозу илә бирликтә гарышдырмагла дахил едилмишdir. Назырламыш гарышыдан тәэзиглә төкмә лабораторија машинында  $0,3 \times 1$ ,  $0 \times 4,0$  см өлчүлү нүмүнәләр назырламыш вә буилар дартычы машиныда 50 мм/дәг сүр'әтлә дартылараг јохланышды. Тәэзиглә төкмәдә е'мал режими ашағыдаки гајдада олмуштур: төкмә температуру  $220^{\circ}\text{C}$ , пресформанын температуру  $50^{\circ}\text{C}$ , материалын гыздырычы силиндрдә галма мүддәти 15 дәг, нүмүнәнин пресформада галма мүддәти 30—45 сантиметр.

Полипропиленә гурулуш әмәләкәтириени дахил едилмәси онун пермолекулјар гурулушуну кичик сферолитти (сферолит кристаллик полимерләрә хас пермолекулјар гурулушун формасыдыр) алымасына сәбәб олур (1-чи шәкил).



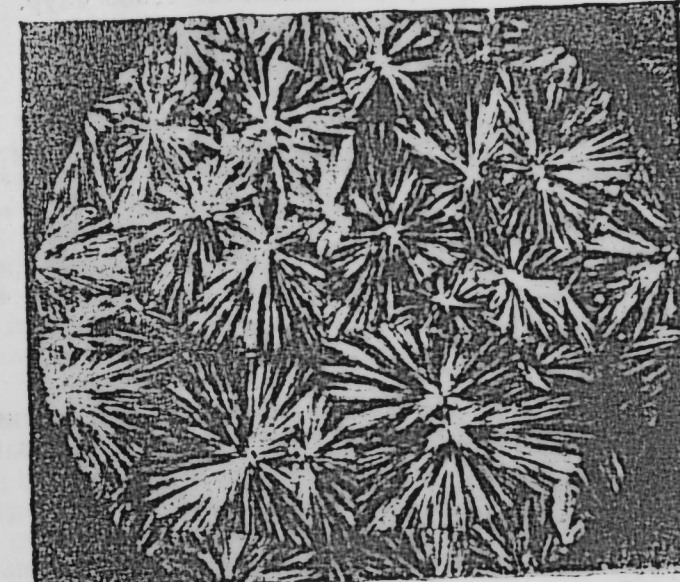
1-чи шәкил. Тәркибида 1% гурулуш әмәләкәтиричи олар стабилләшдирилмәмиш полипропилен нүмүнәсінин микротографијасы.

Гејд етмәк лазымдыр ки, кристаллик полимерләрдә кичик сферолитти гүсурсуз пермолекулјар гурулушун алымасы онларын физики-механики хассәләрни јүксәлдир. Пермолекулјар гурулушун е'мал режиминдән асылы олмајараг кичик сферолитти алымасынын эсас сәбәби гурулуш әмәләкәтириени полимердә чохлу мигдарда кристал мәркәзи јаратасыдыр. Лакин буидан фәргли олараг, е'мал заманы полипропиленә гурулуш әмәләкәтириен дахил едилмәдикдә, онун пермолекулјар гурулушу ири сферолитләрдән тәшкил олунур ки, бу да полимерни физики-механики хассәсінин ашағы салыр (2-чи шәкил).

Полипропиленин вә полипропиленлә оптималь мигдарда гурулуш әмәлә кәтиреин гарышынын физики-механики хассәләрі чәдвәлдә верилмишdir. Чәдвәлдән көрүнүр ки, полипропиленә 1% гурулуш әмәләкәтириен дахил едилдикдә онун дартылмада мөһкәмлик һәдди, нисби узаимасы вә әримиш һалда ахма габилиїтти јүксәлir. Белә ки, полипропиленин гурулуш әмәләкәтириеләрдә—синк оксиди, алуминий оксиди, никел-2 оксид, бензол түршусу вә магнезиум оксиди илә дартылмада мөһкәмлик һәдди  $350-360 \frac{\text{КГС}}{\text{см}^2}$ , нисби узаимасы исә

200—550%-дир. Бу да стабилләшдирилмәмиш полипропиленин нисби узаимасындан 2—3 дәфә чохдур. Стабилләшдирилмәмиш полипропилендә дартылмада мөһкәмлик һәдди  $310 \frac{\text{КГС}}{\text{см}^2}$ -а чатыр.

Ејни заманда, полипропиленә гурулуш әмәләкәтириен дахил едилдикдә әримиш һалда онун ахма габилиїтти  $2,5 \frac{\text{г}}{10 \text{ дәг}}$ -дәк јүксәлir. Бу көстәричи стабилләшдирилмәмиш полипропилендә  $1,0 \frac{\text{г}}{10 \text{ дәг}}$  - дир. Материалын ахма габилиїтти ИИРТ маркалы чиңзала  $230^{\circ}\text{C}$ -дә  $2,16 \text{ КГ}$  јук алтында тә'жин олунмуштур.



2-чи шәкил. Стабилләшдирилмәмиш полипропилен нүмүнәсінин микротографијасы.

Айди олмуштур ки, полипропиленә гурулуш әмәләкәтириен дахил едилдикдә полимерни ахма габилиїтти јүксәлir. Бу да мәмүлатларын гүсурсуз алымасыны вә төкмәләрдә гатларын, јығышма бошлуғунун олмамасыны тә'мин едир. Мүрәккәбшәкилли, чохјувалы

#### Ч ә л в ә л

Сыра №-сн	Нүмүнәләрни ади	Дартылмада мөһкәмлик һәдди, $\frac{\text{КГС}}{\text{см}^2}$	Нисби узаима фәнделе	Ахма габилиїтти, $10 \frac{\text{г}}{10 \text{ дәг}}$
1	ПП— стабилләшдирилмәмиш	310	180	1,0
2	ПП+синк оксиди	360	587	1,7
3	ПП+алуминиум оксиди	357	450	2,2
4	ПП+бензол түршусу	350	250	2,5
5	ПП+магнезиум оксиди	351	550	1,9
6	ПП+никел 2-оксид	354	450	2,3

Гејд: полипропиленин ахма габилиїтти  $230^{\circ}\text{C}$ -дә  $2,16 \text{ КГ}$  јук алтында тә'жин олунмуштур. Полипропилен гысалдылыш сурәтлә ПП кими йазылышыдыр. Пресформаларын долдурулмасында вә галын диварлы төкмәләрни пресформаларын долдурулмасында вә галын диварлы төкмәләрни ролу хүсусилә бөյүкдүр. Белә ки, галын диварлы төкмәләрдә сојума сүр'ети азалыр вә полимерни гурулушу ири сферолитләрдән тәшкил олунур. Буцини иәтичәсіндә

дахили кәркинилек әмәлә қөлир вә мә'мұлатын мәңкәмлиji ашагы дүшүр [2]. Лакин полипропилен گурулуш әмәләкәтиреи дахил едилдикдә полимерин кристаллашма габилиїттәи јүксәлир вә кичик сферолитлы گүсуреуз گурулуш алыныр.

Анарылан тәдгигатлардан ашагыдақы нәтижеләре қөлмек мүмкүндүр:

1. Полипропилен оптималь мигдарда گурулуш әмәләкәтиреи дахил етдикдә е'мал заманы онун пермолекулјар گурулушу низамланыр вә механики көстәричиси јүксәлир.

2. Гурулуш әмәләкәтиреи полипропиленни ахмә габилиїттәи јүксәлдир, е'мал заманы пресформаларын доддурулмасыны асанлаштырыр вә кефийәтли төкмәләрин алынmasына сәбәб олур.

#### ӘДӘВИЛДАТ

1. Акутин М. С., Пластические массы, № 11, 56, 1967. 2. Акутин М. С., Пашинин Б. Н. Тез. док. симпозиума „Синтез, модификация и переработка полиолефинов”, Баку, 1967.

Полимерләр институту

Алматыда 30. III 1970

Р. И. Мамедов, Г. Д. Алиев

Исследование влияния структурообразователя на изменение надмолекулярной структуры и физико-механических свойств полипропилена

#### РЕЗЮМЕ

Исследовано, что введение в московский нестабилизированный полипропилен твердых структурообразователей в процессе его переработки вызывает изменение надмолекулярной структуры полимера и повышение прочностных показателей.

Показано, что присутствие структурообразователей в полипропилене повышает его текучесть за счет структурных преобразований и облегчает формование при переработке.

R. J. Mamedov, G. D. Aliev

Investigation influence of a structureformer on variation of permolecular structure and rheo-mechanical properties of the polypropene

#### SUMMARY

It has been studied that the introduction of solid structureformers into unstabilized Moscow polypropylene in processing brings about the strength properties.

It has been shown that presence of structureformers in polypropylene increases its flow properties by the changing structure and it makes light the formation on processing polypropylene.

И. С. САТТАР-ЗАДЕ, З. Г. ЭФЕНДИЕВА,  
А. Д. САТТАР-ЗАДЕ, К. А. ИСКЕНДЕРОВА  
ОПТИЧЕСКАЯ АКТИВНОСТЬ НЕФТЕЙ О. ЖИЛОЙ

(Представлено академиком АН Азербайджанской ССР А. М. Кулешовым)

Ранее [1] нами была дана общая характеристика нефти о. Жилой в отношении их оптической активности и других физико-химических свойств. Целью данной работы является продолжение исследований, посвященных изучению оптической активности, состава и других свойств нефти о. Жилой по свитам.

Для исследования были взяты нефти из различных свит и горизонтов скважин 10, 45, 60, 54, 33, 66, 50 и 65. Исследование подвергались как сырье фракции, полученные непосредственно при перегонке нефти, так и деароматизированные, обработанные 98%-ной серной кислотой. Исходное сырье и кислота были взяты в следующих соотношениях: для фракций, кипящих при температуре 95—300°C — 1 : 1, а для фракций — 300—500° — 3 : 2. Для этих фракций определялись основные физико-химические константы, результаты которых приведены в табл. 1 и на рис. 1, 2. Все определения сделаны при комнатной температуре, за исключением особо указанных.

Для сопоставления величин оптического вращения нефтей с их химическим составом, кроме деароматизации серной кислотой, дающей возможность определить содержание ароматических углеводородов, были использованы также индексы метановых углеводородов, характеризующие метановость данной нефти [2]. Для характеристики масляной части нефти определялся их структурно-групповой состав (табл. 2), после чего было вычислено среднее арифметическое значение этих констант по отдельным свитам.

Характерной чертой нефтей морских месторождений Азербайджана, в том числе и нефти о. Жилой, является то, что оптическая активность их появляется уже у низкокипящих бензиновых фракций, с довольно заметным удельным вращением. Керосиновые фракции имеют сравнительно пониженную оптическую активность, а что касается масляной части нефтей, то их величины оптического вращения непрерывно с температурой кипения возрастают. Параллельно возрастанию удельных вращений увеличиваются также значения метановых индексов и вязкостей фракций. Для масляных фракций наблюдается связь между удельным вращением и числом циклов: с увеличением числа циклов оптическая активность возрастает. Из табл. 2 следует, что для нефти о. Жилой основная часть циклов в средней молекуле фракции падает на долю наftenовых колец; это должно оказываться на оптической деятельности, что и наблюдается.



вращения не наблюдается; при этом отмечались и случаи исчезновения или появления оптической активности. Что касается нефти в целом, то процесс деароматизации приводит к уменьшению оптического вращения для всех исследуемых нефтей из различных свит. Все это указывает на то, что оптическая активность нефтей о. Жилой в основном связана с ароматическими углеводородами, а не с углеводородами нафтенового или парафинового характера.

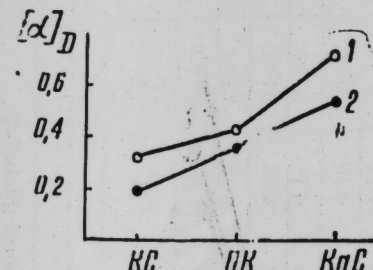


Рис. 2. Распределение оптической активности нефтей по свитам: 1—сырая нефть; 2—деароматизированная нефть.

КС к КаC, увеличиваются как для сырых, так и для деароматизированных нефтей (рис. 2). Такое закономерное различие оптической активности отдельных свит нефтей данного месторождения может быть полезным для отличия и корреляции пластов.

#### ЛИТЕРАТУРА

1. Саттарзаде И. С. и др. «Нефть и газ» (в печати). 2. Амосов Г. А. Геохимический сборник, 1, 1956.

Азгосуниверситет им. Кирова  
Поступило 2. XI 1970

И. С. Саттарзаде, З. Г. Эфендиева,  
А. Ч. Саттарзаде, К. Э. Искендерова

#### Жилој адасы нефтләринин оптикалық активлији

#### ХУЛАСӘ

Жилој адасынын мүхтәлиф лајларындан көтүрүлмүш нефтләрин оптикалық активлији вә бә'зи физики-химиялық хассасләри тәддигү едилмишdir. Мүшәнидәләрии нәтижәси көстәрир ки, мүхтәлиф лајлардан көтүрүлмүш нефтләрин хүсуси фырлатма бучагларынын әдәди гијмәти ejni дејилдир. Мәгаләдә оптикалық хассасләрлә јашашы, нефтләрин кимјәви хассасләрини характеризә етмәк учун фраксијаларын гурулуш-группа тәркиби, метан карбонидрокенләри (индексләри) көстәричиләри несабланыш вә бу кәмијәтләр арасында мүәјјән ганунаујғынлуг мүшәнидә едилмишdir.

I. S. Sattarzade, Z. G. Efendieva, A. D. Sattarzade, K. A. Iskenderova

#### The Official Activity of Oils of the Island Giloy

#### SUMMARY

In the work the facts on the optical structure and other physico-chemical characteristics of suites are given.

The diagrams of the dependence quantity of the friction gyration from the average temperatures of boiling are adduced.

#### АЗЭРБАЙЖАН ССР ЕЛМЛӘР АКАДЕМИЯСЫНЫН МӘРУЗӘЛӘРИ

#### ДОКЛАДЫ АКАДЕМИИ НАУК АЗЕРБАЙДЖАНСКОЙ ССР

#### ТОМ XXVIII

#### № 5

1972

УДК 541.121 : 536.7

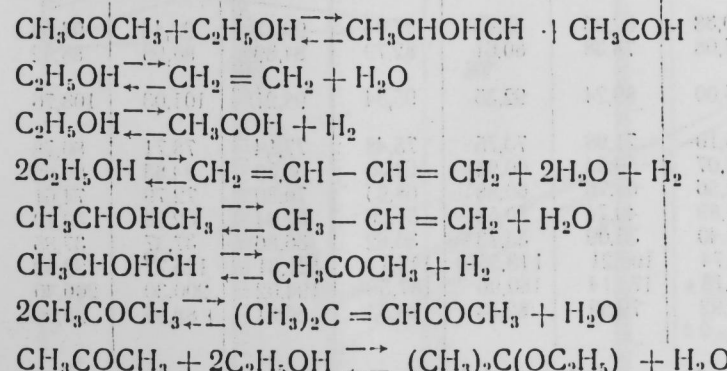
#### ФИЗИЧЕСКАЯ ХИМИЯ

Академик С. Д. МЕХТИЕВ, О. Б. АЛИЕВ, О. А. НАРМАНБЕКОВ

#### ТЕРМОДИНАМИЧЕСКИЙ РАСЧЕТ ПАРАФАЗНОГО ВОССТАНОВЛЕНИЯ АЦЕТОНА ЭТИЛОВЫМ СПИРТОМ

Восстановление карбонильных соединений в условиях реакции Меервейна—Пондорфа—Верли значительно исследовано лишь на примере  $\alpha$ ,  $\beta$ -ненасыщенных систем [1, 2]. Представляет интерес возможность проведения этого процесса с участием других карбонильных соединений, в частности предельных, особенно в случаях пригодности их для практического применения. В этом отношении привлекает реакция парофазного восстановления ацетона этиловым спиртом, которую вместе с тем можно рассматривать как модельную реакцию Меервейна—Пондорфа—Верли, не осложненную реакциями полимеризации и поликонденсации, как, например, в случае акролеина.

В статье приводятся результаты термодинамического расчета этой реакции с учетом вероятности протекания побочных реакций. Общую схему процесса можно представить в виде:



Термодинамические функции участников процесса, представлены в табл. 1 и 2.

Значения термодинамических функций для этанола, изопропанола и ацетальдегида взяты из работ [3, 4, 5] экстраполяцией по температурным зависимостям  $\Delta H = f(T)$  и  $S = f(T)$ .

Для остальных продуктов значения  $\Delta H_t$  и  $S_t$  рассчитали по данным для идеальных газов в стандартном состоянии [6] с введением поправок на изменение функций с температурой из выражений:

Таблица 3

Температурная зависимость  $\Delta (\Delta H)$  и  $\Delta S$  для реакции парафазного восстановления ацетона этианолом

$$\Delta H_t = \Delta H_{298} + \int_{298}^t \Delta C_p dT; \quad S_t = S_{298} + \int_{298}^t \frac{dH}{dT} dT.$$

Как видно из данных табл. 3, значения  $\Delta (\Delta H)$  и  $\Delta S$  для прямой реакции восстановления ацетона в интервале 200–500°C невелики.

Небольшие значения приведенных величин требуют осторожности при желании получить надежные значения термодинамической кон-

Таблица 1

Температурная зависимость  $\Delta H = f(T)$ 

№ п.п.	Компонент	Temperatura, °K						
		473	523	573	623	673	723	773
$\Delta H$ , ккал/моль								
1	Ацетон	-53,76	-54,28	-54,75	-55,18	-55,55	-55,89	-56,18
2	Этиловый спирт	-58,17	-58,62	-59,01	-59,37	-59,70	-59,97	-60,20
3	Изопропиловый спирт	-67,47	-68,00	-68,47	-68,88	-69,24	-69,54	-69,80
4	Ацетальдегид	-41,15	-41,47	-41,77	-42,04	-42,28	-42,50	-42,69
5	Этилен	11,179	10,837	10,514	10,207	9,916	9,636	9,365
6	Пропилен	2,875	2,361	1,880	1,431	1,010	0,612	0,231
7	Вода	-58,2	-58,31	-58,42	-58,53	-58,64	-58,74	-58,84
8	Водород	0	0	0	0	0	0	0
9	Окись мезитила	-50,12	-50,94	-51,70	-52,37	-52,48	-53,49	-53,94
10	Диэтилкеталь	-114,13	-115,11	-115,94	-116,62	-117,14	-117,53	-117,78
11	Бутадиен	24,96	24,49	24,04	23,60	23,16	22,72	22,26

Таблица 2  
Температурная зависимость  $S = f(T)$ 

№ п.п.	Компонент	Temperatura, °K						
		473	523	573	623	673	713	773
$S$ , кал/моль · град								
1	Ацетон	80,38	82,95	85,43	87,84	90,17	92,44	94,64
2	Этиловый спирт	76,08	78,38	80,61	82,79	84,89	86,98	88,92
3	Изопропиловый спирт	86,00	89,24	92,35	95,34	98,21	101,03	103,76
4	Ацетальдегид	70,10	71,98	73,75	75,48	77,14	78,71	80,28
5	Этилен	58,07	59,54	60,94	62,30	63,59	64,83	66,02
6	Пропилен	62,56	64,76	66,88	68,93	70,89	72,79	74,61
7	Вода	48,89	49,74	50,53	51,26	51,94	52,58	53,19
8	Водород	34,40	35,09	35,73	36,62	36,86	37,37	37,85
9	Окись мезитила	104,74	109,21	113,55	117,14	121,81	125,77	129,62
10	Диэтилкеталь	167,18	174,14	180,96	187,58	194,02	200,30	206,40
11	Бутадиен	76,92	79,59	82,13	84,53	86,81	88,96	90,98

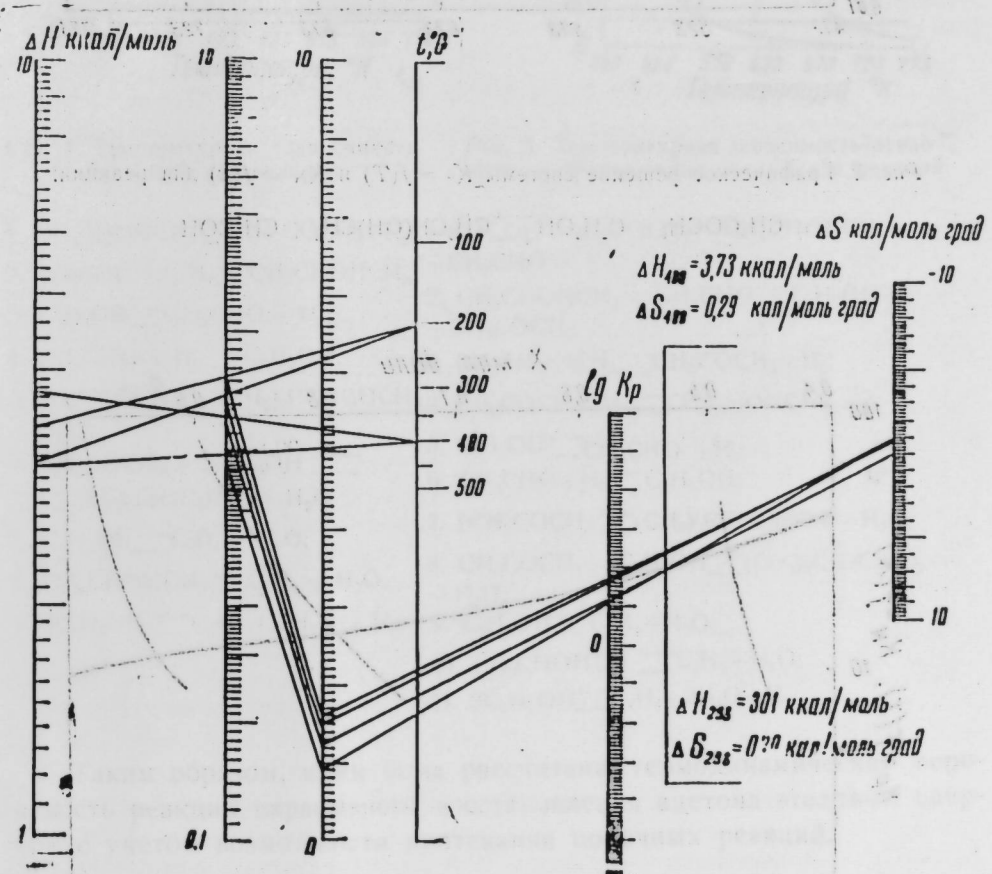
станты равновесия. Как видно из nomogramмы (рис. 1), построенной по методу, описанному в [7], значения  $\lg K_p$ , полученные с учетом и без учета изменения термодинамических функций с температурой начинают заметно расходиться в области высоких температур. Мы рассчитывали зависимость  $\lg K_p = f(T)$  для всех реакций с учетом этих изменений. На рис. 2 и 3 представлено графическое решение системы:

$$K_p = f(T) \quad K_N = f(x)$$

для прямой и обратной реакций восстановления ацетона этианолом произведенных по методу [8].

Temperatura, °C	$\Delta (\Delta H)$ , ккал/моль	$\Delta S$ , кал/моль · град
200	3,31	-0,36
250	3,43	-0,11
300	3,52	0,06
350	3,63	0,19
400	3,73	0,29
450	3,82	0,32
500	3,89	0,48

Зависимость  $K_p = f(T)$  для всех остальных вероятных реакций представлена на рис. 4, а температурная зависимость термодинамически вероятного равновесного выхода  $X = f(T)$  — на рис. 5.

Рис. 1. Номограмма для определения  $\lg K_p$  по  $\Delta (\Delta H)$  и  $\Delta S$  реакции.

Из рис. 2 следует, что для увеличения равновесного превращения ацетона целесообразно увеличить молярное отношение этианол—ацитон до 8–16:1, что может привести к значениям  $x \sim 35$ –69% в интервале 200–500°C.

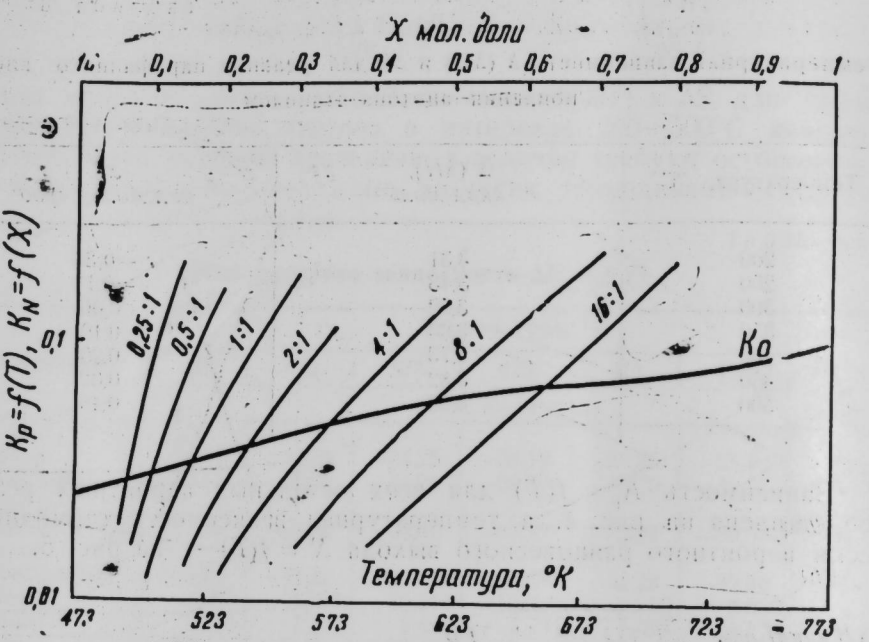


Рис. 2. Графическое решение системы  $K_p = f(T)$  и  $K_N = f(x)$  для реакции:

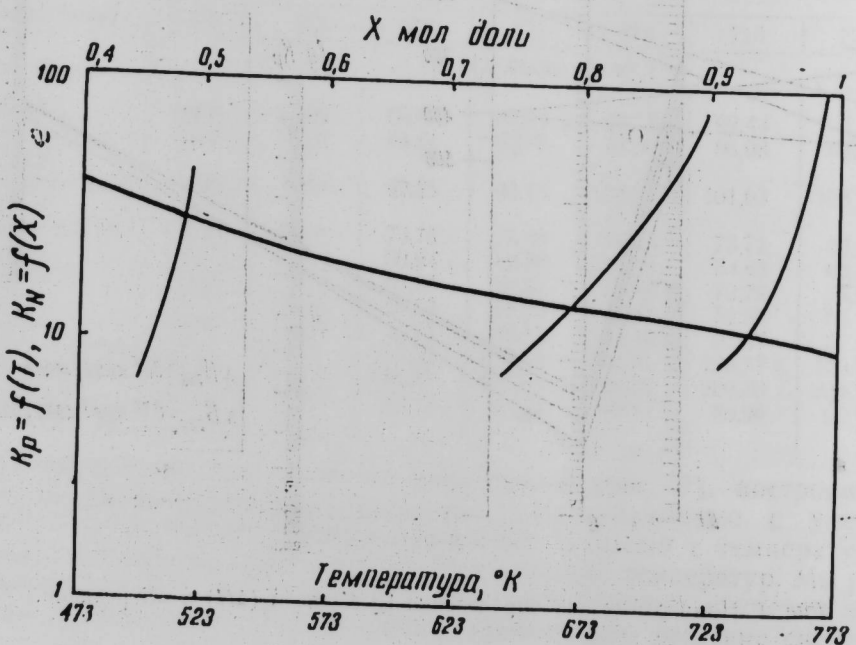
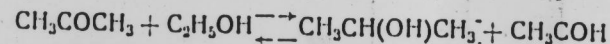


Рис. 3. Графическое решение системы  $K_p = f(T)$  и  $K_N = f(x)$  для реакции:  
 $\text{CH}_3\text{CH}(\text{OH})\text{CH}_3 + \text{CH}_3\text{COH} \rightleftharpoons \text{CH}_3\text{COCH}_3 + \text{C}_2\text{H}_5\text{OH}$

Из побочных реакций можно отметить высокую вероятность протекания реакции сопряженного дегидрирования-дегидратации этанола.

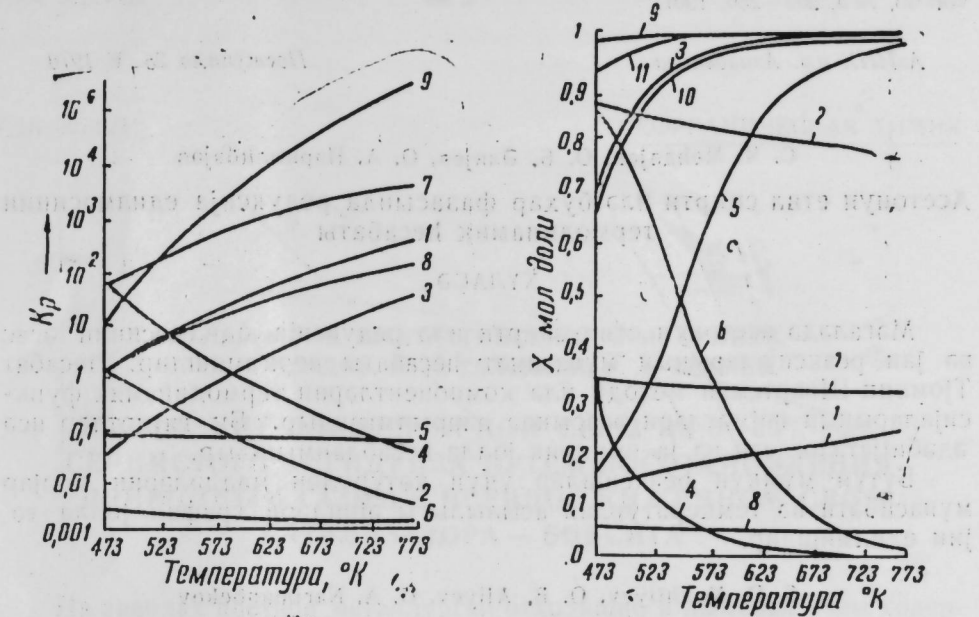


Рис. 4. Температурная зависимость  $K_p = f(T)$  для реакций:

1.  $\text{CH}_3\text{CHONCH}_3 \rightleftharpoons \text{CH}_3\text{COCH}_3 + \text{H}_2$ ; 1.  $\text{C}_2\text{H}_5\text{OH} + \text{CH}_3\text{COCH}_3 \rightleftharpoons \text{CH}_3\text{CHONCH}_3 + \text{CH}_3\text{CHO}$ ;
2.  $\text{CH}_3\text{COCH}_3 + \text{H}_2 \rightleftharpoons \text{CH}_3\text{CHONCH}_3$ ; 2.  $\text{CH}_3\text{CHONCH}_3 + \text{CH}_3\text{CHO} \rightleftharpoons \text{C}_2\text{H}_5\text{OH} + \text{CH}_3\text{COCH}_3$ ;
3.  $\text{C}_2\text{H}_5\text{OH} \rightleftharpoons \text{CH}_3\text{CHO} + \text{H}_2$ ; 3.  $\text{CH}_3\text{CHONCH}_3 \rightleftharpoons \text{CH}_3\text{COCH}_3 + \text{H}_2$ ;
4.  $\text{CH}_3\text{CHO} + \text{H}_2 \rightleftharpoons \text{C}_2\text{H}_5\text{OH}$ ; 4.  $\text{CH}_3\text{COCH}_3 + \text{H}_2 \rightleftharpoons \text{CH}_3\text{CHONCH}_3 + \text{H}_2\text{O}$ ;
5.  $2\text{CH}_3\text{COCH}_3 \rightleftharpoons (\text{CH}_3)_2\text{CCHCOCH}_3$ ; 5.  $\text{C}_2\text{H}_5\text{OH} \rightleftharpoons \text{CH}_3\text{CHO} + \text{H}_2$ ;
6.  $\text{CH}_3\text{COCH}_3 + 2\text{C}_2\text{H}_5\text{OH} \rightleftharpoons (\text{CH}_3)_2\text{C}(\text{OC}_2\text{H}_5)_2 + \text{H}_2\text{O}$ ; 6.  $\text{CH}_3\text{CHO} + \text{H}_2 \rightleftharpoons \text{C}_2\text{H}_5\text{OH}$ ;
7.  $\text{C}_2\text{H}_5\text{OH} \rightleftharpoons \text{C}_2\text{H}_4 + \text{H}_2\text{O}$ ; 7.  $2\text{CH}_3\text{COCH}_3 \rightleftharpoons (\text{CH}_3)_2\text{CCHCOCH} + \text{H}_2\text{O}$ ;
8.  $\text{CH}_3\text{CHONCH}_3 \rightleftharpoons \text{C}_2\text{H}_6 + \text{H}_2\text{O}$ ; 8.  $\text{CH}_3\text{COCH}_3 + 2\text{C}_2\text{H}_5\text{OH} \rightleftharpoons (\text{CH}_3)_2\text{C}(\text{OC}_2\text{H}_5)_2 + \text{H}_2\text{O}$ ;
9.  $2\text{C}_2\text{H}_5\text{OH} \rightleftharpoons \text{C}_2\text{H}_6 + 2\text{H}_2\text{O} + \text{H}_2$ ; 9.  $\text{C}_2\text{H}_5\text{OH} \rightleftharpoons \text{C}_2\text{H}_4 + \text{H}_2\text{O}$ ;
10.  $\text{CH}_3\text{CHONCH}_3 \rightleftharpoons \text{C}_2\text{H}_6 + \text{H}_2\text{O}$ ; 10.  $\text{CH}_3\text{CHONCH}_3 \rightleftharpoons \text{C}_2\text{H}_6 + \text{H}_2\text{O} + \text{H}_2$ ;
11.  $2\text{C}_2\text{H}_5\text{OH} \rightleftharpoons \text{C}_2\text{H}_6 + 2\text{H}_2\text{O} + \text{H}_2$ .

Рис. 5. Температурная зависимость равновесного превращения  $x = f(T)$  для реакций:

Таким образом, нами была рассчитана термодинамическая вероятность реакции парафазного восстановления ацетона этиловым спиртом с учетом возможности протекания побочных реакций.

#### ЛИТЕРАТУРА

1. Баллард С. А., Финч Х. Д., Униклер Д. Е. Труды 1 Международного конгресса по катализу. ИЛ, М., 1960.
2. Мехтиев С. Д., Нариманбеков О. А. Нефтехимия, 1, 1964.
3. Chernoff H. A. Petroleum Refiner, vol. 40, № 4, 127–130, 1961.
4. Chernoff H. A. Petroleum Refiner, vol. 40, № 5, 234–236, 1961.
5. Chernoff H. A. Petroleum Refiner, vol. 40, № 6, 234–236, 1961.

т 1. Н. А. Petroleum Refiner, vol. 40, № 3; 181—184, 1961; 6. Краткий справочник физико-химических величин. Изд-во "Химия", М.—Л., 1965. 7. Destrumpf, E., A. Petroleum Refiner, vol. 40, № 3, 163—168, 1961. 8. McMillen T. D. Petroleum Refiner, vol. 40, № 5, 252—256, 1961.

АзИИХ им. Азизбекова

Поступило 25. V 1970

С. Ч. Мектиев, О. Б. Алиев, О. А. Нариманбеков

Ацетонун этил спирти илә бухар фазасында редуксија едилмәсинин термодинамик һесабаты

ХУЛАСӘ

Мәгәләдә ацетонун этил спирти илә редуксија едилмәсинин эсас вә йаш реаксијаларынын мүвазинәт һесабаты верилмишdir. Һесабат Тјомкин-Швартсман методу илә компонентләрни термодинамик функцијаларыны гијметләр әсасында апарылмышдыр. Бу гијметләр исә әдәбијатта әсасән вә ја өммәрик јолла һесабланмышдыр.

Бүтүн мүмкүн реаксијалар учун көтүрүлән маддәләрни молјар мүнасибәти вә температурдан асыллылығы әјриләри график јолла тә'жии өдөрлөшdir.

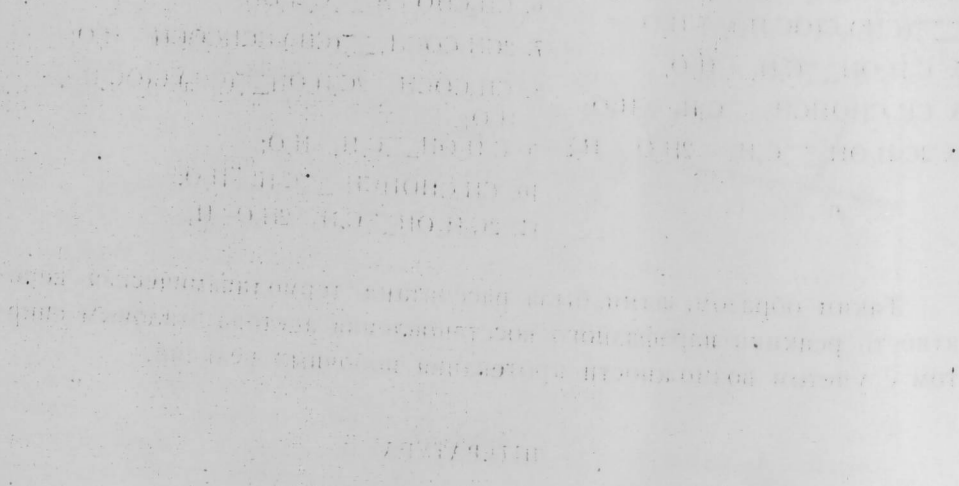
S. D. Mekhtiyev, O. B. Aliyev, O. A. Narimanbekov

Thermodynamic calculations of equilibrium of vapor-phase reduction of acetone with ethyl alcohol

SUMMARY

There are presented the results of thermodynamic calculations of temperature dependence of equilibrium constant and equilibrium yields for direct, reverse and side reactions in vapor-phase reduction of acetone with ethyl alcohol.

The graphical solvation of the system  $K_{eq} = f(T)$  and  $K_N = f(x)$  on the basis of literature data, or empirically calculated thermodynamic functions is given for all possible reactions.



График, якшешеңдең өзөнчөлүк константы  $K_N$  менен этил спирттеги мольяр мүнасибәттеги мөлдөмдөлүк мөлдөмдөлүк константы  $K_{eq}$  арасында. Ацетонун этил спирти илә бухар фазасында редуксија едилмәсинин термодинамик һесабаты

АЗЭРБАЙЖАН ССР ЕЛМЛӘР АКАДЕМИЈАСЫНЫН МӘРҮЗӘЛӘРИ

ДОКЛАДЫ АКАДЕМИИ НАУК АЗЕРБАЙДЖАНСКОЙ ССР

ТОМ XXVIII

№ 5

1972

УДК 661:21

НЕОРГАНИЧЕСКАЯ ХИМИЯ

Академик Г. Б. ШАХТАХТИНСКИЙ, А. И. ГУЛИЕВ,  
М. М. АСАДОВ, А. И. ТАЛЫБЛЫ, Р. А. ВЕЛИЕВ

ПОЛУЧЕНИЕ ЭЛЕМЕНТАРНОЙ СЕРЫ ИЗ 5—30%-НОГО  
СЕРНИСТОГО АНГИДРИДА ПУТЕМ ВОССТАНОВЛЕНИЯ  
ПРИРОДНЫМ ГАЗОМ В ПСЕВДООЖИЖЕННОМ СЛОЕ  
КАТАЛИЗАТОРА — БОКСИТА

На заводах цветной металлургии отходящие и дымовые газы содержат различные количества сернистого ангидрида. В обжиговых печах цинкового концентрата полученная газовая смесь содержит 4—5,5%  $SO_2$  [1]. Газ с более высоким содержанием (8—9%)  $SO_2$  получают в печах, оборудованных для частичного сжигания концентрата во взвешенном состоянии [2]. Газы, применяемые в сернокислотной промышленности, образующиеся при сжигании пирита в «кипящем» слое током воздуха, содержат 12—15% сернистого ангидрида [3]. Использование же воздуха, обогащенного кислородом, дает возможность повысить концентрацию сернистого ангидрида в продуктах сжигания [4]. Таким образом, при кислородной плавке концентратов сульфидных руд цветных металлов содержание  $SO_2$  доходит до 30—80% [5]. Обычно из этих отходящих газов получают серную кислоту.

В ряде случаев, когда появляется необходимость перевозок серной кислоты на дальние расстояния, экономически целесообразно получать серу вместо серной кислоты для уменьшения транспортных расходов и удобства перевозки и на месте потребления серной кислоты получать ее из серы [6].

В связи с этим целью нашего исследования является изучение условий получения элементарной серы из сернистого ангидрида, полученного в соответствующих металлургических производствах.

Исследования процесса восстановления сернистого ангидрида сырьем природным газом с участием в качестве катализатора боксита, осуществлялись на лабораторной установке, схема которой представлена на рис. 1.

Установка состоит из реометров для подачи необходимого количества газов (12) из поглотителей серусодержащих соединений природного газа (1) и продуктов восстановления (11) из реактора (8), представляющего собой кварцевую трубку диаметром 40 мм, в середину которого впаян кварцевый фильтр, и из сероуловителей (9—10). Склейка 2 заполнена серной кислотой для улавливания капель раствора щелочи.

Состав восстанавливаемой газовой смеси для отдельных концентраций представлен в табл. 1.

Перед началом проведения процесса восстановления реактор и отдельные узлы аппаратуры продувались азотом с последующей коррекцией скорости отдельных газов по реометру. Сырой природный газ перед поступлением в смеситель предварительно пропускался через концентрированный раствор щелочи. В смеситель наряду с сырьем природным

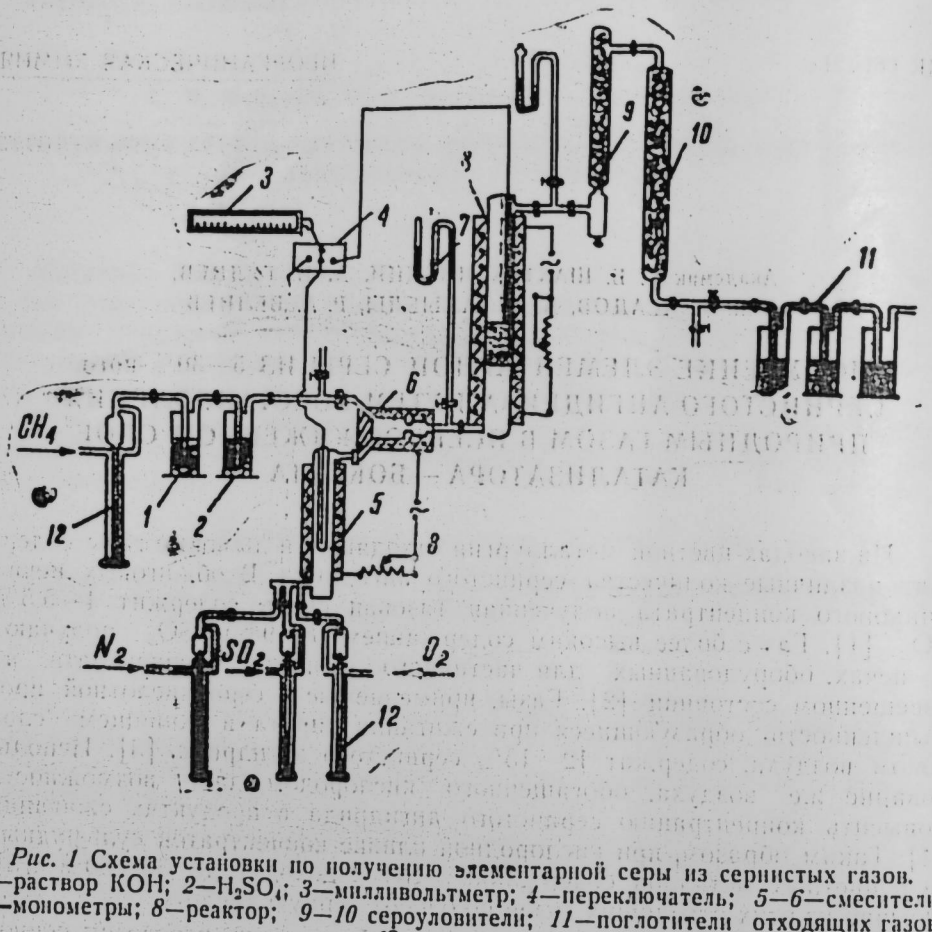


Рис. 1 Схема установки по получению элементарной серы из сернистых газов.  
1—раствор KOH; 2— $\text{H}_2\text{SO}_4$ ; 3—миллиамперметр; 4—переключатель; 5—6—смесители;  
7—монометры; 8—реактор; 9—10 сероуловители; 11—поглотители отходящих газов;  
12—реометры

газом из соответствующих баллонов поступало также определенное количество азота, кислорода и сернистого ангидрида, скорость которых устанавливалась по реометру. Полученная таким образом газовая смесь

Таблица 1

Процентное содержание отдельных компонентов восстановляемой газовой смеси, %

	$\text{SO}_2$	$\text{O}_2$	$\text{N}_2$
	5	12	83
	14	2,8—3	83
	30	—	80

поступала в реактор, куда было предварительно помещено нужное количество катализатора с фракционным составом  $0,25 < f < 0,5 \text{ mm}^2$ . Продукты восстановления сернистого ангидрида пропускались через сероуловитель с последующей абсорбцией газообразных продуктов в поглотителях (11), содержащих определенное количество 10%-ного

раствора едкого натра, который для анализа переносился в мерную колбу и определенное количество его титровалось йодометрически как в присутствии формалина и уксусно-кислого калия, так и без них.

Вначале было изучено влияние скорости пропускания газовой смеси при восстановлении 5%-ного сернистого ангидрида в интервале температур, 800—1000°C. В этих опытах количество катализатора составляло: 120 г боксита с насыпным весом  $0,82 \text{ g/cm}^3$ . При этом объемное соотношение газов было взято равным  $(\text{SO}_2 + \text{O}_2) : \text{CH}_4 = 2 : 1$ , скорость пропускания газовой части смеси изменялась в пределах от 92 до  $654 \text{ cm}^{-1}$ . Результаты этих исследований изображены в виде кривых на рис. 2.

Как видно из этого рисунка, при  $800^\circ\text{C}$  и скорости  $92 \text{ cm}^{-1}$  выход

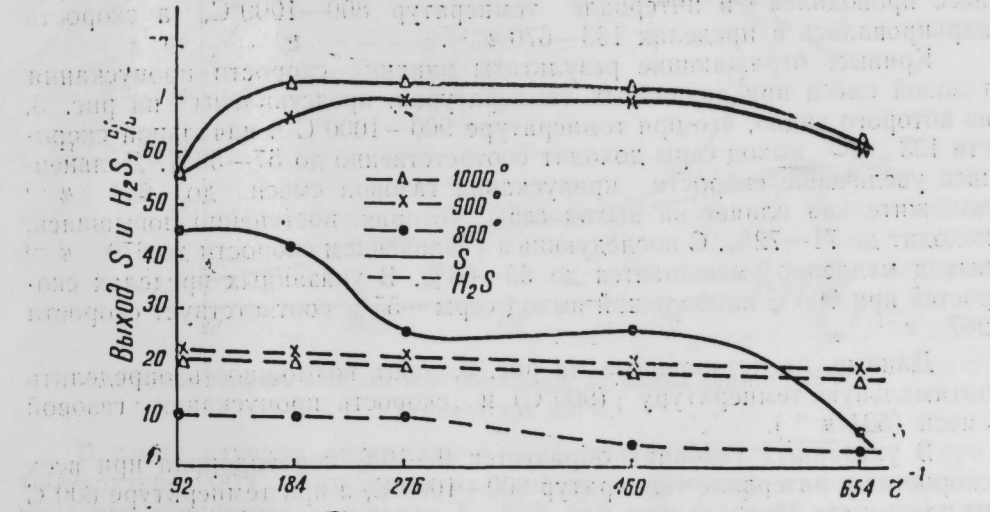


Рис. 2. Влияние скорости пропускания газовой смеси на выход серы и  $\text{H}_2\text{S}$  при восстановлении 5%-ного сернистого ангидрида сырьем природным газом с участием катализатора—боксита.

серы доходит до 45%, а с дальнейшим увеличением скорости пропускания газовой смеси до  $654 \text{ cm}^{-1}$  выход серы понижается до 7%. При высоких температурах ( $900$ — $1000^\circ\text{C}$ ) в интервале скоростей  $92$ — $460 \text{ cm}^{-1}$

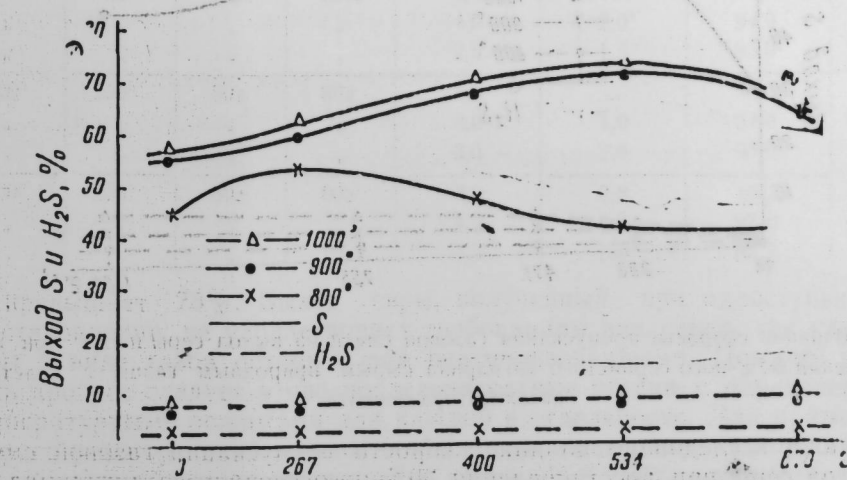


Рис. 3. Влияние скорости пропускания газовой смеси на выход  $\text{S}$  и  $\text{H}_2\text{S}$  при восстановлении 14%-ного сернистого ангидрида сырьем природным газом с участием катализатора—боксита.

выход серы, постепенно повышаясь (56%), достигает своего максимума — 72—73%. При увеличении скорости пропускания газовой смеси до 654  $\text{ч}^{-1}$  выход серы резко понижается до 52—53%. В этом же процессе при начальной скорости в интервале температур 900—1000°C образуется 21% сероводорода. При высоких скоростях количество сероводорода уменьшается незначительно, а при температуре 800°C с увеличением скорости пропускания газовой смеси от 92 до 654  $\text{ч}^{-1}$  количество сероводорода уменьшается от 10 до 3%.

Результаты опытов, изображенные в виде кривых на рис. 2, дают нам ясное представление об оптимальной скорости (460  $\text{ч}^{-1}$ ) и температуре (900°C) процесса восстановления 5%-ного  $\text{SO}_2$ .

Аналогичные исследования были проведены и при восстановлении 14%-ного сернистого ангидрида с применением 80 г катализатора. Процесс проводился в интервале температур 800—1000°C, а скорость варьировалась в пределах 133—670  $\text{ч}^{-1}$ .

Кривые, отражающие результаты влияния скорости пропускания газовой смеси при различных температурах, представлены на рис. 3, из которого видно, что при температуре 900—1000°C и начальной скорости 133  $\text{ч}^{-1}$  выход серы доходит соответственно до 57—58%. Дальнейшее увеличение скорости пропускания газовой смеси до 534  $\text{ч}^{-1}$  положительно влияет на выход серы, которая, постепенно повышаясь, доходит до 71—72%. С последующим увеличением скорости до 670  $\text{ч}^{-1}$  выход медленно уменьшается до 65—66%. В указанных пределах скоростей при 800°C наибольший выход серы — 55% соответствует скорости 267  $\text{ч}^{-1}$ .

Данные, представленные на рис. 3, дают возможность определить оптимальную температуру (900°C) и скорость пропускания газовой смеси (534  $\text{ч}^{-1}$ ).

В указанных условиях образуется 9—10% сероводорода при всех скоростях в интервале температур 900—1000°C, а при температуре 800°C не превышает 3%.

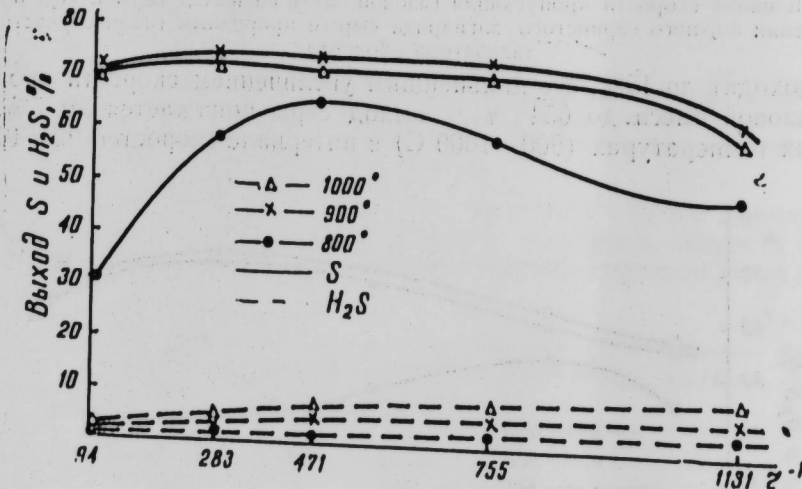


Рис. 4. Влияние скорости пропускания газовой смеси на выход серы и  $\text{H}_2\text{S}$  при восстановлении 30%-ного сернистого ангидрида сырьем природным газом с участием катализатора-боксита.

Также исследовано влияние скорости пропускания газовой смеси на выход серы при восстановлении 30%-ного сернистого ангидрида в присутствии 60 г боксита. Результаты опытов показаны в виде кривых на рис. 4. Влияние скорости пропускания газовой смеси изучалось в пределах температур 800—1000°C.

Как указано на рис. 4, при температуре 800°C в интервале скоростей 94—1131  $\text{ч}^{-1}$  наибольший выход серы — 66% образуется при скорости 471  $\text{ч}^{-1}$ , а с увеличением скорости до 1131  $\text{ч}^{-1}$  он понижается до 49%.

В этих процессах в интервале температур 900—1000°C выход серы достигает 71% при скорости 91  $\text{ч}^{-1}$ . С увеличением скорости до 755  $\text{ч}^{-1}$  при 900°C выход может быть доведен 75%, а при температуре 1000°C выход серы понижается до 69%.

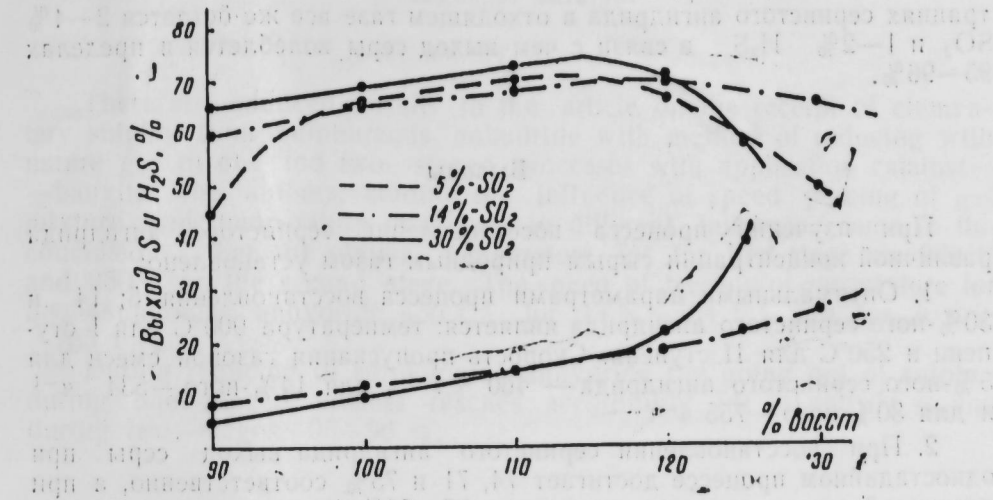


Рис. 5. Влияние избытка восстановителя на выход серы и  $\text{H}_2\text{S}$  при температуре 900°C.

В таких случаях оптимальной скоростью является 755  $\text{ч}^{-1}$  при температуре 900°C. Как видно из данных, полученных в ходе восстановления сернистого ангидрида 5—30%-ной концентрации, выход серы

Таблица 2

Температура реакторов	Количество ката- лизатора		Выход, %			К-ция вос. $\text{SO}_2$ , %	
	1	2	1	2	$\text{SO}_2$	$\text{H}_2\text{S}$	
900°	250°	120г	120г		3,4	1,6	95,0
					4,0	2,0	94,0
					2,8	1,5	95,0
900°	250°	80г	80г		4,5	—	95,0
					3,0	1,0	94,0
					3,0	2,0	95,0
900°	250°	60г	60г		3,9	0,8	95,3
					4,2	0,8	95,0
					3,3	0,0	96,7

не превышает 75%. Выход серы, полученный при одноступенчатом восстановлении, не удовлетворяет требованиям внедрения, так как 25% серы в виде газов остается еще неиспользованными. Поэтому проводить процесс следует в две последовательные стадии с определенными температурными режимами для каждой в отдельности. Для применения второго реактора необходимо, чтобы в отходящем газе первой ступени имело место объемное соотношение газов  $\text{H}_2\text{S} : \text{SO}_2$  как 2 : 1. С этой целью опыты проводились при тех же оптимальных условиях с той лишь разницей, что количество природного газа по отношению к эквивалентному количеству восстановителя бралось несколько избыточным. Резуль-

таты проведенных опытов представлены на рис. 5, из которого видно, что независимо от концентраций восстанавливаемого сернистого ангидрида нужные объемные соотношения  $H_2S : SO_2 = 2 : 1$  находятся в пределах 110—120%-ного избытка применяемого восстановителя по отношению к эквивалентному.

Данные, полученные при восстановлении сернистого ангидрида в двухступенчатом процессе, приведены в табл. 2.

Из данных табл. 2, видно, что во всех восстанавливаемых концентрациях сернистого ангидрида в отходящем газе все же остается 2—4%  $SO_2$  и 1—2%  $H_2S$  в связи с чем выход серы колеблется в пределах 95—96%.

### Выводы

При изучении процесса восстановления сернистого ангидрида различной концентрации сырьем природным газом установлено:

1. Оптимальными параметрами процесса восстановления 5; 14 и 30%-ного сернистого ангидрида является: температура 900°C для I ступени и 250°C для II ступени. Скорость пропускания газовой смеси для 5%-ного сернистого ангидрида — 460  $m^{-1}$ , для 14%-ного — 534  $m^{-1}$  и для 30%-ного — 755  $m^{-1}$ .

2. При восстановлении сернистого ангидрида выход серы при одностадийном процессе достигает 74, 71 и 75% соответственно, а при двустадийном проведения процесса — 95—96%.

### ЛИТЕРАТУРА

1. Плаксий И. Н., Зырянов М. Н. Комплексная переработка свинцовокарбонатного сырья. 1936.
2. Амелин А. Г. Производство серной кислоты. М., 1967.
3. Дыбина П. В. и др. Расчеты по технологии неорганических веществ. 1967.
4. Амелин А. Г. Производство серной кислоты контактным методом. М., 1960.
5. Авербух Т. Д. и др. «Хим. промышленность», № 10, 1968.
6. Шахтахтинский Г. Б. и др. «Азербайджанская нефтяная промышленность», № 3, 1971.

Институт неорг. и физ. химии

Поступило 22.VI 1971

Г. Б. Шахтахтинский, Э. И. Гулиев, М. М. Эсадов,  
Э. И. Талыбы, Р. Э. Валиев

Боксит катализаторунун псевдагајнар тәбәгәсиндә,  
5—30%-ли сүлфит аннидридиниң тәбиғи газла редуксаја  
етмәклә елементар күкүрдүн алымасы

### ХУЛАСӘ

Мәгәләдә 5,14—30%-ли сүлфит аннидридиниң, боксит катализаторун иштиракы илә, тәбиғи газла редуксијасының бир вә икى мәрһәләли реакторларда тәдгиги верилмишdir. Мүэллифләр мұхтәлиф сүр'эт вә температур һәдләриндә күкүрд чыхымыны мүәжжән едәрәк белә иәтичәјә кәлмишләр ки, бүтүн гатылыглар үчүн оптималь температур 900°C, сүр'эт исә сүлфит аннидридиниң гатылығының артмасына мұвағиғ сурәтдә 460  $caam^{-1}$ , 534 вә 755  $caam^{-1}$  олмушшур. Сүлфит аннидридиниң бир мәрһәләли редуксијасында күкүрд чыхымы 71—75%, икни мәрһәләли редуксијасында исә 95—96% олмушшур.

G. B. Shachtachtinsky, A. E. Guliev, M. M. Asadov,

A. E. Talibli, R. A. Veliev

### Receipt of elementary sulphur from 3—30% sulphureous anhydride by reducing with nature gas in a pseudoburning layer of catalyst

#### SUMMARY

There are adduced results in the article on the receipt of elementary sulphur from sulphureous anhydride with method of reducing with nature gas in one and two—staged processes with application catalyst—bauxite. The authors, studing the influence of speed passing of gas mixture and temperature of process in different intervals, came to the conclusion, that the optimal temperature for the first stage are 900 °C and 250 °C for the second stage. The speed of passing of gas mixture for 5 %-suhureous anhydride 450  $f^{-1}$  for 14 %—534  $f^{-1}$  and for 30%—755  $f^{-1}$ .

During reducing of sulphureous anhydride the going out of sulphur during one—staged process reaches accordingly 74; 71 and 75 % and during two—stages—95—96 %.

During reducing of sulphureous anhydride the going out of sulphur during one—staged process reaches accordingly 74; 71 and 75 % and during two—stages—95—96 %.  
In the article the results of receipt of elementary sulphur from sulphureous anhydride with method of reducing with nature gas in one and two—staged processes with application catalyst—bauxite are adduced. The authors, studing the influence of speed passing of gas mixture and temperature of process in different intervals, came to the conclusion, that the optimal temperature for the first stage are 900 °C and 250 °C for the second stage. The speed of passing of gas mixture for 5 %-suhureous anhydride 450  $f^{-1}$  for 14 %—534  $f^{-1}$  and for 30%—755  $f^{-1}$ .

During reducing of sulphureous anhydride the going out of sulphur during one—staged process reaches accordingly 74; 71 and 75 % and during two—stages—95—96 %.  
In the article the results of receipt of elementary sulphur from sulphureous anhydride with method of reducing with nature gas in one and two—staged processes with application catalyst—bauxite are adduced. The authors, studing the influence of speed passing of gas mixture and temperature of process in different intervals, came to the conclusion, that the optimal temperature for the first stage are 900 °C and 250 °C for the second stage. The speed of passing of gas mixture for 5 %-suhureous anhydride 450  $f^{-1}$  for 14 %—534  $f^{-1}$  and for 30%—755  $f^{-1}$ .

АЗӘРБАЙ҆ЧАН ССР ЕЛМЛӘР АКАДЕМИЯСЫНЫН МӘ'РҮЗӘЛӘРИ  
ДОКЛАДЫ АКАДЕМИИ НАУК АЗЕРБАЙ҆ДЖАНСКОЙ ССР

ТӨМ XXVIII

№ 5

1972

УДК 679.8.053:622.35  
ГОРНОЕ ДЕЛО

Р. К. САДЫХОВ, М. Г. ЛЕЙКИН, А. К. ГУСЕЙНЗАДЕ

### **К ВОПРОСУ СВЯЗИ ПРОЧНОСТИ ПРИРОДНО-СТРОИТЕЛЬНОГО КАМНЯ С ВЕЛИЧИНОЙ ПОДАЧИ КАМНЕРЕЗНЫХ МАШИН**

(Представлено академиком АН Азербайджанской ССР Ш. Н. Мамедовым)

Увеличение величины подачи камнерезных машин — наиболее доступный путь повышения производительности камнерезной техники.

Однако увеличение величины подачи  $S_m$  камнерезных машин не может быть беспределным, ее наибольшая величина, которая может применяться при резании строительного камня, ограничивается рядом факторов: мощностью органа подачи, прочностью горной породы при сжатии, стойкостью режущего инструмента, величиной подачи камнерезной машины, элементами резания и т. д. Одним из основных факторов при резании природного строительного камня из горного массива является взаимосвязь прочности горной породы с величиной подачи камнерезной машины.

Исследования ряда авторов [1, 2, 3] показывают, что физико-механические свойства горных пород и грунтов с которыми встречается режущий орган по мере его перемещения, непрерывно изменяются. В результате большой неоднородности пород расходуемая мощность на резание не остается постоянной, она все время колеблется, следя за изменениями прочности разрушаемой породы.

Запись потребляемой мощности резания (рис. 1) на Гюзденском каменном карьере камнерезной машиной СМ-89М №5 подтвердили выводы этих

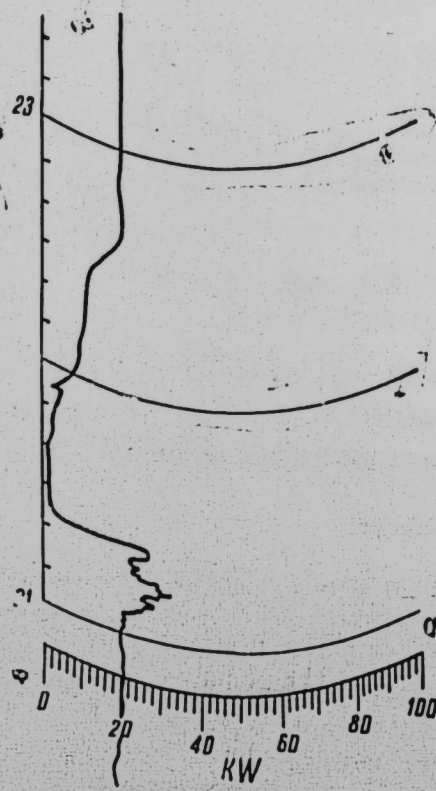


Рис. 1. Колебание мощности резания в зависимости от физико-химических свойств природного камня.

исследований. Естественно в таком случае, что режущий инструмент работает с большой перегрузкой, которая приводит к быстрому износу и выходу из строя резцов камнерезных машин.

Опыт эксплуатации камнерезных машин на камених карьерах Апшеронского полуострова показывает, что когда предел прочности строительного камня на сжатие превышает  $50 \text{ кг}/\text{см}^2$ , а предел прочности спая резцов на срез находится в пределах  $10-14 \text{ кг}/\text{мм}^2$ , наблюдается выпадение (отрыв) пластин твердого сплава ВК-8.

Проведенные совместные исследования БМЗ им. Воровского и СПТБ „Оргпримтврдорсплав“ гор. Москвы показали, что только на Гюзденском каменном карьере, когда  $\sigma_{ск}=70-130 \text{ кг}/\text{см}$ ,  $S_m=1,7 \text{ м}/\text{мин}$  и  $\tau_{рез}=10-14 \text{ кг}/\text{мм}^2$ , отрыв пластиин твердого сплава составляет 53%.

Изменяя величину подачи (сохраняв при этом неизменными элементы среза, геометрию и предел прочности на срез спая резцов в пределах  $10-14 \text{ кг}/\text{мм}^2$ ) для каждой прочности камня, т. е. когда отрыв пластиин твердого сплава отсутствует, были найдены оптимальные величины подачи камнерезной машины.

Результаты опытов были нанесены на сетку прямоугольной системы координат иами был получен график, характеризующий зависимость величины подачи камнерезной машины от прочности природного камня (рис. 2).

Из графика видно, что при повышении прочности природного камня величина подачи  $S_m$  камнерезной машины падает, а при снижении, наоборот. Следовательно, влияние прочности природного камня на величину подачи камнерезной машины можно выразить формулой:

$$S_m = \frac{C_s}{\sigma_{ск}} \text{ м}/\text{мин} \quad (1)$$

где  $S_m$  — величина подачи камнерезной машины в  $\text{м}/\text{мин}$ ;  $\sigma_{ск}$  — предел прочности природного камня на сжатие в  $\text{кг}/\text{см}^2$ ;  $C_s$  — константа, зависящая от свойств природного камня, элементов среза, геометрии и предела прочности спая режущего инструмента и т. д.

Рис. 2. Зависимость величины подачи камнерезной машины от прочности природного строительного камня;

$C_s$  — константа, зависящая от свойств природного камня, элементов среза, геометрии и предела прочности спая режущего инструмента и т. д.

Из формулы (1) следует, что каждой прочности горной породы соответствует своя величина подачи камнерезной машины.

Прологарифмировав кривую, показанную на рис. 2, в результате опытов получим прямую (рис. 3).

Тангенс угла наклона этой линии к оси  $\sigma_{ск}$  численно будет равным показателю относительной прочности природного камня; т. е.

$$\operatorname{tg}\xi = n \quad (2)$$

Если продолжить прямую на рис. 3 до пересечения с осью  $S_m$ , получим величину константы  $C_s$ .

Естественно, зная (при  $\tau_{рез}=10-14 \text{ кг}/\text{мм}^2$ ) величину показателя прочности природного камня  $n=0,65$  и величину константы  $C_s=28,4$ ,

нетрудно для требуемой прочности природного строительного камня определить величину подачи камнерезной машины. Тогда формула (1) примет вид:

$$S_m = \frac{28,84}{0,65} \frac{m}{min} \text{ при } \sigma_{\text{сп}} = 0,65 \text{ кг/мм}^2 \quad (3)$$

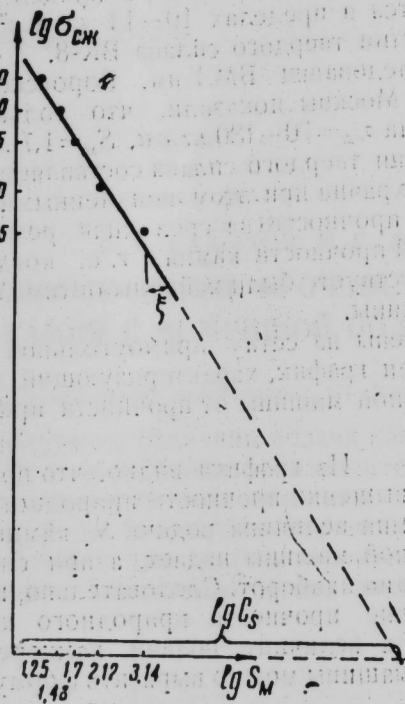


Рис. 3

Сравнительный анализ показывает, что погрешность при этом не превышает 3%.

Необходимо отметить и тот факт, что ввиду неоднородности физико-механических свойств природного камня ступенчатое регулирование органа подачи не позволяет раскрыть все ресурсы камнерезной машины и полностью использовать мощность двигателя привода.

Таким образом, можно сделать следующие выводы:

1. Между прочностью природного-строительного камня и величиной подачи камнерезных машин существует взаимосвязь. Кривая (рис. 2) характеризует ее.

Пользуясь формулой (3), нетрудно для получения требуемой прочности природного камня определить величину подачи камнерезной машины.

3. С целью рационального использования ресурсов камнерезных машин необходимо в процессе работы изменять величину подачи и скорости резания камнерезных машин, хотя еще в промышленности камнерезного машиностроения нет бесступенчатого регулирования величины подачи и скорости резания, это необходимо с точки зрения полного использования мощности двигателя привода при возможных изменениях физико-механических свойств природного строительного камня (рис. 1).

4. Естественно, бесступенчатое регулирование величины подачи и скорости резания позволит повысить производительность камнерезных машин, улучшить эксплуатационные условия работы режущего инструмента, динамику резания, а также повысит коэффициент использования двигателей привода.

#### ЛИТЕРАТУРА

1. Абезгауз В. Д. Режущие органы машин фрезерного типа для разработки горных пород. Изд. «Машиностроение», М., 1965.
2. Абезгауз В. Д. Повышение производительности машин для резания горных пород. Канд. дис., 1959.

3. Гальперин М. И., Абезгауз В. Д. Машины для резания камня. М., Машгиз, 1961.

БЛМЗ

и. м. Воровского

Поступило 21.V.1970

Р. Н. Садыков, М. Г. Лейкин, А. Г. Ысеинзадэ

Дашкесан машиналарын вериш сүр'ети илэ тэбии-иншаат дашынын мөһкәмлиji арасындакы әлагәjә дайр

#### ХУЛАСЭ

Мэгалэ дашкесан машиналарын вериш сүр'ети илэ тэбии-иншаат дашынын мөһкәмлиji арасындакы асылылыға һәср едилмишdir.

Тэбии дашыны мөһкәмлиji артдыгча дашкесан машиналарын вериш сүр'ети ашағы дүшүр, һәр мөһкәмлиjә мүнасиб оптимал вериш сүр'ети тәләб олуур.

Мэгаләдэ тэбии-иншаат дашынын мөһкәмлиjиндәi асылы олараг дашкесан машиналарын вериш сүр'етини тә'жин өтмөк үсулу верилмишdir.

#### ХУЛАСЭ ДАШКЕСАН МАШИНАЛАРЫН ВЕРИШ СҮР'ЕТИ ИЛЭ ТЭБИИ-ИНШААТ ДАШЫНЫН МӨҲКӘМЛИJI АРАСЫНДАКЫ ӘЛАГӘJӘ ДАЙР

Хуласэдэ тэбии-иншаат дашынын мөһкәмлиji арасындакы асылылыға һәср едилмишdir.

Дашкесан машиналарын вериш сүр'ети илэ тэбии-иншаат дашынын мөһкәмлиji арасындакы асылылыға һәср едилмишdir.

Дашкесан машиналарын вериш сүр'ети илэ тэбии-иншаат дашынын мөһкәмлиji арасындакы асылылыға һәср едилмишdir.

Дашкесан машиналарын вериш сүр'ети илэ тэбии-иншаат дашынын мөһкәмлиji арасындакы асылылыға һәср едилмишdir.

Дашкесан машиналарын вериш сүр'ети илэ тэбии-иншаат дашынын мөһкәмлиji арасындакы асылылыға һәср едилмишdir.

Дашкесан машиналарын вериш сүр'ети илэ тэбии-иншаат дашынын мөһкәмлиji арасындакы асылылыға һәср едилмишdir.

Дашкесан машиналарын вериш сүр'ети илэ тэбии-иншаат дашынын мөһкәмлиji арасындакы асылылыға һәср едилмишdir.

Ф. Г. ДАДАШЕВ, А. М. ДАДАШЕВ, Р. А. ГУСЕИНОВ

## ГЕЛИЙ В ПРИРОДНЫХ ГАЗАХ МИНЕРАЛЬНЫХ ИСТОЧНИКОВ АЗЕРБАЙДЖАНА

(Представлено академиком АН Азербайджанской ССР А. Д. Султановым)

На территории Азербайджана широко развиты минеральные источники [2]. Вместе с водами на многих минеральных источниках выделяется то или иное количество спонтанного газа. Определенное количество газа находится при атмосферном давлении в растворенном в воде состоянии. В зависимости от геологического строения того или иного района химический состав и проявления источников на поверхности претерпевают значительные изменения. Так, в пределах горных систем Большого и Малого Кавказа выделяющийся газ имеет преимущественно азотный или углекислый состав. В юго-западной части республики, в районе горной части М. Кавказа известны многочисленные минеральные источники, содержащие большое количество углекислого газа. Аналогичные источники располагаются и на территории Нахичеванской АССР. В районе Талышских гор и Ленкоранского побережья Каспийского моря располагаются минеральные источники, основной составной частью газов которых является азот.

По мере движения на запад, в районе Ярдымлов, в этих газах появляется значительное количество сероводорода. Наконец, в пределах северо-западной части Азербайджана, в горах южного склона Б. Кавказа, располагаются источники сероводородных газов. Эта зона совпадает примерно с полосой, на которой расположены Закаталы, Нуха и Куткашен.

Одним из наиболее ценных компонентов природного газа является гелий. Гелиенность природных газов Азербайджана изучена далеко не достаточно. В работах С. А. Ковалевского, В. В. Вебера и А. Б. Ропова опубликовано небольшое число анализов с определением гелия, которые относятся в основном к пробам, отобранным из скважин и грязевых вулканов. Еще менее изучены природные газы минеральных источников. В работе М. А. Каикая [2] имеется упоминание, что в составе газа Ширланской группы источников присутствуют гелий в десятых долях процента.

Для изучения содержания гелия в природных газах минеральных источников сотрудниками лаборатории «Геология природного газа» Института геологии АН Азербайджанской ССР из минеральных источников было отобрано 46 проб, которые распределены по районам в следующем порядке: 1) Большой Кавказ — 14 проб; 2) Малый Кав-

каз — 22 пробы (Шушинский и Лачинский районы, Нахичевань, Кировабад); 3) Ленкорань — Астара — 10 проб. Анализы собранных проб на содержание гелия были проведены в соответствующих лабораториях ВНИИГ и ГИ ВНИИГаза. Результаты анализов показали, что содержание гелия колеблется от 0,00018 до 0,19100% при среднем содержании 0,02104%. Число проб с различным процентом содержания гелия для газов перечисленных геологических объектов распределяется неодинаково. На рис. 1 довольно четко наблюдается уменьшение числа проб газа по мере увеличения процентного содержания гелия. Вместе с этим отмечаются отдельные интервалы, характеризующиеся повышенным числом проб. В газах минеральных источников устанавливаются два интервала: с содержанием гелия до 0,002% (15 проб) и более 0,010% (23 пробы).

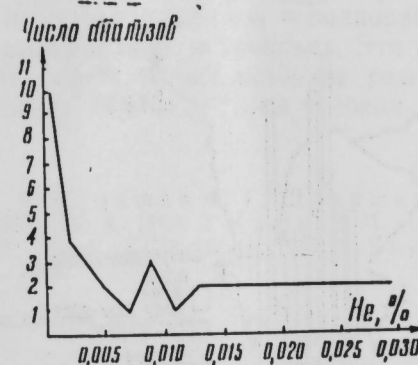


Рис. 1. График частоты повторяемости проб газа с одинаковым содержанием гелия.

Сопоставляя данные содержания гелия в газах нефтяных, газоконденсатных, газовых залежей и грязевых вулканов с данными содержания гелия в газах минеральных источников Азербайджана характеризуется повышенным содержанием гелия (табл. 1).

Сопоставление содержания гелия в газах различных районов позволяет выделить зоны его различного содержания (рис. 2). Минимальное содержание гелия, составляющее 0,00018—0,00097%, отмечено в газах Шушинского и Лачинского районов Малого Кавказа.

По сравнению с вышеописанными пробами газа более повышенным содержанием гелия характеризуются природные газы, отобранные из артезианских скважин Западного Азербайджана. Количество гелия в этих пробах колеблется от 0,00114 до 0,00530%. При этом с запада на восток наблюдается увеличение содержания гелия. В наиболее западной скважине, расположенной в районе сел. Кел. Халофлы, содержание

Таблица 1

Геологический объект	Содержание гелия, %		
	от	до	среднее
Нефтяные, газоконденсатные газовые месторождения	0,002	0,044	0,0053
Грязевые вулканы	0,0004	0,1200	0,0068
Минеральные источники	0,00018	0,19100	0,02104

гелия в природном газе составляет 0,00114%. Далее, на восток, в скважине Далляр количество гелия увеличивается до 0,00137% и в районе Сабиркенд и Хосадарлы достигает максимума — 0,0053 и 0,0050%. Наконец, максимальным содержанием гелия характеризуются газы минеральных источников Ленкоранской области, части Малого Кавказа (в пределах Нахичеванской АССР) и северо-восточного Кавказа. Содержание гелия здесь колеблется в пределах 0,0060—0,01910%.

Сопоставляя среднее содержание гелия в перечисленных областях (табл. 2), отметим значительное повышение содержания гелия в составе природных газов Ленкоранской области.

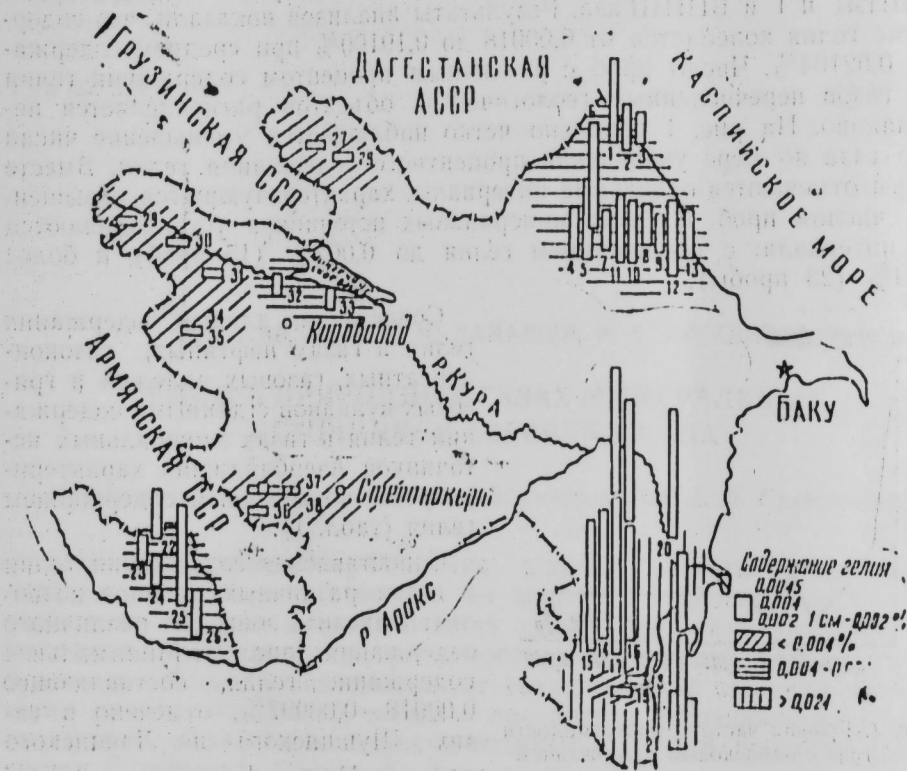


Рис. 2 Карта гелиеносности природных газов минеральных источников Азербайджана.

- |                         |                   |
|-------------------------|-------------------|
| 1—Сусал;                | 20—Бабазанай;     |
| 2—Чкалов;               | 21—Астаринское;   |
| 3—Набрань;              | 22—Бадамлы;       |
| 4—Талыш;                | 23—Вайхир;        |
| 5—Ефри;                 | 24—Сираб;         |
| 6—Тинеатль;             | 25—Кахаб;         |
| 7—Конаккендский;        | 26—Дарыдаг;       |
| 8—Хлапинский;           | 27—Алиабат;       |
| 9—Каллаты;              | 28—Кымыр;         |
| 10—Халтанский;          | 29—Халафали;      |
| 11—Джими;               | 30—Казахбейли;    |
| 12—Алтыагачский;        | 31—Даллар;        |
| 13—Кешчайский;          | 32—Сабиркенд;     |
| 14—Аркепанский;         | 33—Хосадарлы;     |
| 15—Готурсу;             | 34—Н. Словяновка; |
| 16—Истису-Аркеванский;  | 35—В. Словяновка; |
| 17—Донуз-Утепеский;     | 36—Шушинское;     |
| 18—Ленкоранский;        | 37—Лачин;         |
| 19—Истису-Ленкоранский; | 38—Лысогорск.     |

Таблица 2

Район	Число анализов	Среднее содержание гелия, %
Нахичеванская АССР	5	0,0120
Северо-Восточный Кавказ	14	0,0130
Ленкоранская область	10	0,0050

Изложенные фактические данные о содержании и изменении гелия в газах минеральных источников Азербайджана позволяют установить определенные тенденции и закономерности в распределении этого компонента в различных геологических условиях.

Полученные данные показали, что в природных газах минеральных источников Азербайджана отмечаются низкие концентрации, но, несмотря на это, довольно четко намечается зависимость между содержанием в природных газах азота и гелия. В большинстве случаев увеличение в составе газа азота сопровождается ростом концентраций гелия. Сравнение содержания гелия в различных нефтегазоносных свитах, грязевых вулканах и минеральных источниках показывает на общее увеличение концентраций компонента в восточной части Азербайджана. Значительный интерес представляет юго-восточная часть территории республики, где увеличение процентного содержания гелия отмечается в нефтяных залежах, в водорастворенных газах продуктивной толщи и минеральных источниках. Эти данные позволяют предположить сравнительно крупный источник гелия в недрах этой территории и, по-видимому, благоприятные условия для его сохранения.

#### ЛИТЕРАТУРА

1. Дадашев Ф. Г., Дадашев А. М. К генезису углеводородных газов. «ЛНХ», № 4, 1969.
2. Каракай М. А. Минеральные источники Азербайджана. Изд. АН Азерб. ССР, Баку, 1952.
3. Якубени В. П. Геология гелия. Изд. «Недра», Л., 1968.

Институт геологии

Поступило 23. VII 1970

Ф. Г. Дадашов, А. М. Дадашов, Р. Э. Гусейнов

#### Азәрбајҹаның минерал суларының тәбии газларында һелиум

#### ХУЛАСЭ

Азәрбајҹаның минерал суларының тәбии газларында һелиумун мигдарының өјрәнилмәси бөյүк иәзәри вә тәчрүби әһәмијјәтә маликдир. Мүәллифләр чөл тәдгигаты заманы Бөյүк вә Кичик Гафгазын, Нахчыван МССР-ин, Ләнкәран вилајәтиниң минерал суларының газларындан шүмүнәләр көтүрмүш вә һәмини шүмүнәләрдә һелиумун мигдарыны өјрәнишиләр. Анализ заманы алымныш иәтичәләрә көрә, һелиумун мигдары 0,0018 илә 0,01910% арасында дәјишир. Мүәлҗән едилининдир ки, һелиумун мигдары гәрbi Азәрбајҹан вә Ләнкәран вилајәтиндә ишебәтәи јүкәекдир. Гәjd етмәк лазымдыр ки, һелиумун мигдарының белә дәјишиләсү мүхтәлиф қеокимјәви шаритдән асылы олараг гаунаујгуилуглары мүәлҗән еди. Бу гаунаујгуилулуг иә јени газ јатагларының ахтарышында көстәричи рол ојиаја биләр.

F. G. Dadashev, A. M. Dadashev, R. A. Gusejinov

#### Helium in Natural Gas of Azerbaijan mineral springs

#### SUMMARY

Results of gas tests in mineral springs of Azerbaijan show that rated content of helium vary from 0,0018 to 0,01910%.

Data allowed to distinguish different zones of change of rated content of helium.

In gas of Shush and Lachin districts of minor caucasus there observed minimum (less) content of helium and is equal To 0,00018—0,000971.

Maximum content of helium obtained to 0,19101 is observed in the western part of Azerbaijan and in Lenkoran territory.

Facts about the content helium in gas of mineral springs of Azerbaijan, allow to establish the certain regularity in distribution of this component in different geological conditions.

АЗЕРБАЙЧАН ССР ЕЛМЛЭР АКАДЕМИЯСЫНЫН МӘРУЗӘЛӘРИ

ДОКЛАДЫ АКАДЕМИИ НАУК АЗЕРБАЙДЖАНСКОЙ ССР

ТОМ XXVIII

№ 5

1972

УДК 553.291

ТЕКТОНИКА НЕФТЯНЫХ МЕСТОРОЖДЕНИЙ

С. Г. САЛАЕВ, Г. К. АЛИФОВ, А. И. СЕЛИМХАНОВ

О СООТНОШЕНИИ СКЛАДЧАТЫХ СТРУКТУР  
ПАЛЕОГЕН-МИОЦЕНОВОГО И ПЛИОЦЕНОВОГО  
КОМПЛЕКСОВ ТАЛАБИ-КЫЗЫЛБУРУНСКОЙ  
АНТИКЛИНАЛЬНОЙ ЗОНЫ

(Представлено академиком АН Азербайджанской ССР Г. А. Ахмедовым)

Сложное тектоническое строение Талаби-Кызылбурунской антиклинальной зоны ставит перед геологами, ведущими поисковые работы на нефть и газ, трудные задачи, одной из которых является выяснение соотношения структурных планов.

Совершенно очевидно, что от правильного определения в каждом конкретном случае положения свода структуры, а следовательно, и залежи нефти и газа на глубине зависит значительное сокращение сроков поисково-разведочных работ. Именно поэтому в последние годы различные исследователи уделяют серьезное внимание этому вопросу.

Результаты геофизических исследований и бурения ряда глубоких разведочных скважин в пределах Кусаро-Дивичинской наложенной мульды и, в частности, в Талаби-Кызылбурунской антиклинальной зоне позволили выявить несоответствие сводов одних и тех же антиклинальных структур, отраженных в различных стратиграфических комплексах отложений.

В настоящее время существует несколько суждений относительно разбивки осадочного комплекса Кусаро-Дивичинской наложенной мульды до юры включительно на структурные этажи [1, 3, 4, 6 и др.]. Несмотря на некоторые различия, все исследователи сходятся на том, что глубинное строение Кусаро-Дивичинской наложенной мульды весьма сложно; эта сложность прежде всего заключается в наличии нескольких этажей складчатости, несовмещающихся друг с другом, в связи с чем складки в более молодых отложениях не совпадают с поднятиями в более древних отложениях. При этом, юрская складчатость, унаследовавшая, очевидно, в некоторой степени форму палеозойских выступов, ориентирована в субширотном направлении, а меловая и палеоген-миоценовая складчатость имеет северо-запад — юго-восточное простирание; простирание же плиоценовой складчатости довольно близко к меридиональному.

Необходимо отметить также выявленную для Кусаро-Дивичинской наложенной мульды закономерность в миграции складчатости с юго-запада на северо-восток, которой подчиняются не только поднятия, но и прогибы — меловые, палеогеновые, неогеновые.

Смещение наблюдается также в пределах отдельных тектонических зон, в том числе в Талаби-Кызылбурунской антиклинальной зоне. В пределах этой зоны в результате гравиметрической съемки выявлены 3 максимума силы тяжести, которые впоследствии были подтверждены данными картировочного бурения и отражают Кайнарджинскую, Шабранчайскую и Талабинскую антиклинальные складки.

В юго-западной части Кусаро-Дивичинской наложенной мульды в результате сейсмических исследований установлена глубоко погребенная Кызылбурунская складка. Как видно из сейсмического профиля (рис. 1), свод поднятия по мезозою несколько смещен относительно свода складки по плиоцену.

На основании имеющегося фактического материала мы считаем целесообразными выделить в рассматриваемой зоне три структурных этажа: 1) юрско-меловой; 2) палеоген-миоценовый; 3) плиоценовый.

Полученные новые данные при бурении поисковых скважин № 6, 7, 10 на площади Кайнарджа, которые приводятся в таблице, подтверждают вышеотмеченное закономерное перемещение сводов структур плиоценовых отложений на северо-восток относительно сводов структур палеоген-миоценового комплекса.

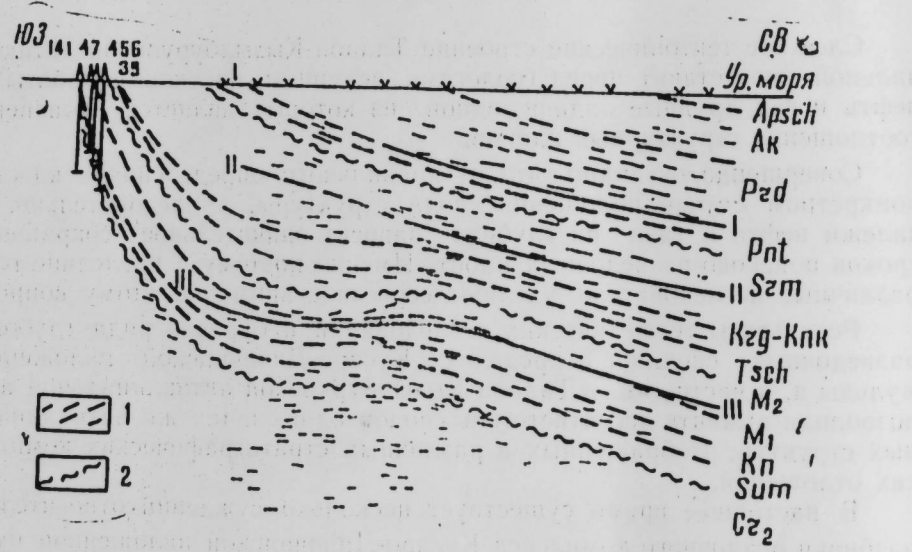


Рис. 1 Сизанская моноклиналь (Кызылбурун).

Сейсмогеологический профиль.

I—I, II—II, III—III — условные сейсмические горизонты, прирученные соответственно к среднему плиоцену, миоцену и палеогену;

1—отражающие сейсмические площадки; 2—линия трансгрессивного за- легания.

Необходимо отметить, что скв. № 6 заложена на юго-западном крыле антиклинальной структуры, а скв. № 7 и 10 — на северо-восточном.

Как видно из таблицы, в связи с миграцией сводов плиоценового структурного этажа относительно миоценового в скв. № 6 углы падения слоев с глубиной уменьшаются (ввиду приближения к сводовой части

складок), а в скв. № 7 — возрастают. В скв. № 10 наблюдается незначительное изменение угла падения слоев из-за сильного искривления ствола скважины в сторону смещения сводов.

Обобщение результатов геофизических исследований и данных

Стратиграф. единица	Скв. №6		Скв. №7		Скв. № 10	
	глубина, м	угол падения слоев	глубина, м	угол падения слоев	глубина, м	угол падения слоев
Подошва продуктивной толщи	1200	51°	1160	39°	1180	65°
Кровля чокракского горизонта	2500	21°	2490	56°	2550	61°

поискового бурения позволило нам построить структурную схему Талаби-Кызылбурунской антиклинальной зоны, отражающую план складчатости по подошве продуктивной толщи и кровле чокракского горизонта (рис. 2 и 3).

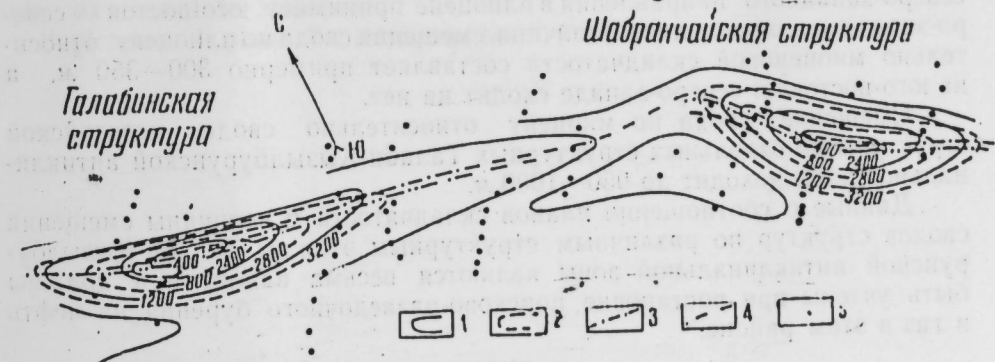


Рис. 2. Структурная схема соотношения плиоценового и миоценового планов складчатости Талабинской и Шабранчайской структур

1—структура по подошве продуктивной толщи; 2—структура по кровле чокракского горизонта; 3—осевая линия поднятий по плиоцену; 4—осевая линия поднятий по миоцену; 5—структурные скважины.

Как видно из схемы, на Кызылбурунской структуре миграция свода складки по плиоценовым слоям относительно свода в миоценовом плане складчатости происходила с сохранением направления оси с юго-запада

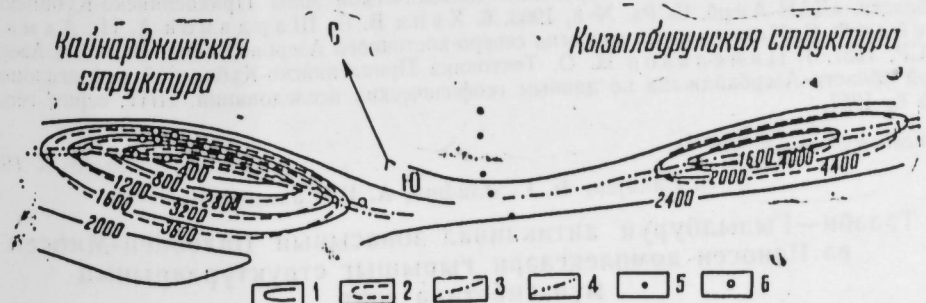


Рис. 3. Структурная схема соотношения плиоценового и миценового планов складчатости Кайнарджинской и Кызылбурунской структур

1—структура по подошве продуктивной толщи; 2—структура по кровле чокракского горизонта; 3—осевая линия поднятий по плиоцену; 4—осевая линия поднятий по миоцену; 5—структурные скважины; 6—разведочные скважины.

на северо-восток; величина смещения при этом составляет примерно 200 м. Смещение свода миоценового этажа складчатости относительно свода в мезозойском структурном этаже достигает значительной величины и составляет примерно 600 м.

На Кайнарджинской антиклинальной складке смещение свода по плиоценовым слоям происходило также с сохранением направления оси складчатости миоценового плана складчатости с юго-запада на северо-восток; величина смещения свода — приблизительно 100 м. Смещение свода складки по плиоцену относительно свода в мезозойском плане складчатости достигает 500—700 м.

В пределах Шабранчайской антиклинальной структуры смещение свода складки по плиоцену относительно свода в миоценовом и мезозойском этажах складчатости также происходит с сохранением параллельности оси складки с юго-запада на северо-восток. При этом величина смещения составляет 250—300 м, а миоценового свода относительно мезозойского — 850—900 м [2].

На Талабинской антиклинальной складке смещение сводов по структурным этажам происходит с некоторым отклонением от параллельности осей сводов плиоценового комплекса относительно миоцена и мезозоя: структура по мезозою и миоцену от юг-юго-восток — северо-западного направления в плиоцене принимает юго-восток — северо-западное направление. Величина смещения свода по плиоцену относительно миоценовой складчатости составляет примерно 300—350 м, а на юго-востоке и северо-западе сходит на нет.

Смещение свода по миоцену относительно свода мезозойской структуры на отдельных структурных Талаби-Кызылбурунской антиклинальной зоны доходит до 950—1000 м.

Данные о соотношении планов складчатости и величины смещения сводов структур по различным структурным этажам Талаби-Кызылбурунской антиклинальной зоны являются весьма важными и должны быть учтены при постановке поисково-разведочного бурения на нефть и газ в этом районе.

## ЛИТЕРАТУРА

1. Абдуллаев Р. А., Джагаров Х. Д. Геолого-геофизическая характеристика Прикаспийского нефтяного района Азербайджана. Азернефт, 1962.
2. Алифов Г. К. Особенности антиклинальных структур Талаби-Кызылбурунской тектонической зоны. «ДАН Азерб. ССР», № 8, 1966.
3. Андреев Л. И. К вопросу изменения плана складчатости в пределах северо-восточного склона Б. Кавказа (Кусаро-Дивинский район). Сб. НТИ, вып. II, «Вопросы геофизики», серия «Нефтедобывающая промышленность», АзИНТИ, 1959.
4. Ахмедов Г. А., Салаев С. Г., Исмайлолов К. А. Перспективы поисков нефти и газа в мезозойских отложениях Юго-Восточного Кавказа. Азернефт, 1961.
5. Салаев С. Г., Алифов Г. К. Перспективы нефтегазоносности Талаби-Кызылбурунской тектонической зоны Прикаспийско-Кубинской области. «ДАН Азерб. ССР», № 8, 1963.
6. Хани В. Е., Шарданов А. Н., Ахмедбейли Ф. С. Материалы по геологии северо-восточного Азербайджана. Изд. АН Азерб. ССР, 1957.
7. Цимельzon И. О. Тектоника Прикаспийско-Кубинской нефтегазоносной области Азербайджана по данным геофизических исследований. ИНТ, серия геол., № 6, 1957.

Институт геологии

Поступило 16. X 1970

С. И. Салаев, И. Г. Элифов, А. И. Селимханов

Тэләби-Гызылбурун антиклиналь зонасынын Палеокен-Миоцен  
вэ Плиоцен комплексләри гырышыг структурларынын  
мұнасибәтінә даир

## ХУЛАСӘ

Алыимыш фактику материаллар Гусар-Дэвәчи мулдасынын вэ хүсусилә Тэләби-Гызылбурун антиклиналь зонасынын мұрәккәб гурлуша малик олмасыны көстәрир. Бу зонада үч структур мәртәбә гејд едилшишdir: 1) Іура-Тәбашир; 2) Палеокен-Миоцен, 3) Плиоцен.

Кеофизики тәдгигатларын үмумиләшдирилмәсі вэ ахтарыш газы-масының пәтичеләри әсасында Мәңсүлдар гатын дабаны вэ Чокрак гори-зонтуни тавашина көрә Тэләби-Гызылбурун антиклиналь зонасынын структур схеми тәртиб едилшишdir ки, бу да Плиоцен гырышыглы-гынын Миоцен гырышыглыгына көрә шимал-шәрг истигамәтinde јер дәжишдижини көстәрир. Плиоцен вэ Палеокен-Миоцен комплекси ара-сындакы бу ујғунсузлуг әһәмијәтли дәрәчәдә олдуғундан нефт вэ газ ахтарышы вэ кәшфијаты газымасында нәзәрә алымалыдыр.

S. I. Salaev, G. K. Alifov, A. I. Selimkanov

## On Fold Structure Relation of Paleogene-Miocene and Pliocene Complexes of Talaby-Kyzylburun anticlinal zone

### SUMMARY

In described anticlinal zone 3 structural stages are distinguished:

1. Jurassic—cretaceous; 2. Paleogen—Miocene; 3. Pliocene.

Structural scheme has been drawn up describing anticlinal zone on the sole of middle Pliocene and the roof of middle Miocene demonstrating fold displacement on Pliocene layers in the North—East concerning folds expressed in Miocene.

3 pictures, 1 plate, 7 bibliographies.

Т. А. ГАСАНОВ

## ЗОНАЛЬНОЕ РАСЧЛЕНЕНИЕ СРЕДНЕЮОРСКИХ ОТЛОЖЕНИЙ АЗЕРБАЙДЖАНА (М. КАВКАЗ)

(Представлено академиком АН Азербайджанской ССР К. А. Ализаде)

Среднеюорские отложения приурочены к высокогорным и среднегорным участкам азербайджанской части Малого Кавказа и смыты в систему общекавказских складок. Они представлены в вулканогенной, вулканогенно-осадочной и осадочной фациях.

Ввиду преобладания в составе средней юры вулканогенных образований изучение их носило главным образом петрографический характер. А палеонтолого-стратиграфическая характеристика этих отложений была получена гораздо позже, начиная с тридцатых годов нашего столетия.

К. Н. Паффенгольц (1959) впервые подразделил среднюю юру Малого Кавказа по петрографическим особенностям пород на нижнюю и верхнюю вулканогенные толщи и заключенную между ними толщу кварцевых порфиров.

Последующая детализация данной схемы на основе детальных геологических исследований и особенно тщательного сбора и определения остатков моллюсков была произведена В. В. Богачевым, Г. Я. Крымгольцем и нами.

Результаты наших исследований за последние годы дают возможность в среднеюорских отложениях Малого Кавказа (в пределах Азербайджана) на основании изучения аммонитов выделить нижне-байосский и подразделенные на зоны\* верхнебайосский, ниже-, средне- и верхнебатский подъяруссы.

Нижнебайосские отложения развиты в пределах Шамхорского и Мровдагского антиклиниориев Сомхето-Агдамской зоны. Нижний контакт этих отложений вскрыт в верховых Асрикчая, где они трансгрессивно налегают на различные отложения нижней юры. В их строении существует сложный комплекс лавовых и пирокластических пород, согласно, а местами несогласно перекрыты покровами верхнебайосских кварцевых порфиров. В вышеуказанных вулканогенных образованиях остатки фауны и флоры не обнаружены. Они располагаются между нижнего аалена и верхнебайосскими кварцевыми порфирами и их пирокластическими образованиями. Поэтому возраст вулканогенных образований устанавливается условно, как раннебайосский.

\* Зональное расчленение пришито по В. Аркеллю (1961).

Верхнебайосские отложения значительно развиты в пределах Сомхето-Агдамской и в меньшей мере в Севано-Карабахской структурно-фаунистической зоне. Они представлены кварцевыми порфирами и связанными с ними пирокластическими (туфы, мелкообломочные туфобрекции и туфоконгломераты) образованиями.

На северо-восточном склоне Малого Кавказа верхнебайосские отложения слагают полосу на участке от среднего течения р. Таузчай до р. Кюракчай. В юго-восточном направлении они распространены на отдельных участках среднего течения рек Тертер и Хачинчай.

В верхнебайосском подъярусе устанавливается зона *Garantiana garatiana* с присутствием *Oppelia subradiata* Sow. и зона *Parkinsonia parkinsoni* с *Parkinsonia subarietis* Wetz., *P. planulata* Quents. В данном подъярусе также встречаются: *Calliphylloceras heterophylloides* (Neum.), *Pseudophylloceras kudernatschi samtschikensis* Kakh., *Dinolytoceras cf. tshonensis* (Kakh.), *Thysanolytoceras eudesianum* (d'Orb.), *Nannolytoceras okribiensis* (Kakh.), *N. rugmaeum* (d'Orb.), *Sphaeroceras cf. bringniarti* (Sow.), *Perisphinctes martinsi* d'Orb.

Отложения батского яруса широко распространены в азербайджанской части Малого Кавказа. В их составе имеются осадочные, пирокластические и лавовые породы, известные в литературе как «верхняя вулканогенная толща». Осадочно-терригенные отложения развиты преимущественно в синклинальных прогибах, а породы лавовой и пирокластической фации — в антиклинальных структурах.

Нижний контакт батских отложений проводится по кровле верхне-байосской толщи кварцевых порфиров. Местами в основании батского яруса располагается прослой базального конгломерата с гальками кварцевых порфиров.

Отложения нижне-батского подъяруса выделяются в пределах Дашкесанского синклиниория и представлены аггломератовыми туфами, туффитами, туфобрекциями, туфоконгломератами, порфирами и туфопесчаниками. Нижне-батский подъярус, состоящий из зоны *Zigzagiceras zigzag* выделяется благодаря находкам *Partschiceras subobtusum* (Kud.), *Oppelia (Oxycerites) fallax* (Gieger.). Зона *Gracilisphinctes progracilis* среднего подъяруса бата выделяется в этих же отложениях по нахождению *Cadomites rectelobatus* Hauer.

По литологической особенности нерасчлененные нижне- и среднебатские отложения выделяются в Шамхорской, Мровдагской, Карабахской структурах и содержат *Pseudophylloceras cf. kudernatschi* (Hauer), *Nannelytoceras ilanense* (Strem.), *Thysanolytoceras cf. adeloides* (Kud.), *Cadomites rectelobatus* Hauer, *Perisphinctes danubiensis* Schlot.

Отложения верхне-батского подъяруса выделяются в пределах Дашкесанского синклиниория и Шамхорского антиклиниория и представлены аггломератовыми туффитами, туфоконгломератами, туфами, туфопесчаниками и алевролитами. Практически верхне-батские отложения отличаются от нижне- и среднебатских увеличением терригенных и карбонатных пород, а главным образом, по комплексу характерной фауны.

В верхне-батском подъярусе выделяются: зона *Oppelia aspidoides* на основании присутствия *Oppelia (Oxycerites) subfusca* Wag. и зона *Clydoniceras discus*, благодаря находкам *Oecotraustes (Paroecotraustes) Liss.*, *O. (P.) maiveugei* J. Steph.

В отложениях верхнего бата встречаются также следующие аммониты: *Holcophylloceras zignodianum* (d'Orb.), *Ptychophylloceras hommairei* (d'Orb.), *Bullatimorphites cf. suevicum* (Roem.), *Grossouwria plesiosubtilis* (Liss.), *Oecotraustes splendens* Ark., *O. (Paraocotraustes) ziegleri* J. Steph., *Bussegia banaticum* D. Part., *Oecotraustes*

Зональное расчленение среднеюрских отложений Азербайджана  
(М. Кавказ)

Яруссы	Подъ- яруссы	Зоны Западной Европы по Аркеллю, 1961	Состав пород	Аммониты характерные для зон	
				подъярусов	
Ба т с к и й	Верхний			<i>Oecotraustes</i> ( <i>Paroecotraus-</i> <i>tes</i> ) <i>densicostatus</i> , <i>O. (P.) maube-</i> <i>ugel</i>	<i>Bullatimorphites cf. su-</i> <i>evicum</i> , <i>Stiemiradzka cf.</i> <i>rotundatus</i> , <i>S. (Prevalia)</i> <i>versiacensis</i> , <i>Perispin-</i> <i>ctis plesiosublis</i> , <i>Oecotra-</i> <i>ustessplendens</i> , <i>O. (Paraoe-</i> <i>cotraustes) ziegleri</i> , <i>Cado-</i> <i>mites zlatarskii</i> , <i>Bucegia</i> <i>banaticum</i> , <i>Otoxyites</i> <i>(Prohecticoceras) planum</i>
				<i>Oppelia (Oxyce-</i> <i>rites) subfusca</i>	
				<i>Tulites subcon-</i> <i>progracilis</i> <i>ntractis</i>	<i>Pseudophylloceras</i> cf. <i>kudernatschi</i> , <i>Nannolyto-</i> <i>ceras ilanense</i> , <i>Thysano-</i> <i>lytoceras cf. adeloides</i> , <i>Perispinctes danubiensis</i>
				<i>Gracilisphinctes progracilis</i>	
				<i>Zigzagiceras</i> <i>zigzag</i>	<i>Partschiceras</i> <i>subobtusum</i> , <i>Oppelia (Oxy-</i> <i>cerites) fallax</i>
				<i>Parkinsonia pa-</i> <i>rkinsoni</i>	<i>Parkinsonia su-</i> <i>barietis</i> , <i>P. pla-</i> <i>nulata</i>
				<i>Garantaina ga-</i> <i>rantiana</i>	<i>Calliphylloceras heterop-</i> <i>hyloides</i> , <i>Pseudophyllo-</i> <i>ceras kudernatschi sam-</i> <i>tschikensis</i> , <i>Dinolyto-</i> <i>ceras cf. tshonensis</i> , <i>Thy-</i> <i>sanolytoceras eudesi-</i> <i>anum</i> , <i>Nannolytoceras</i> <i>okribensis</i> , <i>N. pygmae-</i> <i>um</i> , <i>Sphaeroceras cf. bro-</i> <i>ngniarti</i> , <i>Perispinctes</i> <i>martinsi</i>
				<i>Strenoceras su-</i> <i>bifurcatum</i> <i>Progracilis</i>	
				<i>Stephanoceras</i> <i>humphriesi-</i> <i>anum</i>	Лавовые и пиро- рокластические породы
				<i>Ototter sauzei</i>	
Ба т о с с к и й	Нижний			Не обнаружены	
				<i>Sonninia sower-</i> <i>byi</i>	

*xyites (Prohecticoceras) planum* P. Park., *Cadomites zlatarskii*  
J. Steph., *Stiemiradzka (Prevalia) versiacensis* Liss., *S. cf. rotun-*  
*datus* Roem..

#### ЛИТЕРАТУРА

1. Аркелл В. Юрские отложения земного шара. ИЛ, М., 1961.
2. Гасанов Т. А. Фауна и стратиграфия нижне- и среднеюрских отложений северо-восточной части М. Кавказа (Азерб. ССР). Изд. АН Азерб. ССР, Баку, 1961.
3. Крымова Г. Я. Некоторые головоногие из юрских отложений Закавказья. Труды Ленинградского геологического института, т. XVIII, Л., 1957.
4. Панфёров Г. Я. Геологический очерк Кавказа. Изд. АН Арм. ССР, Ереван, 1959.

Т. А. Гасанов

Zonal subdivision of middle Jurassic deposits of Azerbaijan  
(Minor Caucasus)

SUMMARY

Middle Jurassic deposits are confined to high and midmountainous sections of Azerbaljan part of Minor Caucasus and are crumbled into the system of General Caucasian folds. They are presented in volcanogenic and volcanogenic-sedimentary facies. The results obtained from the investigations of ammonites give the possibility to distinguish: low and upper Bajocian substages, low-min and upper Batian substages subdivided into zones, in middle Jurassic deposits of the above-mentioned area.

The following zones are distinguished in upper Bajocian substage. *Garantiana garantiana* and *Parkinsonia parkinsoni*.

*Zigzagiceras zigzag* zone is distinguished in low-Batian Substage. *Gracilisphinctes progracilis* zone is distinguished in mid-Batian substage. *Oppelia aspidoides* and *Clydoniceras discus* zones are distinguished in upper-Batian substage.

## МИНЕРАЛОГИЯ

С. В. ГРУМ-ГРЖИМАЙЛО, Т. С. МАМЕДОВ, Т. М. ВАРИНА

О ПРИРОДЕ ОКРАСКИ ГРАНАТОВ ДАШКЕСАНСКОГО  
ЖЕЛЕЗОРУДНОГО МЕСТОРОЖДЕНИЯ

(Представлено академиком АН Азербайджанской ССР М. А. Кашкаем)

Исследовались гранаты андродит-гроссулярового ряда, отобранные из различных участков Дашибесанского железорудного месторождения (Кашкай, 1965; Кашкай, Мамедов, Громов, Джагаров, 1968; Кашкай, Джагаров, Мамедов, 1968). Кристаллы гранатов имели различную окраску: бурую, коричневую, зеленую и различные их оттенки. Для установления природы этих окрасок были проведены спектральные исследования. Ранее установлено, что окраски гранатов могут вызываться ионами группы железа, входящими в кристалл изоморфно. С целью выяснения, какие из ионов переменной валентности входят в исследованные гранаты и вызывают окраску, были изучены спектры поглощения света при комнатной и низкой температурах (до 1,7°K).

Таблица 1

Вид полиэдров и координация расположенных в них ионов	Элементы, ионы которых могут вызывать окраску	Элементы, ионы которых не вызывают окраску
Скрученные кубы—8	$\text{Fe}^{2+}$ , $\text{Mn}^{2+}$	$\text{Ca}^{2+}$ , $\text{Mg}^{2+}$
Октаэдры—6	$\text{Fe}^{2+}$ , $\text{Fe}^{3+}$ , $\text{Mn}^{3+}$ $\text{Cr}^{3+}$ , $\text{Ti}^{3+}$	$\text{Al}^{3+}$
Тетраэдры—4	$\text{Ti}^{4+}$	$\text{Si}^{4+}$

В табл. 1 приведена валентность и координация ионов, которые согласно спектральному и химическому анализам имеются в составе исследованных гранатов (Мамедов, 1968).

Ранее, в работах С. М. Грум-Гржимайло и других авторов, исследовались природные и синтетические гранаты, содержащие ионы группы железа. На основании полученных спектральных кривых различных гранатов было установлено, что окраска граната-демантонда вызвана присутствием  $\text{Fe}^{3+}$ —(6), альмандин— $\text{Fe}^{2+}$ —(8), пиропа— $\text{Cr}^{2+}$ —(6) (рис. 1, а, б, в), а синяя, розовая и голубая окраски иттриево-алюминиевых гранатов вызваны  $\text{Co}^{3+}$ ,  $\text{Ni}^{2+}$  и  $\text{Mn}^{3+}$  соответственно (рис. 2, а, б, в).

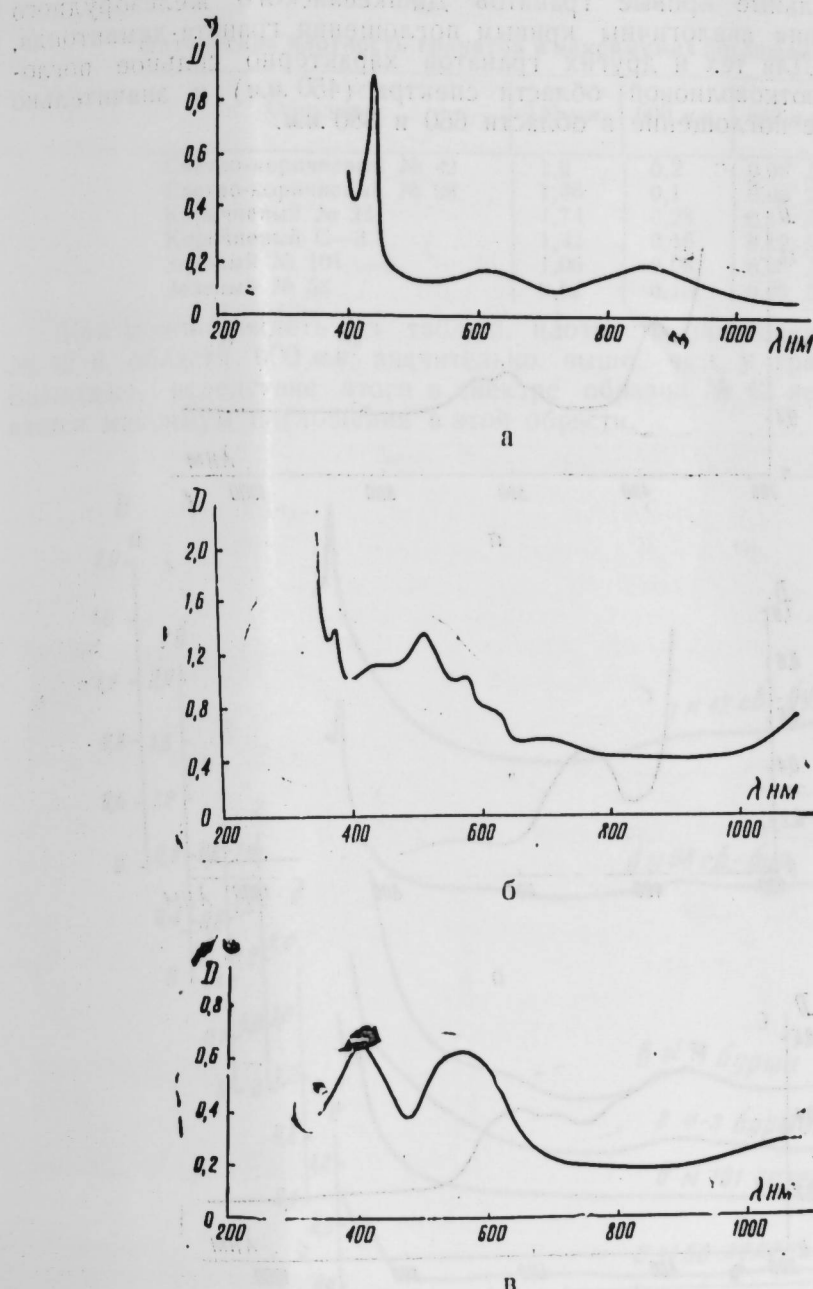


Рис. 1. Кривые спектрального поглощения природных гранатов.

а—демантонд; б—альмандин; в—пироп.

При исследовании гранатов Дашибесанского железорудного месторождения на спектрофотометре СФ-4 были получены спектральные кривые, показанные на рис. 3. Из сопоставления кривых, представленных на рис. 1, 2, 3, следует, что в спектрах поглощения гранатов Дашибесанского железорудного месторождения не проявляется наличие компонента пиропа и альмандинина, хотя в некоторых образцах пиропа имеется до 10 %, альмандинина—около 3%; не проявляются также и максимумы, характерные для ионов  $\text{Co}^{2+}$ ,  $\text{Ni}^{2+}$ ,  $\text{Mn}^{3+}$ , присутствие которых в малых количествах в гранатах установлено спектральным и химическим анализами (Мамедов, 1968).

Спектральные кривые гранатов Дашкесанского железорудного месторождения аналогичны кривым поглощения граната-демантоида, (рис. 1, а). Для тех и других гранатов характерно сильное поглощение в коротковолновой области спектра (450 м.м.) и значительно более слабое поглощение в области 660 и 880 м.м.

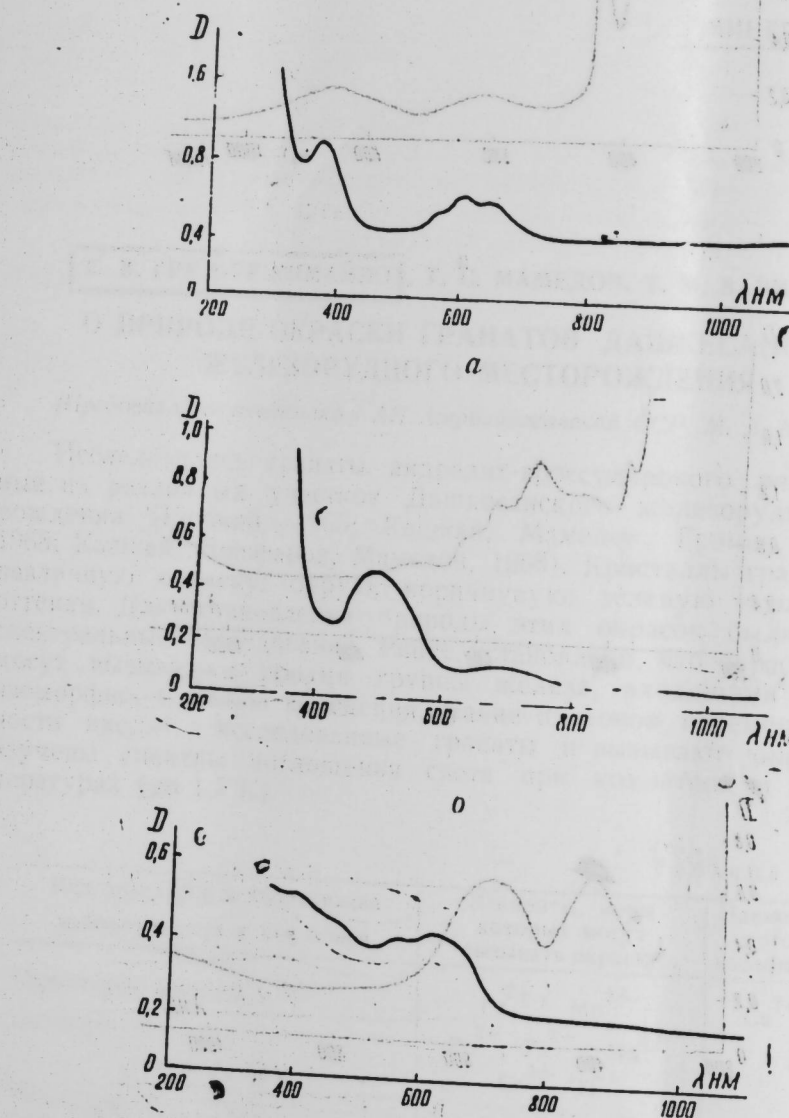


Рис. 2. Кривые спектрального поглощения синтетического иттриево-алюминиевых гранатов с *a*— $\text{Co}^{2+}$ ; *б*— $\text{Ni}^{2+}$ ; *в*— $\text{Mn}^{3+}$ . Светлобурый гранат. На кривой спектрального поглощения граната светло-коричневого цвета (№ 42) имеется резкий максимум поглощения 440 м.м. и широкий максимум поглощения 860 м.м. Согласно кривой этот образец отличается очень большим поглощением в области 580—400 м.м. В спектре поглощения светло-коричневого граната № 98 имеется три полосы: *а*) резкая узкая—438 м.м.; *б*) широкая слабая—600 м.м.; *в*) в области 880 м.м. (табл. 2).

Таблица 2  
Оптическая плотность гранатов в максимумах поглощения

Образец	440 м.м.	600 м.м.	880 м.м.
Светло-коричневый № 42	1,9	0,2	0,08 Д
Светло-коричневый № 98	1,36	0,1	0,08 Д
Коричневый № 11	1,74	0,28	0,18 Д
Коричневый С-3	1,42	0,16	0,12 Д
Зеленый № 101	1,06	0,08	0,06 Д
Зеленый № 58	0,62	0,18	0,08 Д

Как можно видеть из табл. 2, плотность поглощения граната № 42 в области 600 м.м. значительно выше, чем у граната № 98. Возможно, вследствие этого в спектре образца № 42 не обнаруживается максимум поглощения в этой области.

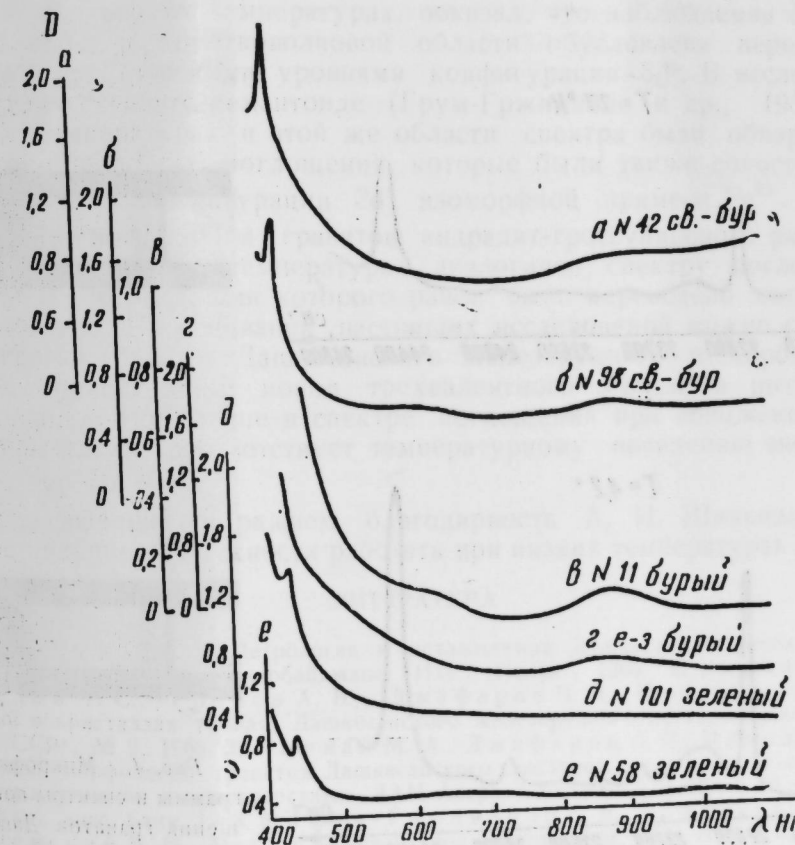


Рис. 3. Кривые спектрального поглощения природных гранатов андрадит-гроссулярийного ряда.

На кривых спектрального поглощения коричневых гранатов № 11 и С-3 поглощение в коротковолновой области сильно возрастает. Причем для образца № 11 в области 620 м.м. намечается очень слабый максимум поглощения. В области 880 м.м. в спектре коричневых гранатов имеется широкая полоса поглощения, более интенсивная для граната № 11 (см. табл. 1, 2). Поглощение зеленых гранатов № 101 и № 58 отличается высокой плотностью во всей области измерения по сравнению с плотностью поглощения других гранатов. Но в спектрах зеленых гранатов плот-

ность поглощения в коротковолновой области начинает возрастать лишь с 560 м.м. Величина максимума при 440 м.м для зеленых гранатов невелика.

Следовательно, сравнивая интенсивность поглощения различных образцов гранатов одинаковой толщины в области коротковолнового максимума, можно предположить, что в образце № 42 содержится

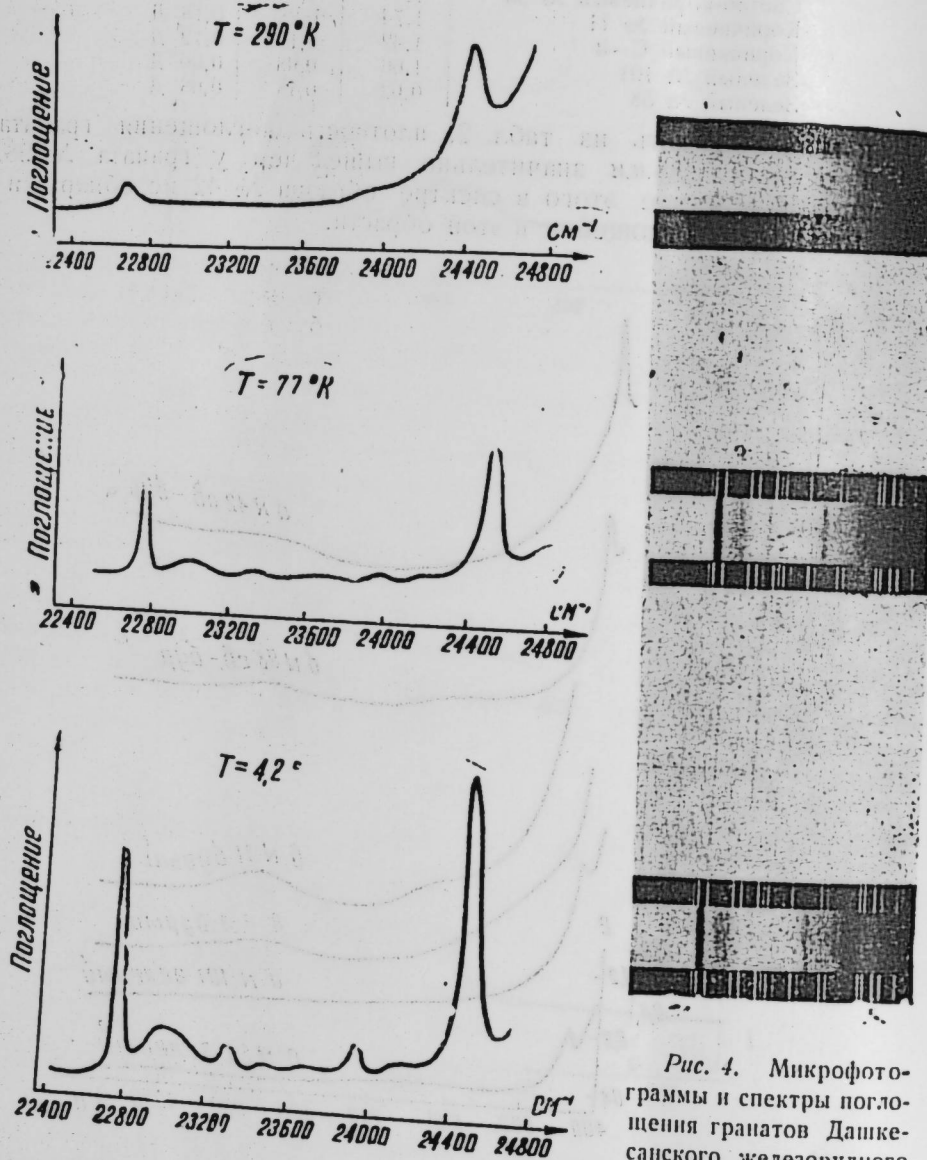


Рис. 4. Микрофотограммы и спектры поглощения гранатов Дашибесанского железорудного месторождения при 290, 77 и 4,2°К.

$\text{Fe}^{3+}$  больше, чем в образцах № 98, 101, 58. То же можно сказать и об образцах № 11 и С-3, в которых этот максимум не промерялся из-за сильного поглощения в этой области. В образце № 11 максимум в ближней инфракрасной области, возможно, вызван наличием  $\text{Fe}^{3+}$ .

Известно (Грум-Гржимайло и др., 1963; Грум-Гржимайло, 1966), что тонкая структура спектра поглощения кристаллов, содержащих в качестве изоморфной примеси ион  $\text{Fe}^{3+}$ , имеет при низких температурах систему узких полос в коротковолновой области спектра. Для подтверждения интерпретации оптического спектра гранатов,

как обусловленного изоморфным вхождением  $\text{Fe}^{3+}$ , были проведены исследования в низкотемпературных условиях.

Гранаты № 42 и № 98 светло-коричневого цвета исследовались при низких (77; 4,2; 1,7°К) температурах. Для исследования были изготовлены специальные шлифы толщиной 1 м.м. Исследования проводились на спектрографах ИСП-51 и ИСП-22. Низкотемпературные исследования обнаружили тонкую структуру спектра поглощения гранатов. В области 410—440 м.м наблюдалось примерно 7 узких полос поглощения, подобных ранее обнаруженным в спектре демантонда. При понижении температуры от 77°К до 1,7°К узкие полосы сдвигались в коротковолновую часть спектра примерно на несколько  $\text{cm}^{-1}$ , полосы становились интенсивнее, возрастило их число. На рис. 4 приведены фотографии и микрофотограммы спектров поглощения исследованных гранатов при 290, 77 и 4,2°К.

Анализ тонкой структуры спектра поглощения гранатов, обнаруженной при низких температурах, показал, что наблюдаемая система узких полос в коротковолновой области обусловлена переходами между энергетическими уровнями конфигурации  $3d^5$ . В исследованном ранее гранате-демантонде (Грум-Гржимайло и др., 1952) при низких температурах в этой же области спектра были обнаружены аналогичные полосы поглощения, которые были также сопоставлены с переходами конфигурации  $3d^5$  изоморфной примеси  $\text{Fe}^{3+}$ .

Спектр поглощения гранатов андродит-гроссулярового ряда при комнатной и низких температурах аналогичен спектру поглощения граната-демантонда, для которого ранее было переведено подробное исследование. На основании настоящих исследований можно сказать, что окраска гранатов Дашибесанского железорудного месторождения вызвана присутствием ионов трехвалентного железа в шестерной координации. Изменение в спектре поглощения при понижении температуры также соответствует температурному поведению энергетических уровней  $\text{Fe}^{3+}$ .

В заключение выражаем благодарность А. И. Шильникому за предоставление возможности работать при низких температурах в МГУ.

#### ЛИТЕРАТУРА

1. Кашкай М. А. Петрология и металлогения Дашибесана и других железорудных месторождений Азербайджана. Изд. "Недра", 1965.
2. Кашкай М. А., Мамедов Т. С., Громов А. В., Джагаров Ч. Д. Исследование микропключения в кристаллах граната Дашибесанского железорудного месторождения. "ДАН Азерб. ССР", № 2, 1968.
3. Кашкай М. А., Джагаров Ч. Д., Мамедов Т. С. О граничной морфологии гранатов Дашибесанского месторождения и закономерностях их распространения в пространстве. "ДАН Азерб. ССР", № 3, 1968.
4. Мамедов Т. С. Канд. дисс. Баку, 1968.
5. Грум-Гржимайло С. В., Климовская Л. К., Вишневский В. Н. Мин. сб. Львовск. геол. об-ва, № 6, 229, 1952.
6. Грум-Гржимайло С. В. Сб. "Спектроскопия кристаллов". Изд. "Наука", 1956, 1963.
7. Грум-Гржимайло С. В., Бриллиантов Н. А., Свиридов Д. Д., Свиридова Р. К., Бокша О. Н. "Оптика и спектроскопия", т. XIV, вып. 2, 1963.

Институт геологии

Поступило 20. XI 1969

С. В. Грум-Гржимайло, Т. С. Мамедов, Т. М. Варина

Дашкесэн дэмир филизи мэ'дэни гранатларынын рэлкинэ даир

#### ХУЛАСЭ

Мэглэдэ Дашибесэн дэмир филизи мэ'дэни гранатларынын рэлкинин ёрженилмэснэ даир апарылан тэдгигат ишлэрийн нэтичэсн верилмишдир.

Гранатларын СФ-4 спектрофотометр чиңазында өлчүлмөсі нәтижесинде әлдә едилмиш әжриләрин тәһлили көстәрмишидир ки, гранат кристалларының мұхтәлиф тоңлуғонур рәнкә боянымасы, оныларын структурна дахил олан үчвалентли дәмирлә әлагәдардыр.

Grum-Grzhimailo S. V., T. S. Mamedov, T. M. Varina

## On the Nature of garnet Colouring of Dashkesan ferroure Deposit

### SUMMARY

Absorption Spectra of natural and artificial garnets were being studied to clearing up the reason of Colouring.

On the base of this come to the conclusion that the colour of brown garnets are provoked by the presence of iron of ferric iron sixfold coordination.

АЗЭРБАЙЖАН ССР ЕЛМЛӘР АКАДЕМИЯСЫНЫН МӘРУЗӘЛӘРИ

ДОКЛАДЫ АКАДЕМИИ НАУК АЗЕРБАЙДЖАНСКОЙ ССР

№ 5

1972

ТӨМ XXVIII

УДК 581.133.

БИТКИ ФИЗИОЛОГИЯСЫ

Доклады Академии наук Азербайджанской ССР

3. С. ЭЗИЗБЕЈОВА, Д. Э РЭСУЛОВА

## ХЛОРИД ДУЗЛУЛУГУ ШӘРАТИНДӘ АЗОТ КҮБРӘСИНИН НӨВҮНДӘН АСЫЛЫ ОЛАРАГ ПАМБЫГ БИТКИСИ ЖАРПАГЛАРЫНДА ҮЗВИ ТУРШУЛАРЫН МИГДАРЫНЫН ДӘЈИШМЕСИ

(Азәрбајҹан ССР ЕЛ академики М. Абуталыбов тәгдим етмишидир)

Битки организмминде маддәләр мүбадиләсінин нормал кетмәсін үчүн үзви туршуларын ролу [5, 8, 13], оныларын мигдарынын биткинин инкишашаф фазасындан [7] вә јашындан [3, 6, 10], набелә мүһиттә дузун мигдарындан [1] асылы олараг дәјишимеси нағында кифајет гәдәр әдебијат олмасына баҳмајараг, хлорид дузлuluғу шәраитинде мұхтәлиф азот күбрәләринин үзви туршуларын мигдарына тә'сирине даир неч бир әдебијат мә'лumatына тәсадүф едилмәшидир. Мәнз буна көрә дә һәмин мәсәләнин өјрәнилмәсін гарышыја мәгсәд ғојдуг. Тәчруә бекетасыја өзи шәраитинде 108-Ф чешидли памбыг биткиси үзәринде апарылышыдир. Битки бекетасыја әрзинде торнагын үмуми су турумунун 60%-и гәдәр изәмликдә бечәрилмәшидир. Үзви туршуларын мигдары Јернаков үсулу илә тә'јин едилмәшидир [4].

Үзви туршуларын мигдарынын торнагда хлорун мигдарындан асылы олараг дәјишимесини мүәյҗәнләширмәк үчүн биткидә хлор ионуну мигдарыны тә'јин етдик. Хлорун мигдары А. Г. Шестаков вә А. И. Качаевини [9] үсулу илә тә'јин олунмушdur. Җәдвәлдән көрүндүү кими, торнагда хлорид дузлuluғунун гатылыгы артдыгча биткидә хлорун мигдары чохалыры, үзви туршуларын мигдары исә азалыр. Эн чох үзви туршу контрол биткинин жарпагында топланыр. Кечмиш тәдгигаттар көстәрмишидир ки, контрол биткидә калып вә каленүм да чох топланыр. Торнагда дузлuluғу артдыгча гида элементләринин биткије дахил олмасы зәйфләйир. Мәнз буна көрә дә контрол биткинин жарпагларында үзви туршуларын мигдары чох, дузлulu вариантын биткиләринде исә аз олур. Бу иәтичә әдебијат мә'лumatларына уйғын көлир [1, 12, 14, 15].

Үзви туршуларын мигдары инкишашаф фазасындан асылы олараг дәјишир. Үзви туршуларын мигдары еркән фазадан башламыш јетишкәнлијә дөгрү артыр. Јетишкәнлијә дөгрү үзви туршуларын чох топланымасы, ола билсеки, оныларын синтезинин сүр'этләнмәсіндән дејил, башта маддәләрә гошулмасынын зәйфләмәсі илә әлагәдардыр.

Битки жарпагларында үзви туршуларын топланымасы азот күбрәсисини нөвүндейн асылы олараг дәјишир. Аммоний нитрат верилмиш памбыг биткиси жарпагларында үзви туршуларын мигдары натриум нитрат верилмиш биткиләрин жарпагларындақына иисбәттән чох олур.

Гарғыдалы биткиси [16] вә шәкәр чуғундурунда [11] нитрат гидаламасы шәрәттіндә туршулуғун аммониум гидаламасы шәрәттіндәкінә нисбеттән соң олмасы тең едилір. Памбыг биткисіндә алдығымыз істічә көстәрилән мүәллифләри алдығы істічә жаңынан көлемнир. Бу нал, яғин ки, биткіләрін биологиялық хүсусијәттіндән асылы ола биләр.

Апарылан тәддигатдан ашағыдақы істічәләрә көлмәк олар:

1. Торлагда дузлұлуг артдығча памбыг биткиси јарпагларында үзви туршуларын мигдары азалып. Еркән фазадан башлајараг векетасијаның ахырына дөгрү памбыг јарпагларында үзви туршуларын мигдары артып.

2. Нитрат азоту алмыш биткіләрә нисбеттән аммониум нитрат азоту алмыш битки јарпагларында үзви туршулар даға соң топланып.

#### Ч ә д в ә л

Памбыг биткиси јарпагларында үзви туршуларын вә хлор ионунын мигдары

Варианттар	Хлор (гурь чәкінә көрә, %-да)			Үзви туршулар (жаш чәкінә көрә, мг %-да)		
	Инцинаш фазалары					
	еркән	чишкәләмә	гозалама	еркән	чишкәләмә	гозалама
NaNO <sub>3</sub> контрол	0,69±0,04	0,43±0,02	0,61±0,06	40,2±2,0	48,9±1,3	67,0±2,2
0,3% дуз	0,77±0,05	1,27±0,09	1,73±0,10	37,5±1,6	36,6±1,8	62,9±1,3
0,6%	1,84±0,09	2,89±0,15	3,09±0,13	21,4±1,0	37,5±1,2	45,5±1,4
0,9%	2,85±0,12	3,70±0,15	4,50±0,25	21,4±0,9	25,5±1,1	26,8±2,1
NH <sub>4</sub> NO <sub>3</sub> контрол	0,69±0,03	0,32±0,03	0,49±0,08	56,2±2,3	73,7±1,1	110,8±4,5
0,3% дуз	0,78±0,08	1,24±0,07	1,65±0,10	38,1±2,0	46,9±1,5	93,8±2,3
0,6%	1,70±0,08	2,59±0,12	2,90±0,08	32,1±2,1	38,8±1,5	57,6±2,2
0,9%	2,07±0,14	3,34±0,11	3,64±0,11	29,4±1,9	38,8±1,9	52,2±2,3

#### ӘДӘБИЙДАТ

1. Баславская С. С. Бюллетеинь, М. ИСП. Природы отд. биологии, т. 51 (2), 1946.
2. Бокучава М. А. и Соболева Г. А. "Физиол. раст.", т. 5, вып. 1, 1958.
3. Гребинский С. О. Современные данные об органических кислотах растений. "Успехи соврем. биологии", т. 13, вып. I, 1940.
4. Ермаков А. Н. и др. Методы биохимического исследования растений. Сельхозгиз, 1952.
5. Курсанов А. Л., Джамухадзе К. М. "Биохимия", 13, 1, 1948.
6. Смирнов А. И. Физиологобиохимические основы обработки табачного сырья. "Табаковедение", т. 3, 1933.
7. Солдатенко С., Пантелеев А., Музарова Т. Тр. Ленингр. об-ва естествен., 70, № 3, 1950.
8. Харебова Г. И. Бюлл. ВНИИК и СК, № 1, 1946.
9. Шестаков А. Г. и Кацаев А. П. Скорый метод определения хлора в растениях. "ДАН СССР", т. 17, 1937. № 1—2.
10. A struc A. 1903, Recherches sur l'acide vegetale. Ann. Scien. Nat., 8 ser., Botanique, t. 17.
11. Collin H. et Simon M. 1938, Pub. Inst. belge amelioration betterave, 6, 459.
12. Garner W., Mc Murray J. Bowling J., and Moss E. 1930. Role of chlorine in nutrition and growth of tobacco plants and its effect on the quality of the cured leaf. Jaurn. Agric. Researsh, vol. 40, № 7.
13. Roberts E. A., Cartwright R. A., Oldschool M. 1957, Journ. of the Science of Food and Agric., 2, 72.
14. Ulrich A. 1941 Metabolism of non volatile organic acids in excised barley rods as related to cation—anion balance during salt accumulation. Amer. Journ. Botany, vol. 28, № 7.
15. Ulrich A. 1942, Metabolism of organic acids in excised barley roots influenced by temperature, oxygen tension and salt concentration. Amer. Journ. Botany, vol. 29, № 3.
16. Wadleigh H. a Shive J. W. 1939, Amer. Journ. Bot., 26, 244.

З. С. Азизбекова, Д. А. Расулова

Влияние азотных удобрений на содержание органических кислот в листьях хлопчатника при хлоридном засолении

#### РЕЗЮМЕ

С повышением концентрации солей в почве содержание органических кислот снижается. Начиная с ранних фаз развития хлопчатника содержание органических кислот в листьях хлопчатника постепенно повышается и в конце вегетации достигает максимума.

Растения, получившие азотиокислый аммоний, отличаются от растений, получивших нитратный азот, высоким содержанием органических кислот в листьях.

Azizbekova Z. S., Rasulova D. A.

The influence of the nitrogenous fertilizations on the maintenance of the organic acids in the cotton leaves by the chloride salting

#### SUMMARY

By the rise of salts concentration in the soil the maintenance of the organic acids is reduced. The plants receiving nitrate ammonium are differed from the plants that received nitrate nitrogen, by the high maintenance of organic acids in the leaves.



**Немлилдән асылы олараг памбыг биткисинде гуру маддәнине вә гида элементләринин топланима динамикасы**

Тәрүбәлүү схемасы	Бир биткилдә гуру маддәнине иштептүү мигдары, %-лар																			
	60—60—60%						70—70—65%													
	Азот			Фосфор			Калий			Калорий										
Күбрәсиз	0,41	2,96	20,0	27,10	56,0	2,80	2,35	2,18	1,69	0,90	0,45	0,38	0,30	0,18	1,18	2,53	2,29	1,95	1,73	
N <sub>2</sub> P <sub>2</sub> K <sub>1</sub>	0,49	3,84	24,0	34,40	69,1	3,13	2,63	2,46	1,79	1,06	0,59	0,65	0,50	0,38	0,26	1,27	4,55	2,62	2,21	1,95
N <sub>4</sub> P <sub>4</sub> K <sub>2</sub>	0,58	4,21	26,1	41,31	76,4	3,64	3,19	2,97	1,94	1,23	0,63	0,69	0,55	0,42	0,28	1,39	4,70	2,78	2,29	2,00
Күбрәсиз	0,44	3,12	22,3	30,0	60,0	2,97	2,52	2,35	1,84	1,10	0,50	0,55	0,43	0,36	0,22	1,27	2,62	2,41	2,17	1,50
N <sub>2</sub> P <sub>2</sub> K <sub>1</sub>	0,54	4,33	27,8	42,93	80,3	3,47	3,02	2,91	1,96	1,29	0,68	0,72	0,58	0,43	0,30	1,50	4,77	2,84	2,12	2,12
N <sub>4</sub> P <sub>4</sub> K <sub>2</sub>	0,63	4,79	29,0	48,0	85,1	3,97	3,53	3,24	2,02	1,40	0,77	0,80	0,66	0,49	0,34	1,60	4,90	3,08	2,53	2,17
Күбрәсиз	0,42	3,03	20,8	28,3	58,6	2,91	2,46	2,24	1,74	0,95	0,48	0,52	0,40	0,33	0,20	1,23	2,58	2,34	2,07	1,85
N <sub>2</sub> P <sub>2</sub> K <sub>1</sub>	0,50	4,11	26,2	39,1	75,7	3,30	2,91	2,63	1,84	1,17	0,64	0,68	0,53	0,41	0,28	1,39	4,65	2,67	2,34	2,07
N <sub>4</sub> P <sub>4</sub> K <sub>2</sub>	0,61	4,38	27,5	45,26	79,9	3,80	3,41	3,08	1,96	1,29	0,72	0,75	0,60	0,45	0,32	1,55	4,77	2,96	2,41	2,12

Векетасија дөврүндө апарылан фенологи мүшәнилдөләрни вә мәһсүл һесабатының истичәләри 1-чи чәдвәлдә верилмишидир. 1-чи чәдвәлдән көрүндүјү кими, һәр 10 кг торнаға 2 г N, 2 г P<sub>2</sub>O<sub>5</sub> вә 1 г K<sub>2</sub>O верилән варианта биткиләрни боюнда, мејвә органларынын мигдары вә мәһсулунда кәссиң фәрг алымышыдир.

Векетасија мүлдәтиндә биткиләри 70—70—65% иэмликтә бечәрдикдә күбрәләмә даһа еффектли олмуштур. Белә ки, һәмни вариантын биткиләрни торнағын там су тутурунун 60—60—60% иэмлиji илә тә'мин етдиңдә мейвәэмәләкәләмә фазасында гозаларын сајы 7,0 әдәд олмушиурса, 80—80—70% иэмликтә 8,0 әдәд, 70—70—65% иэмликтә исә 8,6 әдәд чатышыр. Гөнчә, чичәк вә ачмыш гозаларын сајында да һәмни ганунаујуналуглар мүшәнидә едилмишидир. Бир биткидән алыман памбыг мәһсулу һәмни варианта мүвағиг олараг 28,7; 30,6 вә 32,1 г олмушидур. Күбра нормасынын бүтүн вариантларда иккى дәфә артырылмасы памбыг биткинине бою вә мәһсулуну артмасына мүсбәт тә'сир көстәрмишидир.

Тәдгигат заманы, һәмчиниң биткиләрине эсас инкишаф фазаларында гуру маддәнини мигдары вә гида элементләриниң биткиләрдә топланимасы да өјрәнилмишидир.

Гејд етмәк лазымдыр ки, күбра нормаларындан вә иэмликтән асылы олараг биткидә гуру маддәнин вә гида элементләриниң топланимасы да мүхтәлиф олмушидур. Күбра нормаларынын иккى дәфә артырылмасы һәмни көстәричиләрә мүсбәт тә'сир етмишидир. 2-чи чәдвәлдән көрүндүјү кими, минерал күбрәләрни мүсбәт тә'сир 70—70—65% иэмлик нормасында даһа еффектлиидир.

#### ӘДӘБИЙЛАТ

1. Балыбай Н. К., Васильева С. Г., Горелик П. А., Зверева Е. А., Смирнова Н. И., Взаимодействие удобрений и поливов и районирование орошаемого земледелия. Сб. материалов по географ. сети опытов с удобрениями. М., 1969.
2. Дмитриенко П. А. О почвенных и агротехнических условиях эффективного применения удобрений на Украине. „Агрономия“, № 3, 1967. 3. Киселев П. Г. О применении удобрений под орошаляемые культуры в Заволжье. Сб. материалов по географ. сети опытов с удобрениями. М., 1963. 4. Тимирязев К. А. Земледелие и физиология растений. Соч., т. III, М., 1937. 5. Балыбай Н. К., Зверева Е. А. Задачи и программа изучения условий эффективного применения удобрений в новых районах орошаемого земледелия. Сб. материалов по географ. сети опытов с удобрениями. М., 1969. 6. Белоусов М. А. Физиологические основы корневого питания хлопчатника. Ташкент, 1964. 7. Синягин И. И. О задачах географ. сети опытов с удобрениями. Сб. материалов по географ. сети опытов с удобрениями. М., 1969. 8. Еремеенко В. Е. и Медин М. П. Полив хлопчатника по старопашке. Севообороты удобрения и поливы хлопчатника. Ташкент, 1949. 9. Протасов П. В., Кадырходжаев П. Х. Взаимозависимость действия удобрений и влажности почвы. „Хлопководство“, № 10, 1966. 10. Алов А. С. Факторы эффективности удобрений. М., 1967.

Торнашындастырылган аныктамасы

Алымышыдир б. VI 1971

Р. К. Гусейнов, Г. А. Мамедов

#### Эффективность минеральных удобрений под хлопчатник в зависимости от влажности почв

#### РЕЗЮМЕ

В представленной работе рассматриваются вопросы, связанные с влиянием минеральных удобрений на рост, развитие, накопление сухого вещества, питательных элементов и урожайность хлопчатника в зависимости от влажности почв.

В результате проведенных исследований установлено, что эффективность минеральных удобрений повышается при оптимальной влажности почвы. Наибольший рост, развитие, накопление сухого вещества

ства, питательных элементов в растении и высокая урожайность хлопчатника отмечались при влажности почв 70—70—65% от ППВ. Уменьшение и увеличение влажности почв не приводит к повышению урожая.

Guseinov R. S., Mamedov G. A.

### The efficiency of mineral fertilizers during cotton cultivating depending on the humidity of the soil

#### SUMMARY

A positive effect of mineral fertilizers on the growth, development and accumulation of dry matter and that of productivity of cotton plant is marked by the humidity of soil 70—70—65% of the limited field moisture capacity.

Ключевые слова: минеральные удобрения, хлопчатник, влажность почвы, производительность растения, сухое вещество, полив, влагоемкость почвы.

#### УДАРЫ

Азербайджанский Академии наук Институт земледелия и сельского хозяйства провел ряд исследований по изучению влияния влажности почвы на производительность хлопчатника и накопление сухого вещества в растении. В результате проведенных исследований установлено, что оптимальная влажность почвы для хлопчатника должна быть 70—70—65% от ее влагоемкости. При этом отмечается положительное действие минеральных удобрений на рост и развитие растения, накопление сухого вещества и производительность хлопчатника.

Изучение хлопчатника в различных влажностях почвы показало, что производительность растения и накопление сухого вещества в растении максимальны при влажности почвы 70—70—65% от ее влагоемкости.

Институт земледелия и сельского хозяйства Азербайджанской Академии наук

Г. А. Мамедов, Р. С. Гусейнов  
Институт земледелия и сельского хозяйства Азербайджанской Академии наук

И. Д. ЧЕРНИЧЕНКО

### К ВОПРОСУ О ВОЗМОЖНОСТИ ПРОГНОЗИРОВАНИЯ ИНТЕНСИВНОСТИ ОПРЕСНЕНИЯ ЗАСОЛЕНИХ ПОЧВ НА ФОНЕ ДРЕНАЖА

(Представлено академиком АН Азербайджанской ССР В. Р. Волобуевым)

В процессе мелиорации засоленных почв часто возникает вопрос прогнозирования изменения засоленности мелиорируемых земель, о реальных сроках, в течение которых можно достичнуть устойчивого опреснения требуемой толщи засоленных почвогрунтов. Решение этих вопросов имеет особенно важное практическое значение в районах, характеризующихся общим дефицитом воды, расходуемой на орошение и промывку почв, где опреснение почв возможно только при искусственном отводе промывных и грунтовых вод, т. е. при наличии дренажной сети. Одним из таких районов является Северная Мугань, расположенная в юго-восточной части Куро-Араксинской низменности; характеризуется она широким распространением засоленных почв и близким к поверхности уровнем залегания минерализованных грунтовых вод (1,5—2 м).

Проведение мелиоративных мероприятий (строительство дренажа, промывки и последующее освоение промываемых земель) способствовало значительному оздоровлению мелиоративной обстановки на Северной Мугани; резко возросли площади незасоленных и слабозасоленных земель, значительно уменьшились солевые запасы почв. Однако практика мелиорации почв Северной Мугани показывает, что опреснение участков значительной площади (порядка 1000 га и более) — процесс длительный, требующий нескольких лет (от 8 до 20). Длительность процесса опреснения обусловливается причинами различного порядка, связанными как с естественными условиями, так и с объемом и интенсивностью проведенных мелиоративных мероприятий. В одних случаях поданного объема промывной воды недостаточно для опреснения почв и соли, при близком залегании уровня минерализованных грунтовых вод в послепромывной период опять возвращаются в почву; в других случаях подача больших промывных норм способствует быстрому опреснению некоторых участков, но существующая дренажная сеть не способна в короткий промежуток времени отвести большое количество воды, что способствует поднятию уровня минерализованных грунтовых вод на прилегающих к промывным участкам путем передачи гидростатического напора и приводит к появлению на них рецидивов вторичного засоления. Поэтому для оценки и прогнозирования солевых процессов в почве

требуется выявление закономерностей изменения засоленности почв и взаимосвязи факторов, определяющих интенсивность рассоления почв на фоне дренажа.

Для оценки солевых процессов в почве и возможности прогнозирования изменений засоленности почв В. Р. Волобуевым (1964 г.) выведена зависимость  $S_t = S_{n_0} \cdot e^{\beta t}$  (1), где  $S_{n_0}$ — начальное солесодержание почв в слое 0–1 м в %,  $S_t$ — солесодержание почв в слое 0–1 м к некоторому времени,  $e$ — основание натуральных логарифмов,  $t$ — время в годах, потребовавшееся для изменения засоленности почв от  $S_{n_0}$  до  $S_t$ ,  $\beta$ — показатель интенсивности изменения засоленности, постоянный для некоторых условий солевого режима почв (положительный при росте засоления и отрицательный при снижении солевых запасов). Проведенные нами статистические исследования соответствия между фактическими и рассчитанными по указанной зависимости данными по среднему засолению почв различных участков Северной Мугани показали вполне достоверную связь: коэффициент корреляции составил 0,94, а критерий оценки существенности коэффициента корреляции (критерий Стьюдента) — 11. Зависимость (1) при условии стабильности факторов, определяющих интенсивность изменения засоленности почв, дает возможность прогнозировать изменение засоленности почв во времени, т. е. определять среднее засоление почв участка по истечении определенного времени.

Интенсивность опреснения почв на фоне дренажа определяется в основном объемом промывных норм, способностью почв к солеотдаче, коэффициентом фильтрации почвогрунтов, обеспеченностью территории дренажной сетью (ширины междренажных расстояний, глубиной дрен, их состоянием) и коэффициентом земельного использования. Сопоставление формулы В. Р. Волобуева для расчета активной промывной нормы  $n = \alpha \cdot \lg \left( \frac{S_{n_0}}{S_0} \right) = \alpha \cdot m \cdot \ln \left( \frac{S_{n_0}}{S_0} \right)$  (2),

где  $n$ —активная промывная норма в  $m^3/m^2$ ,  $\alpha$ —показатель способности почв к солеотдаче,  $m$ —постоянная, равная 0,434,  $S_0$ —допустимое при данном химизме солесодержание в почве слоя 0–1 м в %,  $S_{n_0}$ — начальное солесодержание почв с формулой (1), позволяет выявить зависимость интенсивности опреснения почв от объема промывной нормы:  $-\beta = -\frac{n}{\alpha \cdot m}$  (3) при  $t=1$  и  $-\beta = -\frac{n}{\alpha \cdot m \cdot t}$  (4), где  $t$ —показатель времени, соответствующий количеству промывок, проводимых в течение года.

Промывки почв на Северной Мугани производятся в основном один раз в год в зимне-весенний период и совпадают с зимне-весенними аратами (влагозарядковыми поливами); часто на практике первое мероприятие подменяется вторым. Одновременность этих мероприятий создает дефицит поливной и промывной воды, что отражается на объеме промывных норм, величина которых не превышает 5000–6000  $m^3/га$ , причем основная масса этого объема воды расходуется на испарение и транспирацию. При известных значениях параметров  $\alpha$  и  $\beta$  для многих участков Северной Мугани, представляется возможным определить среднюю ежегодную активную промывную норму по зависимости  $\frac{n}{t} = \alpha \cdot \beta \cdot m$ . Такой обратный расчет показывает, что ежегодный объем воды, пошедший на вымывание солей из почвы варьирует от 300 до 1200  $m^3/га$  в год. Промывные нормы, рассчитанные по зависимости (2), составляют для тех же участков 7300–10000  $m^3/га$  (для слоя 0–1 м), т. е. в 6–25 раз превышают указан-

ные величины и вполне понятно, что такого объема активных промывных норм явно недостаточно для быстрого опреснения почв.

Значения параметра  $-\beta$ , вычисленные по материалам повторных солевых и почвенных съемок различных участков и зон коллекторов на Северной Мугани, характеризуют интенсивность изменения солевых запасов почв на обширных площадях, включающих как промываемые и орошающие, так и залежные, неиспользуемые земли. Учитывая, что в данных условиях опреснение засоленных неорошаемых и неиспользуемых земель не происходит даже на фоне дренажа, интенсивность опреснения промываемых и используемых под посевы земель ( $-\beta_{n, z}$ ) составляет:  $-\beta_{n, z} = -\frac{\beta_c}{KZI}$ , где  $\beta_c$ —средняя интенсивность снижения солевых запасов почв всего участка или массива (включающего орошаемые и неорошаемые земли), КЗИ—коэффициент земельного использования, т. е. отношение площади промываемых и используемых под посевы земель к площади всего участка или массива. Сопоставление значений параметра  $-\beta$ , характеризующего скорость снижения солевых запасов промываемых и орошаемых земель отдельных участков, хозяйств и зон коллекторов на Северной Мугани, в Салатлинском и Сабирabadском районах Азербайджанской ССР с величиной, характеризующей возможную скорость отвода промывных и грунтовых вод, полученную путем умножения средних значений коэффициента фильтрации почвогрунтов ( $K_f$ ) толщи 1–5 м на удельную протяженность дренажной сети ( $D_y$  в  $м/га$ ) показывает наличие между ними прямой зависимости, что видно из приводимой ниже таблицы.

№ пп.	Участок, хозяйство, зона коллектора	Пло- щадь, га	$K_f$	$D_y$	$K_f \cdot D_y$	$-\beta$ с учетом КЗИ
1.	Колхозы им. Касумова и Сабира	2912	9,2	10,0	92,0	-0,092
2.	Колхоз "Украина"	2751	9,6	12,1	117,2	-0,131
3.	Колхоз им. Физули	1865	10,44	9,1	9,5	-0,095
4.	Колхоз "Улдуз"	3707	7,9	13,5	106,6	-0,117
5.	Колхоз им. Ханлара (северная часть)	1831	9,0	7,5	67,5	-0,073
6.	Колхоз им. Ахундова	980	9,75	22,1	215,5	-0,226
7.	Колхоз им. Азизбекова	1447	8,14	12,4	100,9	-0,104
8.	Колхоз им. Жданова	2210	1,5	16,7	25,0	-0,024
9.	Южная часть к-за им. Жданова	1663	11,5	13,7	157,5	-0,155
10.	Участок совхоза им. Ленина (I)	1590	7,4	16,6	122,8	-0,127
11.	Участок совхоза им. Ленина (II)	1686	7,4	16,6	122,8	-0,119
12.	Колхоз "Октябрь"	2724	3,0	15,7	47,1	-0,046
13.	Зона I Прикуринского коллектора Сумма	15658	2,4	18,6	44,6	-0,043
		41054			1314,4	-1,302
					101,1	-0,1001
	Среднеарифметическое					

Выразить эту зависимость можно следующим образом —  $\beta = \frac{K_\Phi \cdot D_y}{1000}$  (6) или  $\beta = \frac{-10 \cdot K_\Phi}{B}$  (7), где  $B$  — ширина междуреных расстояний в метрах ( $B = \frac{10000}{D_y}$ ). Зависимости 6 и 7 отражают сложившуюся на Северной Мугани практику опреснения почв небольшими промывными нормами на фоне дренажной сети, находящейся в большинстве случаев в неудовлетворительном состоянии.

Объем промывных норм, коэффициент фильтрации почвогрунтов и обеспеченность территории дренажной сетью, являются основными факторами, определяющими величину параметра  $\beta$ , в то же время определяют модуль дренажного стока ( $q$ ), часто используемый как показатель интенсивности проводимых мелиоративных мероприятий; общность определяющих факторов предполагает наличие зависимости параметра  $\beta$  от  $q$ , что подтверждается данными, приведенными на графике. Представленные на графике точки характеризуют средние величины  $q$  и  $\beta$  зон I Прикуринского, Юго-Восточного, Ленинского и Правобережного коллекторов в период 1954—1966 гг. (общая площадь 36000 га) и Джарханского опытного участка в период 1931—1935 гг. (площадь 600 га). Из графика видно, что с увеличением  $q$  пропорционально возрастает  $\beta$ .

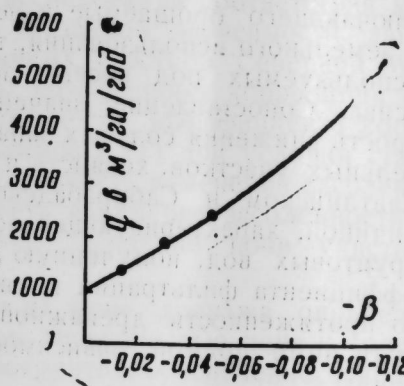
На Джарханском опытом участке, где закрытый глубокий (3—3,5 м) дренаж находится в хорошем состоянии, значения модуля дренажного стока параметра  $\beta$  были в 2—3 раза выше, чем на других приведенных на графике участках, на которых дренажная сеть в большинстве случаев находилась в неудовлетворительном состоянии. Увеличение модуля дренажного стока путем расчистки дрен, доведения их до проектных глубин (3—3,5 м), прекращение поступлений в дrenы оросительных вод и регулярная откачка дренажных вод соответственно способствовало бы увеличению интенсивности опреснения почв.

Из графика следует, что в данных условиях процесс рассоления почв имеет место при модуле дренажного стока порядка 1000 м/га<sup>3</sup> в год и более; при значении  $q$  менее указанной величины параметр  $\beta$  будет иметь положительное значение, т. е. продолжится рост солевых запасов почв.

Приведенные в данной работе зависимости выявляют количественную связь интенсивности опреснения почв на фоне дренажа с основными определяющими ее факторами; они позволяют определить объем активных промывных норм (как разовых, так и суммарных) и время, потребное для опреснения почв до допустимых пределов, показывают их взаимосвязь.

#### ЛИТЕРАТУРА

1. Варуниян Э. С., Дударов Н., Шошин А. А. Некоторые итоги работ Муганской опытной станции. Азербайжан, Баку, 1957. 2. Волобуев В. Р. О промывных нормах при мелиорации засоленных земель. "Гидротехника и мелиорация", № 12, 1959. 3. Волобуев В. Р. О общей закономерности в процессах изменения солевых запасов в почвах орошающихся и мелиорируемых земель. "Почвоведение", № 5, 1964.



4. Волобуев В. Р. Количество-качественные критерии оценки солевого режима орошаемых и мелиорируемых земель. Изд-во АН Азерб. ССР, Баку, 1967. 5. Муратов А. С. Вынос солей дренажным стоком Мугано-Сальянского массива Азербайджанской ССР. Диссертация, Ин-т почвоведения и агрономии. АН Азерб. ССР Баку, 1964.

Поступило 13.VII.1970

Азипроводхоз

И. Д. Черниченко

Дренаж фонунда шоран торпагларын дүзсузлашмасынын интенсивлигинин габагчадан мүәјҗәләшдирилмәси мәсәләсинә даир

#### ХУЛАСЭ

Мәгәләдә шоран торпагларын дүзсузлаштырылмасы интенсивлигинин В. Р. Волобуевин формулуңдан  $S_t = S_{\infty} \cdot e^{\frac{-\beta t}{1000}}$ -нин  $\beta$ -параметриндән асылыдыр.  $\beta$ -параметри сујун йума нормасы, сувермә габилијәтиндән, торпагларын су-фильтрасија әмсалындан, әразинин дренажла тә'мин олунмасындан вә торпагларын истифадә әмсалындан асылыдыр.

Истеңсалатда һәјата кечирилән актив йума нормаларынын несабатында айдынлашыры ки, көстәрилән нормалар һәмни торпагларын там дүзсузлаштырылмасы үчүн тәләб олунан нормада 6—24 дәфә аздыр.  $\beta$ -параметринин фильтрасија әмсалынын вә дренаж шәбәкәснини узуулуғундан асылылығы  $\beta = -\frac{K_\Phi \cdot D_y}{1000}$  формулу илә һесабланыр.

$\beta$ -параметринин дренаж ахыны модулундан асылылығы мүәјҗәнедилмишdir. Һәмни асылылыг көстәрир ки, ил әрзиңдә дренаж ахынынын мигдары һәр 1000 м<sup>3</sup>-дән аз олдуга торпагларын дүзсузлашма процесси кетми.

I. D. Chernichenko

For question about possibility of prognosis of intensity desalting of saline soils against a background of drainage

#### SUMMARY

Author established dependence of desalting intensity of drain soils from rate of washing, ability soils for salt output filtration properties of grounds, drain of soils and rate of the drainage water flow.

ВЕТЕРИНАРИЯ

Патологоморфологические изменения в бруцеллезных буйволах из штамма 4004-BRUCELLA ABORTUS

Д. М. ДАШДАМИРОВ

ПАТОЛОГОМОРФОЛОГИЧЕСКИЕ ИЗМЕНЕНИЯ  
ЭКСПЕРИМЕНТАЛЬНО ЗАРАЖЕННЫХ БУЙВОЛОВ  
БРУЦЕЛЛАМИ ИЗ ШТАММА

4004-BRUCELLA ABORTUS

(Представлено академиком АН Азербайджанской ССР М. К. Гашевым)

Наши исследования проводились на четырех буйволятых, зараженных бруцеллезным штаммом. Животные бруцеллезной вакциной не были вакцинированы. Цель исследования заключалась в том, чтобы изучить патологоморфологические изменения в паренхиматозных органах, лимфатических узлах буйволов, головном, спинном и костном мозгах после их заражения бруцеллезной культурой.

Заражение животных производилось подкожно двухсухоточной бульонной культурой бруцеля из штамма 4004 (*Br. abortus*). Буйволу № 12 вводили 5 млрд. микробных тел и 1 мл; буйволице № 13—3 млрд.; буйволенку № 14—1 млрд.; буйволенок № 15 был контрольным.

Убой подопытных животных производили через 90 (№ 12); 120 (№ 13) и 150 дней (№ 14) после введения в организм бруцеллезной культуры. (Влияние срока убоя после заражения было проинведен в прошедших опытах).

Трупы и органы каждого экспериментально зараженного животного подвергались тщательному патологопатомическому исследованию. Как показали наши исследования, при вскрытии трупов существенных макроскопических изменений в органах и тканях подопытных буйволов не наблюдалось.

Для гистологического исследования нами были взяты кусочки из поджелудочных, паховых, подчелюстных, vagлочных, околоушных, шейных, предлопаточных, подколенных, надключичных, средостенных и др. лимфатических узлов, селезенки, печени, сердца, легких и куски из головного, спинного и костного мозгов, которые фиксировали в 10%-ном растворе нейтрального формалина.

Срезы приготовили из блоков, залитых в целлоидин. При гистологической обработке материала, взятого от экспериментально зараженных бруцеллезной культурой буйволов, мы пользовались консультацией и помощью сотрудников отдела патвнатомии Азербайджанского научно-исследовательского ветеринарного института (зав. отделом — доктор ветеринарных наук Д. И. Алиев).

Ниже приводятся патоморфологические данные буйволов с подопытным номером 12, что касается остальных двух зараженных и одного контрольного животного, то об этих животных мы в отдельности говорить не будем, ибо те изменения, которые нами констатированы у № 12, так же, в менее выраженной форме были зарегистрированы и у других зараженных буйволов (№№ 13 и 14).

Результаты гистологических исследований

Гистологические исследования подопытного буйволенка № 12 (заражен 18. XII 1966 г., забит 20. III 1967 г.) начали с исследования лимфатических узлов. Нами было выявлено, что капсула, покрывающая поверхность лимфоцитуллов, отечна, утолщена и местами наблюдается разрывление коллагеновых волокон. Фолликулы несколько увеличены. Реактивные центры последних расширились. Структурные изменения обусловлены реакцией ретикуло-эндотелиальной системы. Синусы расширены, заполнены гемогеной массой, состоящей из примеси лимфоидных клеток, десквамированных клеток эндотелия и лейкоцитов. Кроме того отмечается периваскулярный отек, периваскулярный и диффузный инфильтрат из лимфоидных и плазматических клеток. Просветы кровеносных сосудов в капсule, трабекуле и паренхиме лимфатических узлов расширены. Стенки отдельных сосудов разрыхлены, отечны и гомогенизированы. Указанные изменения наиболее интенсивно выражены в предлопаточных, шейных, средостенных, бронхиальных и мезентериальных лимфатических узлах. Наблюдаются активизация ретикулогистио-



Рис. 1. Лимфатический узел буйвола № 12. Расширение реактивного центра и гиперплазия лимфоцитуллов (краска гематоксилином, увеличение 10×20).

цитов с круглым или же овальным ядром. Трабекулярная соединительная ткань также отечна, утолщена, инфильтрирована клеточными элементами. Лимфоцитуллы гипертрофированы, границы фолликулярной зоны сливаются с окружающей тканью. Местные краевые синусы почти неразличимы (рис. 1).

Отечность наблюдается преимущественно в мозговом слое. Синусы мозгового слоя растянуты, в них отмечается пролиферация эндотелия. Стенки их значительно утолщены. Наблюдаются гиперплазия лимфоцитуллов с гипертрофированными ядрами.

Экспериментальном бруцеллезе буйволов можно отметить, что процесс развивается по типу гиперпластического и продуктивного лимфоденита. В селезенке изменения наблюдаются как в белой, так и в красной пульпе, а также в интерстициальной ткани. В красной пульпе обнаружено скопление плазматических клеток лейкоцитов и единичных эритроцитов.



Рис. 2. Селезенка буйвола № 12. Отек и набухание капсулы. Разрыхление коллагеновых волокон.

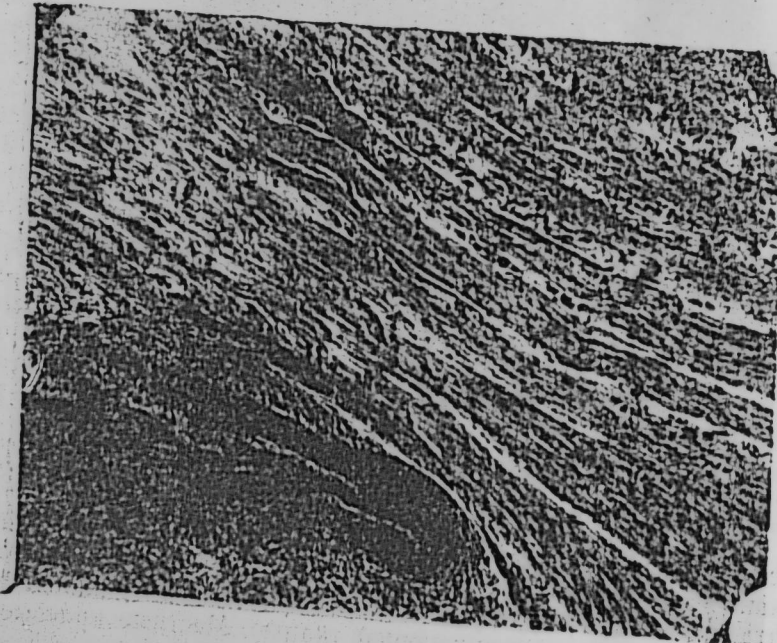


Рис. 3. Сердце буйволенка № 13. Утолщение соединительно-тканых волокон, нарушение поперечно-полосатой исчерченности. Лимфоидная реакция в периваскулярном пространстве.

Отмечается лейкоцитоз пульпы. В синусах наблюдаются слущенные клетки эндотелия, полиморфоядерные лейкоциты и лимфоциты. Просветы капилляров расширены, содержат плазму и единичные эритроциты крови. Периваскулярная ткань отечна (рис. 2).

В печени балочная структура сохранена. Наблюдается диффузно-очаговое скопление лимфоидных клеток вокруг центральных печеночных вен и интерстиции. Купферовские клетки несколько набухшие. Междолевые артерии, вены и желчные протоки местами окружены отечной жидкостью. Ядра клеток интенсивно окрашены гематоксилином и четко видны. Некротических участков не обнаружено, местами просветы центральных вен заполнены отечностью с примесью лейкоцитов, лимфоцитов и единичных эритроцитов.

В сердце отмечено набухание мышечных волокон, местами они утолщены неравномерно, в силу чего их поперечная исчерченность почти слажена (рис. 3). Между отдельными мышечными волокнами наблюдаются слабовыраженные диффузные клеточные инфильтраты. Коронарные сосуды незначительно расширены, их эндотелий несколько увеличен.

В семениках наблюдается пролиферация железистого эпителия. Местами в самом семенике и его придатке отмечается очаговая воспалительная реакция за счет полиморфно-клеточных элементов. Вокруг канальцев обнаруживаются незначительной степени пикноз, реканс и лизис ядер эпителия, а в их полости — десквамация.

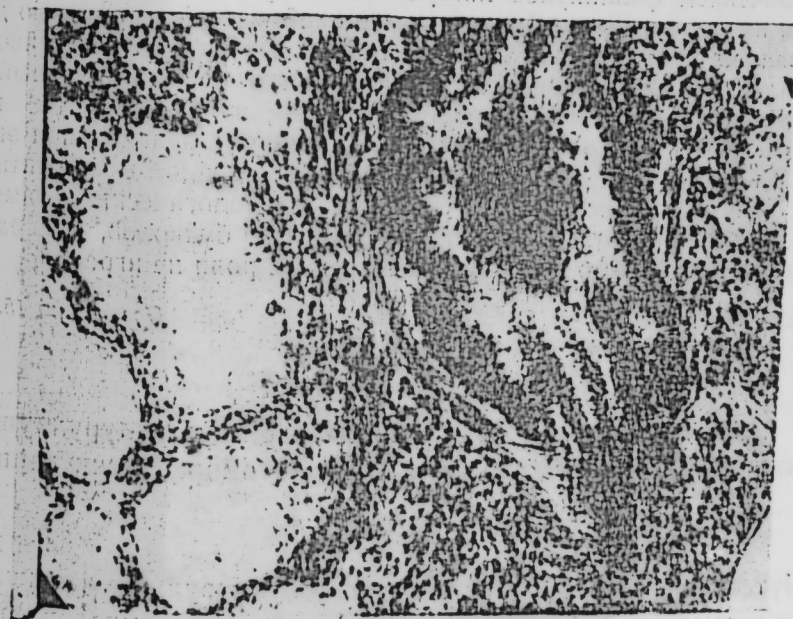


Рис. 4. Легкие буйволенка № 14. Катаральная бронхопневмония.

В почках отмечен очаговый интерстициальный нефрит. Основные структурные изменения наблюдаются в клубочковых интерстициях, извитых канальцах. Отмечается набухание эпителия извитых канальцев, клеток выстилающих баумановскую капсулу и эндотелий капилляров. В прямых канальцах изменения менее выражены, чем в извитых канальцах. В межточной ткани, особенно вблизи клубочков, встречается скопление лимфоидных клеток.

В легких альвеолы и бронхи подвергнуты структурным изменениям. Стенки их значительно утолщены. Наблюдается гиперплазия лимфоид-

ных клеток, преимущественно вокруг бронхов. Морфологические изменения наблюдаются в слизистой оболочке бронхов. Они утолщены, набухшие, отечные и находятся в состоянии продуктивного воспаления. В просветах, как крупных, так и мелких, обнаруживается скопление слизи, лейкоцитов и десквамированных клеток бронхиального эпителия. Наблюдается явление катаральной бронхопневмонии (рис. 4).

В головном мозгу обнаружены диффузные периваскулярные скопления лимфоидных клеток.

Аналогичные изменения, как мы вкратце отмечали выше, были обнаружены и у других зараженных животных (№ 13 и 14), убитых спустя 120 и 150 дней после заражения. Однако эти изменения отмечались в менее выраженной степени, чем у буйволенка № 12. Вышеуказанные морфологические изменения у №№ 13 и 14шли на убыль. Следует отметить, что при патологоанатомическом вскрытии и патоморфологических изменениях, которые, начиная со 120-го дня с момента № 15 патологических изменений не наблюдалось.

Таким образом, путем экспериментального заражения буйволов бруцеллами обнаружены в основном следующие характерные патоморфологические изменения:

1. У буйволов, зараженных бруцеллами коровьего вида, через 3—4 и 5 месяцев после заражения в органах и тканях отмечаются патоморфологические изменения, которые, начиная со 120-го дня с момента заражения, обнаруживаются в менее выраженной форме.

2. В общем патоморфологические изменения характеризуются: — увеличением фолликулов лимфатических узлов и селезенки; расширением их синусов и заполнением гомогенной массой с примесью десквамированных клеток эндотелия, лимфоидных клеток и лейкоцитов; гиперплазией ретикулоэндотелия. Отмечается периваскулярный отек, периваскулярный и диффузный инфильтрат из лимфоидных клеток.

3. Отечная жидкость и лимфоидно-клеточная реакция при экспериментальном бруцеллезе буйволов преимущественно в лимфатических узлах сопутствуют основному процессу морфологических изменений.

4. Доза бруцелл, вводимых в организм буйволов, в развитии патоморфологического процесса существенной роли не играет.

Институт ветеринарии

Поступило 15. VI 1970

Ч. М. Дащдамиров

4004 штаммындан олан брусселлаларла јолухдурулмуш чамышларын организминде баш верән патоморфологи дәјишикләр

#### ХУЛАСӘ

Жүксәк вирулентлы брусселлалар илә јолухдурулмуш чамышлар үзәриндә апарылмыш патоморфологи мүәжинәләр вахты мүәјҗән едилишләр ки, јолухдурулмуш һеванларын паренхиматоз органларыда, лимфа вәзииләриндә, һәтта баш вә онурға беџиләриндә 90, 120 вә 150-чи күнләрдә брусселјоза хас олан бә'зи патоморфологи дәјишикләр баш верир. Умумијәтлә, лимфа вәзиләри вә далағын фоликуллаларының бөјүмәсина, синусларының ганлы күтлә илә долу олмасына, ретикулентотелија системиниң һиперплазијасына, лимфа һүчејрәләриндән избәрәт периваскулјар вә диффуз инфильтратлы шишләрни олмасына тәсадүф едилишләр.

Патоморфологи дәјишиклијин сәввијәси һеван организминең өтүрүлән брусселлаларын мигдарындан асылы дејилдир.

D. M. Dashdamirov

Pathomorphological changes of bulls infected experimentally with brucells (Br. abortus) from punch 4004

#### SUMMARY

By experimental infection of bulls with brucells of cow species after 3; 4; and 5 months after infection pathomorphological changes characterize: with enlarging of follicles of lymphatic knots and spleen; with enlarging their sinuses and hyperplasia rediculo—endothelium. It marked perivascular oedema, perivascular and diffusional infiltration from lymphatic cellule.

АРХЕОЛОГИЯ

А. Б. НУРИЕВ, И. М. ГУЛИЈЕВ

**ШАМАХЫ РАЙОНУНДА ТАПЫЛМЫШ ІАХЫН ШЭРГ  
ТИПЛИ ШУШЭ ПИЈАЛЭ**

(Азэрбајҹан ССР ЕА академики Э. Э. Элизадә тэгдим етмишдир)

Мұасир Шамахы шәһәринин 25 км қалыпташында Шәркән адлы гәдим гәбиристанлыгы, бир гәдәр шималда исә она мәхсус јашајыш јеринин харабалары мөвчуддур (1-чи шәкил). Іәр ики абидә әлверишли тәбии-чографи мөвге тутмушдур. Ләнкәбиз сыра дағларынын өзүнбүләк тәкеләриндә јерләшән бу абидә шәргдән кичик Әпчи чајы, өзүнбүләк Ширван дүзүнүн мұлајим иглимли, кениш отлаг саһәси олан Сирә, гәрбдән Кильласхана дејилән јер, шималдан исә Бөյүк Гафгазын адның чәкдијимиз сыра дағлары илә һәмсәрһәддир. Буранын мұлајим иглими вә мүнбит торнағ саһәләри, зәниккүн зоочографијасы, јајлаг-гышлаға ениб чыхмаг үчүн әлверишли дағ кечидләри вардыр ки, бу да гәдимдән инсанларын бу эразидә чәмләнимәсінә, онларын тәсәррүфат вә сәнәт саһәләриниң инициафына мұсбәт тә'сир көстәрмишdir. «Хәлфә јолу», «Газханлы јолу», «Гәфлә јолу», «Дәвә јолу», «Гызылча јолу», «Ел јолу», «Дәрә јолу», «Ортабулаг», «Фахра», «Ләјләјли» кими гәдим ѡолларын бу эразидә кәсишмәсі, онуң сакинләриниң гоншу өлкә вә шәһәрләрле олан иғтисади әлагәләр тарихинин өјрәнилмәсіндә мүejjән әhәmijjәtә маликдир (2-чи шәкил). Апарылан мұшаһидә вә топланылан мә'lumatдан айдын олмушдур ки, бунларын бә'зиләри иәниккүн адның чәкдијимиз абида сакинләриниң, үмумијјәтлә Гафгаз Албанијасына гоншу вә гоншу олмајан өлкәләрле иғтисади вә мәдәни әлагәләриниң инициафында бөյүк ролу олмушдур. «Хәлфә јолу» дејилән гәдим ѡол Іаҳын Шәргдән башла-мыш Мәркәзи Иран, Муган, Хәзәрсәнили Ширван вә Дәрбәндә гәдәр уза-ныр. Іаҳын Шәргдән кәлиб Хазәрсәнили вә орадан да Шимали Албанија тәрәф узаиан бу гәдим ѡол һагтында тарихи мәнбәләрдә дә мә'lumat вардыр.<sup>1</sup> Дикәр гәдим ѡол исә шәрг-гәрб истиғаметинде паралел давам едәи «Диб јолу» вә «Дәвә јолу» дејилән ѡоллардыр. Шәркән јашајыш јериндей кечән бу ѡоллар Исмаїллы районын антик, илк орта вә орта әсер јашајыш јерләриндән кечәрәк Албанијасын пајтахты Гәбәләjә дахијл олур вә орадан өлкәнин мұхтәлиф при шәһәрләри истиғаметинде шахәләнир<sup>2</sup>. Тичарәт ѡоллары шәбәкәсінин кениш јајылмасы көстәрир ки, јерли албан тајфаларынын өлкә дахијинде вә харичдә олан шәһәрләрле иштесив кедиш-кәлиши олмушдур.

1964-чу илни мај айында Күр—Араз тиқинти идарәси бу эразидә суварма әhәmijjәtли бөйүк бир дәрјачаныни шашасына башламышды. Этраф эразинин суварылмасы үчүн иәзәрдә тутулан бу тәдбиrlәрини заманы гејд олунан гәбиристанлығын бир ииссәси дағылмыш-дир<sup>3</sup>.



1-чи шәкил. Шәркән гәбиристанлығының јерләшдији эрази.

Шәркән гәбиристанлығы эразисинде апарылан ѡоллама заманы антик вә илк орта әсрләрә иң јерли мадди-мәдәнијјәт нұмуналәрилә жапашы, харичи өлкәләрдән кәтирилмеш мәңүрләр, шүшә таблар, Аршакид һөкмдары Готарсын (41—51) вә Сасани һөкмдарлары I Хосров (531—578) вә II Хосровун (590—628) адындан кәсилимиш пуллар да тапылмушдыры<sup>4</sup>. Бу тапытылар јашајыш јеринин гәдим сакинләриниң харичи әлагәләри һагтында јухарыда дедикләримизи бир даһа тәсдиг едир.



2-чи шәкил. Шамахы районунун гәдим ѡолларының схематик хәритәсі.

Іәммин материалтар ичәрисинде дағылмыши күп гәбиrlәриниң би-рийдән ашкар едилмени вә Іаҳын Шәрг өлкәләри истенесалы үчүн сәчиј-рийдән ашкар едилмени вә Іаҳын Шәрг өлкәләри истенесалы үчүн сәчиј-

<sup>1</sup> Страбон. География, ки. XI, М., 1964, сол. 480.

<sup>2</sup> Ф. Л. Османов. Исмаїллы вә Көңяj рајонларының 1963-чу ил археологиялық кешифијат сафәриниң несабаты. Азэрбајҹан ССР ЕА Тарих Институтуның елми архиви, №5447, сол. 14—15.

<sup>3</sup> Абидә һагтында илк мә'lumatы Азэрбајҹан ССР ЕА Тарих Институтуның аспиранты М. Алычанов вермишdir.

<sup>4</sup> Пуллары мәркүм А. В. Рәhimov тә'јип етмишdir.



## The near east cup from the district shamakha

## SUMMARY

During research of a burial ground Scergakh which is 20 km from the district centre Shamakha, in a pitchev funeral was found a fine green coloured glass cup. The body of it is coloured with olive green leaflike specks. The edge of this cup is cut with the diamond. The cup has a foundation which is pressed in.

Silver Sasanian coins were also found in this pitchev funeral where this cup was found besides the other remaining materials culture which is characteristic for the early Middle Age. On the base of a revealed complex materials and their analogy to Georgia, the Black Sea land and the Near East the cup from Shergakh may be concerned to the V-VI c. Here we can also add the opinions of some glass specialists and to consider it, to be product of the Near East. The finding the described cup and other eas' materials gives right to consider the economic relations with the Near East and Caucasian Albany in the early Middle Age.

усталары да гөбүл етмишләр. Эввэлчэ һөмии кимјэви гатышыг иисбәтىн яхында олан Мисирә, Коринфә, Италияда вә соңра исә шималшәрг вә гәрб истигамәтийдә яјылмышдыры<sup>15</sup>.

Пијалә Гафғаз Албанијасы әразисинә ики јол васитәсилә дахил ола биләрди. Онлардан бири Яхын Шәрг—мәркәзи Иран вә Хәзәр саһили васитәсилә шимала кедән гуру ѡол, дикәри исә гәрблә шәрги бирләшdirән вә Гара дәнизи Антүк дөвр саһил шәһәрләрindән кечәрәк Күр чајы васитәсилә Албанија әразисинә ирәлиләжи гәдим су ѡолу иди<sup>16</sup>. Апарылан тәдигигат заманы һагтында данышдығымыз габларын там охшарларынын Сурия, Коринф, Пантикеј, Фанагорија, Күрчуганын Самтавро, Бичвинти, Себалда<sup>17</sup> кими абидаләрindә вә иәһајәт, Шәркаһ кими Күр чајына яхын абидаләрдән ашкар едилемәси бир даһа көстәрир ки, Сурия илә олан тичарәт әлагәрләрindә эсас ролу һәлә дә антик мүәлліфләрни мә'луматында тәсадүф етдијимиз, шәрг илә гәрб арасында тичарәтдә көриү васитәси ролуну ојнамыш, Гара дәнизи—Күр—Хәзәр дәнизи вә даһа соңра Узат Шәргә кедән гәдим ѡолу ојнамышдыры. Шәркаһ гәбиристанлығындан тапылмыш пијалә дә, чох күмәки, Арапыг вә Гара дәнизи саһил шәһәрләри, Күр чајы васитәсилә Минкәчевирә, орадан исә јенә дә актив фәалијјәтдә олмуш гуру ѡолла Шәркаһын гәдим сакинләринә кәлиб чатышдыры. Албанија чәнубдан дахил олан гуру ѡолун кечдији әразидән бу нөв шүшә пијаләрни һәләлик тапылмадығыны вә иккинчи ѡол үзәриндә бу чүр материалларын чохлукуну иәзәрә алараг көстәрилән илкин иәтичәјә кәлмишик. Ола биләр ки, кәләчәк археологи тәдигигатлар чәниб ѡолу вә шүшә иұмын-иесинин мәишији һагтында даһа дәјәрли фикир сөјләмәјә имкан верзечкәдир.

Тарих институту

Алынмышдыры 6. VIII 1969

А. Б. Нуриев, Н. М. Кулиев

Ближневосточная пиала из Шемахинского района

## РЕЗЮМЕ

Во время исследования могильника Шергах, находящегося в 25 км от районного центра—Шемахи, в кувшинном погребении была найдена изящная стеклянная пиала зеленого цвета. Тулово ее украшено оливково-зеленоватыми листовидными пятнышками. Край (венчик) сосуда обрезан алмазом. Пиала имеет основание, вдавленное внутрь.

В кувшинном погребении, где найдена пиала, наряду с другими остатками материальной культуры, характерными для раннего средневековья, были найдены также серебряные сасанидские монеты. На основании выявленных комплексных материалов и их аналогий из Грузии, Причерноморья и Ближнего Востока сосуд из Шергах можно отнести к V—VI вв. Здесь можно присоединиться также к мнениям специалистов по стеклу и считать его продукцией Ближнего Востока.

Найдка описанной пиалы и других восточных изделий дает основание предполагать экономические связи Ближнего Востока и Кавказской Албании в раннем средневековье.

<sup>15</sup> И. П. Сорокина. Көстәрилән асәри, сәh. 136; Бах: Ыамчинин Ch Simonett Tessiner Craber teld. Basel (табло 17, 9, шәкил 17).

<sup>16</sup> З. И. Ямпольский. К изучению древнего пути из Каспийского моря по реке Куре через Грузию к Черному морю. Тр. Ин-та ист. АН Груз. ССР, т. II. Тбилиси, 1956 сәh. 161—182; Р. М. Валидов. Минкәчевир III—VIII әсрләрдә, Бакы, 1961, сәh. 88.

<sup>17</sup> Материаллар Күрчүстан ССР ЕА Тарих институтуну археолокија фондууда саҳланылым. Оиларын һагтында әтрафлы мә'лumat верэн мүтәхессис Н. Н. Угрелидзе миннэтдарыг.

## Стратиграфија

Т. А. Һәсәнов. Азәрбајчанда (К. Гафгәз) Йура чөкүнүләришни зоналары  
бөвлүмәси . . . . .

## Минералокија

С. В. Грум—Гржимајло, Т. С. Мәммәдов, Т. М. Варина. Даши-  
кәсән дәммир филизи мәдәни гранатларының ранкынә даир . . . . .

## Битки физиолокијасы

З. С. Элизбажова, Д. Э. Ресулова. Хлорид дүзлүлүгү шәрәтиндә  
азот, күбәсениң иевүндән асылы олараг памбыг биткинә јарнагларында үзви тур-  
шуларының мигдарының дәйнишмәси . . . . .

## Агрокимја

Р. Г. Һүсәјнов, Һ. А. Мәммәдов. Нәмликтән асылы олараг минерал  
күбәрәләри памбыг биткинә алтында еффектли . . . . .

## Торпагшұнаслыг мелиорасијасы

И. Д. Черничеко. Дренаж фонунда шоран торпагларын дүзсузлашма-  
сынан интенсивліккүн габагчадан мүэйжеләшдирилмәси мәсәләсінә даир . . . . .

## Бајтарлыг

Ч. М. Дашибамирова. 4004 штаммындан олар брусселларлар жолукдурулмуш  
чамышларының организмийнә баши верән патоморфологи дәйшиникләр . . . . .

## Археолокија

А. Б. Нуриев, И. М. Гулиев. Шамахы рајонунда тапылмаш јахын  
шәрг типли шүңәп пијалә . . . . .

## МҮНДӘРИЧАТ

### Ријазијат

И. А. Кусакин. Дифференциалланмасы тәләб олуимајан функционаллы тәнликтәр  
үчүн мажорант приисини вә үмумиләшимиши Ијуп-Канторович теореми . . . . .

А. Д. Искәндәров. Бир синиғ ўқыләпмиш гејри-хәтти интеграл тәнликләр  
нагында . . . . .

### Функциялар нәзәријәси

Г. Т. Эһмәдов, С. С. Һахијев. Оптимал процессләр нәзәријәсиинин бә'зи  
мәсәләләри үчүн зәрури шарт . . . . .

### Јахынлашма нәзәријәси

Г. А. Гусейнов. Іелфонд үмумиләшмиш операторлар васитәсилә аппрокси-  
мација сырасына даир . . . . .

### Физика

И. Б. Абдуллаев, Л. М. Иманов, М. А. Ресулова. Селендә дин-  
лектрик релаксацијасының тәдгигинә даир . . . . .

### Полимерләр кимјасы

Р. Н. Мәммәдов, Г. Ч. Элиев. Полипропиленниң физики-механик хас-  
сасынан вә пермолекуляр гурулушунун дәйшишләмәсина гурулуш әмәлә кәтиришенинн  
тә'сиринин тәдгиги . . . . .

### Физики кимја

И. С. Сәттәрзада, З. І. Әфәдијева, А. Ч. Сәттәрзадә, К. Э.  
Искандарова. Жилој адасы нефтләриниң оптимал активлүү . . . . .

С. Ч. Мендијев, О. Б. Элиев, О. А. Нәrimaiбәjов. Ацетонун  
стил спирти илә бухар фәзасында редуксија едиilmәсииниң термодинамик һесаба-  
ты . . . . .

### Гејри-үзви кимја

И. Б. Шайтахтиевски, Э. И. Гулиев, М. М. Эсадов, Э. И. Талыбы-  
ли, Р. Э. Валиев. Боксид катализаторунун псевдагајиар тәбәгәсисинде, 5—  
30%-ли сульфат анидридинин тәбиин газлар редуксија етмәкәлә элементар күкүрдүү  
алымасы . . . . .

### Даг-мәдән иши

Р. Н. Садыгов, М. Г. Лејкин, А. Г. Һүсәјизадә. Даши-  
кәсән машиналарын вериш сүр'ети илә тәбиин-ишиштәт дашиның мөһіммәттүү арасындақы эла-  
гәјә даир . . . . .

### Кеолокија

Ф. Н. Дадашов, А. М. Дадашов, Р. Э. Һүсәјнов. Азәрбајчаның  
минерал суларының тәбиин газларында һөлдүм . . . . .

### Нефт јатагларының тектоникасы

С. І. Салајев, І. Г. Элифов, А. И. Сәлимханов. Тәләби—Гызыл-  
бурун антиклинал зонасының Палеокең—Миосен вә Плиосен комплексләри гары-  
шынан структурларының мүнасибәттинә даир . . . . .

## Тектоника нефтяных месторождений

- С. Г. Салаев, Г. К. Алифов, А. И. Селимханов. О соотношении складчатых структур палеоген-миоценового и иллювиального комплексов Талаби-Кызылбу-рунекой антиклинальной зоны . . . . . 55

## Стратиграфия

- Т. А. Гасанов. Зональное расчленение среднеюрских отложений Азербайджана (М. Кавказ) . . . . . 60

## Минералогия

- С. В. Грум-Гржимайло, Т. С. Мамедов, Т. М. Варниа. О природе окраски гранатов Дашикесанского железорудного месторождения . . . . . 61

## Физиология растений

- З. С. Азизбекова, Д. А. Расулова. Влияние азотных удобрений на содержание органических кислот в листьях хлончатника при хлоридном засолении . . . . . 71

## Агрохимия

- Р. К. Гусейнов, Г. А. Мамедов. Эффективность минеральных удобрений под хлончатник в зависимости от влажности почв . . . . . 74

## Мелиоративное почвоведение

- И. Д. Черниченко. К вопросу о возможности прогнозирования интенсивности опреснения засоленных почв на фоне дренажа . . . . . 79

## Ветеринария

- Д. М. Дашибадиров. Патологоморфологические изменения экспериментально зарожденных буйволов бруцеллами из штамма 404—*Brucella abortus* . . . . . 84

## Археология

- А. Б. Нуриев, И. М. Кулев. Ближневосточная пиала из Шемахинского района . . . . . 90

## СОДЕРЖАНИЕ

### Математика

- И. А. Кусакин. Принцип мажорант и обобщенный метод Ньютона — Канторовича с недифференцируемыми функционалами . . . . . 3  
А. Д. Искендеров. Об одном классе нелинейных нагруженных интегральных уравнений . . . . . 7

### Теория функций

- Член-корр. К. Т. Ахмедов, С. С. Ахисев. Необходимое условие оптимальности для некоторых задач теории оптимального управления . . . . . 12

### Теория приближения

- Г. А. Гусейнов. О порядке аппроксимации обобщенными операторами Гельфона . . . . . 17

### Физика

- Член-корр. АН СССР Г. Б. Абдуллаев, Д. М. Иманов, М. А. Расулова. К исследованию электрической релаксации в селене . . . . . 20

### Полимерная химия

- Р. И. Мамедов, Г. Д. Алиев. Исследование влияния структурообразования на изменение надмолекулярной структуры и физико-механических свойств полипропилена . . . . . 25

### Физическая химия

- И. С. Саттарзаде, З. Г. Эфендиева, А. Д. Саттарзаде, К. А. Искендерова. Оптическая активность нефти о. Жилой . . . . . 29

- Академик С. Д. Мехтиев, О. Б. Алиев, О. А. Нариманбеков. Термодинамический расчет парафизного восстановления ацетона этиловым спиртом . . . . . 33

### Неорганическая химия

- Академик Г. Б. Шахтахтинский, А. И. Гулиев, М. М. Асадов, А. И. Талыбыш, Р. А. Велиев. Получение элементарной серы на 5—30%-ном сернистого ангидрида путем восстановления природным газом в псевдоожижении слое катализатора — боксита . . . . . 39

### Горное дело

- Р. К. Садыхов, М. Г. Лейкин, А. К. Гусейнзаде. К вопросу связи прочности природно-строительного камня с величиной подачи камнерезных машин . . . . . 46

### Геология

- Ф. Г. Дадашев, А. М. Дадашев, Р. А. Гусейнов. Гелий в природных газах минеральных источников Азербайджана . . . . . 50

## ПРАВИЛА ДЛЯ АВТОРОВ

1. В «Докладах Академии наук Азербайджанской ССР» помещаются краткие сообщения, содержащие законченные, еще не опубликованные результаты научных исследований, имеющих теоретическое или практическое значение.

В «Докладах» не публикуются крупные статьи, механически разделенные на ряд отдельных сообщений, статьи полемического характера без новых фактических данных, статьи с описанием промежуточных опытов без определенных выводов и обобщений, работы непринципиальные, описательного или обзорного характера, чисто методические статьи, если предлагаемый метод не является принципиально новым, а также статьи по систематике растений и животных (за исключением описания особо интересных для науки находок).

Статьи, помещаемые в «Докладах», не лишают автора права последующей публикации того же сообщения в развернутом виде в других изданиях.

2. Поступающие в «Доклады» статьи рассматриваются Редакционной коллегией только после представления их академиком по специальности. Каждый академик может представить не более 5-ти статей в год.

Статьи членов-корреспондентов Академии наук Азербайджанской ССР принимаются без представления.

Редакция просит академиков при представлении статьи указывать дату получения ее от автора, а также наименование раздела, в котором статья должна быть помещена.

3. В «Докладах» публикуется не более трех статей одного автора в год.

4. В «Докладах» помещаются статьи, занимающие не более четверти авторского листа — около 6—7 страниц машинописи (10 000 печатных знаков), включая рисунки.

5. Все статьи должны иметь рецензию на английском языке; кроме того, к статьям, написанным на азербайджанском языке, должны иметь: рецензию на русском языке и на- оборот.

6. В конце статьи должны быть указаны название научного учреждения, в котором выполнена работа, и номер телефона автора.

7. Опубликование результатов работ, проведенных в научных учреждениях должно быть разрешено дирекцией научного учреждения.

8. Статьи (включая и рецензию), должны быть напечатаны на машинке через два интервала, на одной стороне листа и представляются в двух экземплярах. Формулы должны быть вписаны четко и ясно, при этом прописные буквы должны быть подчеркнуты (черным карандашом) двумя черточками снизу, а строчные — сверху, буквы греческого алфавита надо обводить красным карандашом.

9. Цитируемая в статье литература должна приводиться не в виде подстрочных сносок, а общим списком (вподбор), в алфавитном порядке (по фамилии автора), в конце статьи с обозначением ссылки в тексте порядковой цифрой. Список литературы должен быть оформлен следующим образом:

а) для книг: фамилия и инициалы автора, полное название книги, номер тома, город, издательство и год издания;

б) для статей в сборниках (трудах): фамилия и инициалы автора, название статьи, название сборника (трудов), том, выпуск, место издания, издательство, гол, страница;

в) для журнальных статей: фамилия и инициалы автора, название статьи, название журнала, год, том, номер, (выпуск), страница.

Ссылки на неопубликованные работы не допускаются (за исключением отчетов и диссертаций, хранящихся в научных учреждениях).

10. На обороте рисунков должны быть указаны фамилия автора, название статьи и номер рисунка. Отпечатанные на машинке подписи к рисункам представляются на отдельном листе.

11. Авторы статей должны указывать индекс статьи по Унифицированной десятичной классификации (УДК) и прилагать реферат для «Реферативного журнала».

12. Авторы должны избегать повторения одинаковых данных в таблицах, графиках и в тексте статьи.

Ввиду небольшого объема статей выводы помещаются лишь в необходимых случаях.

13. В случае представления двух или более статей одновременно необходимо указывать желательный порядок их помещения.

14. Корректура статей авторам как правило не посыпается. В случае посылки коррекции допускается лишь исправление ошибок типографии.

15. Редакция выдает автору бесплатно 15 отдельных оттисков статьи.

Сдано в набор 28.VI-72. Подписано к печати 18/X 1972 г. Формат бумаги 70×108 1/10  
Бум. лист 3,13. Печ. лист 8,56. Уч.-изд. лист 7,1. ФГ 04415. Заказ 345.  
Тираж 800. Цена 40 коп.

Типография Издательства «Элм».  
Баку, проспект Нариманова, 31.